



Universidad
Zaragoza

Trabajo Fin de Grado

Análisis y explotación del framework Palabos para
la resolución de problemas de aerodinámica
utilizando el método Lattice-Boltzmann

Analysis and exploitation of the Palabos framework
for the solution of solid body aerodynamics using
the Lattice-Boltzmann method

Autor/es

Javier Justes Larrosa

Director/es

Norberto Fueyo Díaz

ESCUELA DE INGENIERÍA Y ARQUITECTURA
Año 2017

Análisis y explotación del framework Palabos para la resolución de problemas de aerodinámica utilizando el método Lattice-Boltzmann

Resumen

Para el presente proyecto, se ha desarrollado un software de fluidodinámica computacional (CFD) que permite realizar simulaciones de aerodinámica externa utilizando el método Lattice-Boltzmann.

Frente a otras soluciones, en las que se requiere un gran trabajo para obtener un mallado adecuado, pre-procesando la geometría de trabajo y posteriormente depurando la malla obtenida, con esta herramienta el proceso de discretización del dominio se realiza de manera automática, realizando unos ajustes mínimos en el fichero con la geometría de trabajo.

Resulta especialmente interesante su facilidad de uso, como ya se ha indicado, y que se trate de una herramienta gratuita y Open Source, permitiendo así que cualquier persona puede acceder a su código y modificarlo para adaptarlo a sus necesidades. Para no tener que desarrollar todo el código desde cero, se ha utilizado el framework Palabos en el núcleo del programa, parte encargada de realizar la simulación, a la que se le ha dotado de una interfaz gráfica y un sistema de avisos en Python.

Para comprobar el funcionamiento del túnel, se han realizado una serie de simulaciones, todas ellas con números de Reynolds bajos, ya que, como se explicará, haberlas realizado para números de Reynolds más elevados hubiera supuesto un coste computacional muy elevado, del cual no se disponía.



(Este documento debe acompañar al Trabajo Fin de Grado (TFG)/Trabajo Fin de Máster (TFM) cuando sea depositado para su evaluación).

TRABAJOS DE FIN DE GRADO / FIN DE MÁSTER

D./D^a. Javier Justes Larrosa

con nº de DNI 18055531W en aplicación de lo dispuesto en el art.

14 (Derechos de autor) del Acuerdo de 11 de septiembre de 2014, del Consejo

de Gobierno, por el que se aprueba el Reglamento de los TFG y TFM de la

Universidad de Zaragoza,

Declaro que el presente Trabajo de Fin de (Grado/Máster)

Grado _____, (Título del Trabajo)

Análisis y explotación del framework Palabos para la resolución de problemas
de aerodinámica utilizando el método Lattice-Boltzmann

es de mi autoría y es original, no habiéndose utilizado fuente sin ser citada
debidamente.

Zaragoza, 18 de abril de 2017

Fdo: _____

A mi familia por su constante apoyo.

Al personal de SHU DIGITAL por su valiosa ayuda.

Índice general

Índice de figuras	7
Índice de cuadros	9
1. Introducción	10
1.1. Objetivo y justificación	10
1.2. Tecnologías de software usadas en este proyecto	11
1.3. Estructura de la memoria	13
2. El Túnel de Viento Virtual	14
2.1. Túneles de viento y técnicas CFD en aerodinámica	14
2.2. El Método de Lattice-Boltzmann	15
2.3. Modelo de turbulencia	16
2.4. Palabos	17
2.5. El Túnel de Viento Virtual	19
2.5.1. Ciclo de uso del Túnel de Viento Virtual	20
2.5.2. Guía de uso	21
2.6. Parámetros de una simulación	25
2.6.1. Reglas para la selección de parámetros	25
2.6.2. Análisis del error	26
2.7. Formato STL	27

3. Simulaciones típicas	30
3.1. Análisis numérico de un problema canónico: Flujo alrededor de una esfera	31
3.1.1. Influencia de la velocidad del fluido	33
3.1.2. Influencia de la viscosidad	34
3.1.3. Influencia de los parámetros δ_x y δ_t	38
3.2. Estudio de perfiles alares	41
3.2.1. NACA 0021	43
3.2.2. NACA 6713	45
3.3. Estudio aerodinámico de una motocicleta	50
3.4. Estudio aerodinámico de edificio	55
3.5. Tiempos de cálculo	59
4. Conclusiones y líneas de trabajo futuro	60
4.1. Conclusiones	60
4.2. Líneas de trabajo futuro	60
Bibliografía	62
A. Introducción al método de Lattice-Boltzmann	64
A.1. El Modelo de Lattice-Boltzmann	64
A.2. El Operador de Bhatnagar–Gross–Krook	66
A.3. Modelos más complejos	68
A.4. Elección de unidades en simulaciones Lattice-Boltzmann	70
A.4.1. Sistema físico a adimensional	70
A.4.2. Sistema adimensional a discreto	72
A.5. Modelo de turbulencia	72
B. Código	75
B.1. Interfaz gráfica	75
B.2. Túnel de Viento Virtual	85

B.3. Sistema de avisos	117
B.4. Programa de análisis de datos	120

Índice de figuras

2.1. Túnel de Viento: Interfaz Gráfica.	21
2.2. Resolución STL (Touretzky 2017).	27
2.3. Non Manifold Edge y Non Manifold Vertices (<i>Non-Manifold edge and vertices</i> 2017).	28
2.4. Ejemplo de remallado más fino.	29
3.1. Análisis numérico: Cd frente a Re (Dosselaer 2014).	32
3.2. Análisis numérico: Error frente a velocidad.	35
3.3. Análisis numérico: Error frente a viscosidad.	37
3.4. Análisis numérico: Error frente a δ_x	39
3.5. Análisis numérico: Error frente a δ_t	40
3.6. NACA 0021: Coeficiente de Arrastre frente a ángulo de ataque	44
3.7. NACA 0021: Coeficiente de Sustentación frente a ángulo de ataque.	46
3.8. NACA 0021: Flujo en el extremo del perfil.	47
3.9. NACA 6713: Coeficiente de Arrastre frente a ángulo de ataque.	48
3.10. NACA 6713: Coeficiente de Sustentación frente a ángulo de ataque.	49
3.11. Estudio aerodinámico de motocicleta: Modelo STL de Motocicleta.	50
3.12. Estudio aerodinámico de una motocicleta: $Re = 1$	52
3.13. Estudio aerodinámico de motocicleta: $Re = 10$	53
3.14. Estudio aerodinámico de motocicleta: $Re = 100$	54
3.15. Estudio aerodinámico de edificio: Modelo STL de edificio.	56

3.16. Estudio aerodinámico de edificio: Campo de velocidades.	57
3.17. Estudio aerodinámico de edificio: Líneas de corriente orientación A.	58
3.18. Estudio aerodinámico de edificio: Líneas de corriente orientación B.	59
A.1. Malla tipo D2Q9 con microvelocidades.	65
A.2. Sistema Físico - Sistema Adimensional - Sistema Discreto.	70

Índice de cuadros

3.1. Análisis numérico: Inputs en la interfaz gráfica.	33
3.2. Análisis numérico: Influencia de la velocidad en la precisión.	34
3.3. Análisis numérico: Error frente a viscosidad.	36
3.4. NACA: Dimensiones Túnel.	41
3.5. NACA: Inputs en la interfaz gráfica.	42
3.6. NACA 0021: Dimensiones Perfiles.	43
3.7. NACA 6713: Dimensiones Perfiles.	45
3.8. Estudio aerodinámico de motocicleta: Coeficiente de arrastre y de sustentación frente a número de Reynolds.	55

CAPÍTULO 1

Introducción

La aerodinámica es el campo de la Mecánica de Fluidos que estudia el movimiento de los fluidos cuando estos circulan alrededor un cuerpo, y las acciones que producen sobre éste, como las fuerzas y los momentos.

Para el estudio de la aerodinámica externa de cuerpos, una de las herramientas más potentes de las que se dispone son los túneles de viento, con los cuales se pueden simular situaciones en las que se encontrarán los objetos de estudio en situaciones reales de uso. Por desgracia, el precio de estos túneles de viento hace que no estén fácilmente disponibles; además, para su uso hace falta una formación adecuada.

1.1 Objetivo y justificación

El objetivo de este proyecto es obtener un software que permita simular un túnel de viento de manera virtual. Dicho “túnel de viento virtual”, tendrá que ser capaz de calcular las fuerzas que el flujo ejerce sobre el cuerpo, y exportar los datos necesarios para poder realizar una visualización del flujo obtenido.

Todo se desarrollará bajo licencia de tipo Open Source, para que esté libre de licencias comerciales y pueda ser mejorado o adaptado a las necesidades que cualquiera necesite.

Para la simulación, se utilizará el método de Lattice-Boltzmann, por las ventajas que ofrece, por ejemplo en términos de representación de la geometría, frente a otras alternativas numéricas como elementos o volúmenes finitos.

Por último, se pretenden crear unas herramientas auxiliares de análisis de los datos que las simulaciones proporcionan.

Como base para este proyecto se va a utilizar Palabos¹. Palabos es un framework que proporciona una librería muy completa para la resolución de problemas Computational Fluid Dynamics (CFD) mediante el método Lattice-Boltzmann.

Para representar los sólidos en el túnel de viento virtual se va a utilizar el formato STL. STL es un formato abierto, y por lo tanto es fácil encontrar herramientas que interactúen con él; la mayoría del software CAD permite exportar en este formato, o se pueden encontrar las extensiones necesarias para que hacerlo.

El proyecto pretende, por tanto, crear un prototipo de herramienta tipo “túnel de viento virtual” que permita explorar de forma sencilla la aerodinámica externa de cuerpos sólidos. Dicha herramienta puede utilizarse, debidamente extendida:

- Para la investigación de flujos en entornos académicos;
- Para su explotación comercial (por ejemplo, como una herramienta en la nube);
- Para la realización de prácticas docentes.

Sin embargo, es importante aclarar desde el principio que la mayor parte de las simulaciones presentadas son para números de Reynolds mucho más bajos de los encontrados en problemas prácticos de Ingeniería Aerodinámica. Esto no es una limitación del software desarrollado, sino de las posibilidades de cálculo disponibles para el desarrollo del Trabajo Fin de Grado. Para simular flujos a mayor número de Reynolds solo haría falta más potencia de cálculo (por ejemplo, más “cores” utilizando las tecnologías de paralelización que se introducen más adelante.).

1.2 Tecnologías de software usadas en este proyecto

Este proyecto combina e integra el uso de diferentes tecnologías de vanguardia en el campo de la Ingeniería Computacional:

- **Palabos.** Es un Framework Open Source de Computational Fluid Dynamics (CFD) basado en el método Lattice-Boltzmann. Proporciona una librería de clases con las que desarrollar un programa en C++ que desarrolle la simulación que se desea realizar. Es utilizado en este Trabajo como motor que realiza las simulaciones.

¹(Palabos n.d.).

- **Git**. Software de control de versiones. Se ha utilizado para gestionar los avances en el código de los programas creados. Dicho código ha sido almacenado remotamente en los repositorios de Bitbucket. Esta memoria también se ha gestionado en Git y Bitbucket.
- **Python**. Lenguaje de programación interpretado y multiparadigma. De su excelente conjunto de librerías cobran especial relevancia aquellas de uso científico, utilizadas en el presente trabajo para el análisis de datos.
- **ParaView**. Software de visualización científica Open Source. Desarrollado mediante la librería VTK, que proporciona un motor de visualización y procesado de campos escalares, vectoriales y tensoriales. Soporta la arquitectura cliente-servidor y su ejecución en entorno de cluster, con el fin de poder visualizar grandes conjuntos de datos de manera remota. Es usado para visualizar las líneas de corriente y *slices* del campo de velocidades y presiones.
- **Cluster de ordenadores en Linux**. Debido al alto coste computacional que conlleva realizar una simulación fluidodinámica, se ha utilizado un cluster de ordenadores que permite ejecutar de manera paralela una simulación, con la correspondiente reducción de tiempo.
- **MPI** o Interfaz de Paso de Mensajes. Es un estándar utilizado por programas de cálculo científico, que se ejecutan paralelamente, para intercambiar información entre procesos y sincronizar su ejecución.
- **STL**. Formato de diseño asistido por ordenador. Representa la geometría de un cuerpo tridimensional mediante un conjunto de caras triangulares que se ajustan a su superficie. Es un formato abierto y, actualmente, está soportado por la mayoría de herramientas CAD del mercado.
- **Qt**. Framework multiplataforma para el desarrollo de interfaces gráficas. En este proyecto es utilizada a través del binding PyQt del lenguaje Python para generar una interfaz gráfica al software desarrollado.
- **Telegram Messenger**. Es un servicio de mensajería gratuito a través de Internet. Originalmente estaba orientado a dispositivos móviles, pero actualmente dispone de una librería para Python que permite el uso de los denominados *bots*, cuentas controladas a través de un programa informático. Gracias a esta utilidad, en este proyecto es usado para mandar un aviso directamente al teléfono del usuario que ejecute la simulación cuando ésta finaliza.

1.3 Estructura de la memoria

La presente memoria está estructurada en cuatro capítulos. El primero de los capítulos es la presente introducción.

El segundo capítulo empieza con una introducción teórica al método de Lattice-Boltzmann, y al framework de programación Palabos. Posteriormente se explica la herramienta desarrollada y una guía de uso para ésta.

En el tercero se presentan las simulaciones que se han realizado para probar dicha herramienta. En primer lugar se ha estudiado la precisión que proporciona el método Lattice-Boltzmann, para ello se ha comparado el error obtenido en una serie de simulaciones con los parámetros usados en cada una de ellas. Posteriormente, se han realizado distintas pruebas aerodinámicas a diferentes geometrías, dos perfiles alares, una motocicleta y un edificio.

Para finalizar, un último capítulo donde se plasman las conclusiones y líneas de trabajo futuro.

CAPÍTULO 2

El Túnel de Viento Virtual

En este capítulo se introducen brevemente los túneles de viento y las técnicas de Computational Fluid Dynamics (CFD). A continuación se describe en más detalle el trabajo realizado en este proyecto: el túnel de viento virtual.

2.1 Túneles de viento y técnicas CFD en aerodinámica

Los túneles de viento son herramientas muy útiles en aerodinámica, que permiten estudiar el movimiento del aire alrededor de un cuerpo sólido en condiciones reales de operación.

Con el desarrollo de herramientas computacionales modernas, como el método de los volúmenes finitos, y junto con el avance de la informática en los últimos años, la Fluidodinámica Computacional (CFD) se ha convertido en un potente complemento, y a veces alternativa, al túnel de viento experimental.

Entre las ventajas de la simulación está que proporciona un conjunto muy detallado de resultados, difícil de obtener experimentalmente, y que es muy económica, particularmente cuando es necesario ensayar muchos cambios geométricos para optimizar un diseño.

En un estudio aerodinámico, es esencial obtener una indicación visual de cómo se mueve el flujo alrededor del cuerpo de estudio, para comprobar la localización de las zonas de remanso, las zonas turbulentas o el desprendimiento del flujo y las estelas que genera. En los túneles reales se utilizan técnicas experimentales como la inyección de trazadores (por ejemplo, humo). En las técnicas CFD, se utilizan las líneas de corriente generadas a través del software de visualización de datos.

Para la medición de las fuerzas, en un túnel real se requiere de sistemas de medida, tales como anemómetros, acoplados a la maqueta del sólido. En las técnicas CFD las fuerzas se calculan

integrando numéricamente el tensor de esfuerzos sobre la superficie del cuerpo.

2.2 El Método de Lattice-Boltzmann

El método de Lattice-Boltzmann es un método de resolución numérica de las ecuaciones de Navier-Stokes utilizado en Dinámica de Fluidos Computacional.

El método de Lattice-Boltzmann método se inspira en las ecuaciones utilizadas por la física estadística para la modelización de gases, las cuales suponen que dicho gas está formado por un conjunto de partículas que se mueven libremente, colisionando elásticamente entre ellas.

En el método de Lattice-Boltzmann se discretiza el espacio fluido en una serie de nodos, a los cuales se les asocia un número de “partículas virtuales” que conforman el fluido, y que se transfieren entre nodos vecinos en el dominio de acuerdo con la ecuación:

$$f_a(\vec{x} + \vec{e}_a \delta_t, t + \delta_t) = f_a(\vec{x}, t) + \frac{1}{\tau} (f_a^{eq} - f_a) \quad (2.1)$$

donde:

- f_a es el número “partículas virtuales” que se mueven hacia el nodo vecino a con velocidad \vec{e}_a .
- \vec{x} nodo en el cual se está calculando dicho flujo.
- \vec{e}_a el vector de velocidad discreta del nodo actual con el nodo contiguo en la dirección a .
- δ_t incremento discreto de tiempo en cada paso temporal.
- τ es un parámetro de relajación, cuyo valor determinará la viscosidad del fluido.
- f_a^{eq} distribución de partículas en el equilibrio.

Dicha ecuación es una adaptación para un dominio discreto de la ecuación de Boltzmann, en la cual se ha simplificado el término de colisión. Dicho término recoge el efecto de las colisiones entre las partículas que representan el fluido. Las variables macroscópicas, tales como la velocidad del fluido o la densidad, se pueden calcular como funciones de la distribución de partículas.

Para facilitar el análisis, es frecuente adimensionalizar las ecuaciones diferenciales (macroscópicas) que rigen el problema, llegando a un nuevo sistema donde el problema quede definido por las ecuaciones adimensionales de continuidad y cantidad de movimiento, respectivamente:

$$\nabla_d \cdot \vec{u}_d = 0 \quad (2.2)$$

$$\frac{\partial \vec{u}_d}{\partial t_d} + (\vec{u}_d \cdot \nabla_d) \vec{u}_d = -\nabla_d p_d + \frac{1}{Re} \nabla_d^2 \vec{u}_d \quad (2.3)$$

La ventaja de adimensionalizar las ecuaciones es que todos los problemas geoméricamente semejantes tienen la misma solución, siempre que el número de Reynolds Re (que representa la relación entre fuerzas de inercia y viscosas en el fluido) sea el mismo, y las correspondientes condiciones de contorno sean también semejantes.

Se pueden utilizar diferentes modelos de fluido, tales como gas ideal o Van der Waals entre otros, que dan lugar a diferentes formulaciones. La formulación usada en este proyecto utiliza el modelo de gas ideal.

El Apéndice A contiene más información relativa al método de Lattice-Boltzmann.

2.3 Modelo de turbulencia

Es bien conocido que, en flujo turbulento, una simulación no puede discretizar todas las escalas espaciales y temporales del flujo. Por esta razón, en las simulaciones de flujo turbulento utilizan modelos de turbulencia.

En el Túnel de Viento Virtual de este proyecto, se ha utilizado un modelo tipo de *Large Eddy Simulation* (LES), que estima e introduce una ‘viscosidad turbulenta’ (*eddy viscosity*, en inglés), para aproximar el efecto de la energía disipada por las turbulencia de pequeña escala, no resuelta en el modelo.

La viscosidad turbulenta ν_t está relacionada con el tensor de esfuerzos de las escalas resueltas τ_{ij}^r mediante la ecuación:

$$\tau_{ij}^r - \frac{1}{3} \tau_{ij} \delta_{ij} = -2\nu_t \bar{S}_{ij} \quad (2.4)$$

Para la estimación de dicha viscosidad se ha utilizado el modelo de Smagorinsky–Lilly, en el que se calcula como:

$$v_t = (\Delta_g C_s)^2 |S| \quad (2.5)$$

donde C_s es una constante que depende de cada problema pero que, usualmente, toma un valor entre 0.1 y 0.2. Para las simulaciones que se hacen en el presente proyecto se ha tomado un valor de 0.14.

2.4 Palabos

Para evitar tener que programar toda la funcionalidad del programa desde cero, se utilizó Palabos.

Palabos es un framework para la realización de simulaciones CFD mediante el método Lattice-Boltzmann. Éste proporciona una serie de librerías en C++ que implementan un conjunto de plantillas de clases, tipos de datos y funciones. Además, proporciona un conjunto de ejemplos para tomarlos como base a la hora de desarrollar un programa o, simplemente, para aprender de ellos.

Todo el código se encuentra bajo la licencia AGPLv3, por lo que los programas desarrollados a partir de Palabos presentan condicionantes en el tipo de licencia que pueden utilizar. En particular, es necesario liberar el código de los programas que utilicen Palabos y estén usándose para prestar un servicio.

Como los cálculos por el método Lattice-Boltzmann son altamente paralelizables, las funciones del framework se han construido sobre la Interfaz de Paso de Mensajes (MPI) y el multiprocesamiento simétrico (SMP). De esta manera, es posible ejecutarlo en una maquina multi-núcleo, o un cluster de ordenadores, para distribuir la carga de trabajo entre los distintos núcleos de cálculo.

La potencia de Palabos se basa en sus plantillas. Programadas para almacenar arrays de 2 o 3 dimensiones, según sea una simulación 2D o 3D, necesarios para modelar las nubes de puntos. Existen diferentes clases en función del tipo de dato que se desee almacenar: escalares, vectoriales, tensoriales u otros propios del método.

Con el objetivo de mejorar la estabilidad y convergencia del método, se desaconseja trabajar con bloques que contengan, directamente, la densidad y la velocidad del fluido; en su lugar se recomienda trabajar con objetos que almacenen las magnitudes:

$$\bar{\rho} = \rho - 1 \quad (2.6)$$

$$\vec{j} = \rho \cdot \vec{u} \quad (2.7)$$

La densidad oscila en torno a la unidad (el método numérico es para flujo compresible) y en caso contrario conviene realizar un proceso de adimensionalización para conseguirlo. Con la resta de la ecuación 2.6 se obtiene una densidad para el cálculo cuyo valor está alrededor de cero.

Este cambio permite almacenar el valor de la densidad con una mayor precisión, ya que el sistema interno de almacenamiento de números decimales utilizado por los ordenadores permite almacenar una mayor cantidad de decimales en el rango (0,1) que en cualquier otro.

Existen variaciones del método Lattice-Boltzmann para una gran cantidad de formulaciones, conocidas como “dinámicas”. Palabos incorpora algunas de ellas, tales como la dinámica *Single-relaxation-time BGK*, otras más elaboradas que permiten simulaciones para mayores números de Reynolds como *Regularized BGK* o *Multiple Relaxation Time*, dinámicas que permiten la existencia de varias fases como el modelo *Shan/Chen*, modelos para fluidos no newtonianos, e incluso dinámicas que incorporan la temperatura como variable para la simulación de flujos térmicos.

Para establecer las condiciones iniciales lo más usual consiste en asignar, a todo el bloque, una densidad constante y velocidad nula. El valor de presión será calculado por Palabos a través de la ecuación de estado que corresponda a la dinámica utilizada.

Para definir una superficie que está inmersa en un fluido, hay que establecer qué nodos del bloque lattice pertenecen al cuerpo y cuáles al fluido. Una de las formas de especificar esto en Palabos es mediante un fichero STL. Suministrándole un cuerpo cerrado, en formato STL, Palabos identifica qué nodos quedan dentro del volumen de dicho cuerpo, y les asocia los parámetros necesarios para que actúen como un sólido.

Para definir las fronteras exteriores del fluido hay dos opciones. La más simple consiste en establecer, directamente, las condiciones en los límites del bloque lattice, o suministrar una frontera con una superficie definida mediante un fichero STL, de manera que solo los nodos que queden en el interior del volumen del STL se considerarán pertenecientes al fluido.

Palabos ofrece también la opción de crear las llamadas *Sponge Zones*. Esto consiste en asignar una dinámica especial a los nodos del fluido próximo a las condiciones de contorno. De este manera se amortiguan ciertas perturbaciones que tienden a producirse en estas zonas, como por ejemplo ondas de presión que viajan por el dominio debido a que el tratamiento numérico del flujo es compresible.

2.5 El Túnel de Viento Virtual

Para poner a punto el Túnel de Viento Virtual del presente Trabajo Fin de Grado, se partió de uno de los ejemplos que ofrece Palabos, que incorpora algunas funcionalidades que se buscaban, que permite importar un fichero STL y exportar los datos de la simulación en VTK.

Para dotarlo de más utilidad se modificaron las siguientes funciones:

- Fueron eliminadas partes del código que no eran necesarias, como la exportación de los resultados en formatos que no resultaran útiles.
- Se cambió la manera de definir los parámetros de la simulación. En el nuevo sistema se definen la discretización espacial δ_x y temporal δ_t , parámetros básicos para realizar el cambio al sistema discreto.

El tiempo durante el cual la velocidad de entrada se incrementa progresivamente, hasta alcanzar el valor final, ha pasado de expresarse en función a la iteración en la que se alcanzaba dicho valor a indicarse en momento en unidades de tiempo.

- Ajuste de los datos que se exportan de la simulación. Resultaba interesante exportar las tres componentes de la fuerzas a las que se ve sometido el sólido. Se decidió utilizar un fichero en formato CSV, donde se van volcando cada una de estas componentes conforme transcurre el tiempo de la simulación.
- Posibilidad de cambiar la densidad. Dada la vital importancia de que la densidad, durante la simulación, permanezca cercana a la unidad, en el código original se establecía dicho valor y no existía posibilidad de cambiarla. Se modificó el túnel para que realizara, de manera automática, un proceso de adimensionalización de la densidad y, posteriormente, reajustaba los valores obtenidos, de manera que fuera transparente al usuario.
- Nuevas dinámicas. Los modelos que inicialmente incorporaba el código presentaban problemas de estabilidad para números de Reynolds altos. Tras estudiar los modelos que proporcionaba Palabos se incorporaron los modelos *Regularized BGK*, *Multiple Relaxation Time* y *Entropic model*. Los tres proporcionan mejores resultados para números de Reynolds altos.
- Creación de una interfaz gráfica. El uso de Palabos es complejo. Los parámetros de configuración se indican en un fichero XML, que hay que modificar manualmente, y su ejecución es mediante línea de comandos a través del programa mpirun. Para facilitar su uso se

ha programado una interfaz con la librería de Qt para Python, PyQt. Desde esta interfaz se pueden establecer todos los parámetros y, posteriormente, lanzar la simulación.

- Nuevas condiciones de contorno. Existe interés en realizar simulaciones donde influya la contribución del suelo al flujo y a la aerodinámica. Se añadió la posibilidad de fijar, en una de las caras del túnel, condiciones de contorno para una pared sólida.
- Incorporada funcionalidad para rotar el objeto entre simulaciones. Con el formato original del programa, no se disponía de ninguna funcionalidad que permitiese realizar giros al cuerpo, de manera autónoma, sin recurrir a un software externo. Gracias a los cambios realizados, no solo es posible orientar el cuerpo antes de empezar la simulación, también se ha desarrollado un mecanismo que permite realizar giros consecutivos, de manera automática, entre simulaciones.
- Sistema de avisos. Como una simulación puede durar un tiempo considerable, se ha incorporado un sistema de avisos que permite al programa enviar un mensaje cuando la simulación haya finalizado. Este mensaje puede enviarse de dos maneras: mediante un correo electrónico a la cuenta que se desee, o enviando un mensaje a la aplicación de mensajería instantánea Telegram.

2.5.1 Ciclo de uso del Túnel de Viento Virtual

El ciclo de uso del Túnel de Viento Virtual es como sigue:

- Se parte de un fichero STL que tenga el modelo del cuerpo sólido. Si el modelo se encontrase en otro formato CAD, es posible cambiarlo a formato STL con prácticamente cualquier software CAD disponible en el mercado. Si la malla tuviese errores, estos son fácilmente reparables siguiendo las instrucciones del apartado [2.7](#).
- Una vez se dispone del sólido, hay que escoger los parámetros de la simulación. En la sección [2.6.1](#) se indican detalles.
- Finalmente, se lanza la simulación en el túnel de viento virtual. La guía para el uso de este programa se puede consultar en la sección [2.5.2](#).

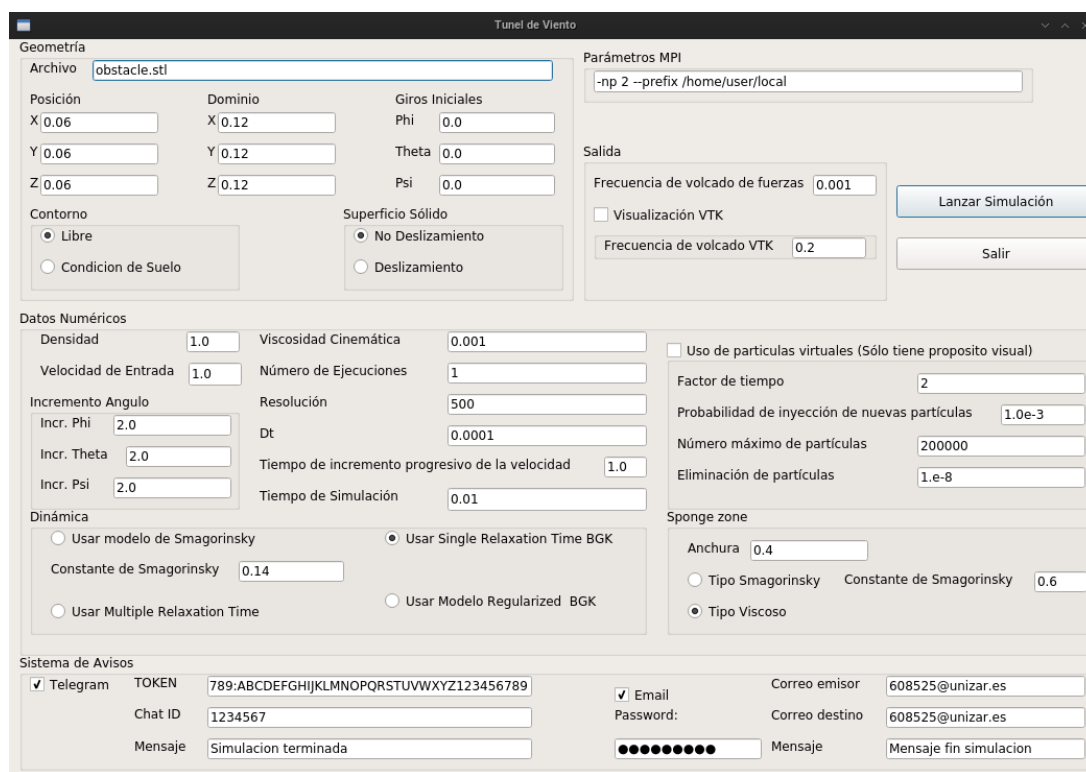


Figura 2.1: Túnel de Viento: Interfaz Gráfica.

2.5.2 Guía de uso

Para comenzar a utilizar el software hay que ejecutar la interfaz gráfica, la cual se muestra en la figura 2.1.

En ella podemos ver todas las opciones de configuración que permite el túnel.

En la opción de “Archivo” tenemos que indicar el nombre que tiene el archivo STL que contiene el sólido.

Las dimensiones del túnel se especifican en la opción de “Dominio”. La unidad de medida utilizada para referenciar la longitud del problema tiene que ser la misma en el fichero STL y la usada en los valores introducidos en la interfaz.

El fichero STL tiene un origen de coordenadas respecto al cual se definen los distintos vértices, como se podrá ver en el apartado 2.7. Para posicionar el cuerpo en el túnel se especifica el lugar que va a ocupar dicho origen de coordenadas en el túnel en la opción “Posición”.

El túnel permite establecer giros iniciales al sólido:

- “Phi”: Rotación en el eje X.

- “Theta”: Rotación en el eje Y.
- “Psi”: Rotación en el eje Z.

Hay dos posibles condiciones de contorno para las paredes laterales:

- “Libre” donde la componente normal de la velocidad en la frontera es nula, ecuación 2.8, en las cuatro paredes laterales del túnel.
- “Condiciones de Suelo” tres paredes del túnel tienen componente normal de la velocidad nula, ecuación 2.8 de nuevo, y en la cuarta, correspondiente al plano $Y = 0$, la velocidad tiene un valor nulo en todas sus componentes, que es la condición de no deslizamiento, ecuación 2.9.

$$\vec{u}_n = 0 \quad (2.8)$$

$$\vec{u} = \vec{0} \quad (2.9)$$

Condiciones similares son las que se pueden aplicar a la superficie del cuerpo:

- “Deslizamiento” la componente normal de la velocidad con el sólido es nula, ecuación 2.8.
- “No Deslizamiento” la velocidad en el contorno del sólido es nula, ecuación 2.9.

Los valores de densidad y viscosidad cinemática se especifican en los campos con sus respectivos nombres.

La velocidad del fluido no perturbado se especifica en el campo “Velocidad de Entrada”.

Para los casos en los que se desea realizar varias simulaciones en las cuales se modifiquen los ángulos del sólido, hay que indicar el incremento del ángulo en cada simulación en cada una de las opciones de “Incremento Ángulo”. El eje que corresponde a cada giro ya ha sido explicado anteriormente. El número total de simulaciones que se van a realizar se indica en la opción “Número de Ejecuciones”.

En la versión actual del túnel, el mallado del dominio se realiza con una resolución constante, como es el caso en la mayor parte de los métodos de Lattice Boltzmann. El tamaño de la

discretización espacial δ_x se indica en la opción “Resolución” el número de particiones que se van a realizar a lo largo del eje Y. De esta manera se obtiene la unidad básica de distancia en el sistema Lattice-Boltzmann:

$$\delta_x = \frac{l_y}{r} \quad (2.10)$$

donde

- l_y es la altura del túnel en el eje Y.
- r es la resolución, número de nodos a lo largo del eje Y.

La discretización temporal, δ_t , se indica en la opción “Dt”.

Durante la simulación, la velocidad en la entrada se incrementa progresivamente siguiendo la ecuación:

$$V(t) = \begin{cases} U \sin\left(\frac{\pi t}{2T}\right) & \text{si } t \leq T \\ U & \text{si } t > T \end{cases} \quad (2.11)$$

donde

- $V(t)$ es la velocidad de entrada del fluido en el instante t .
- U es el valor indicado en la opción “Velocidad de Entrada”.
- T es el valor indicado en la opción “Tiempo de incremento progresivo de la velocidad”.

Una vez alcanzado el valor de U se mantiene dicha velocidad hasta finalizar la simulación. La duración de la simulación se indica en “Tiempo de Simulación”.

Para la simulación del flujo, el método de Lattice-Boltzmann implementado dispone de cuatro dinámicas distintas.

- Para simulaciones con un número de Reynolds bajo se recomienda utilizar el modelo *Single Relaxation Time BGK*.
- Para flujos turbulentos, se utiliza el modelo de turbulencia de *Smagorinsky*. El valor de la constante de Smagorinsky se indica en el campo “Constante de Smagorinsky”.

- Los modelos *Regularized BGK* y *Entropic* son modificaciones de *Single Relaxation Time BGK*, que dan mejores resultados para números de Reynolds altos.

Si se desea incorporar una *Sponge Zone* en la parte final del túnel, se debe indicar su espesor en unidades físicas en el campo “Anchura”. Si no se desea utilizar, es suficiente con dejar este campo a cero. En caso de que se use, hay que especificar la dinámica utilizada en ella, “Tipo Viscoso” para que se emplee una dinámica *Single Relaxation Time BGK* o “Tipo Smagorinsky” para que sea utilizada una tipo *Smagorinsky*. En este último caso, hay que indicar el valor de la constante de Smagorinsky en el campo “Constante de Smagorinsky”.

Como resultado de la simulación, el túnel virtual exporta por un lado las fuerzas que experimenta el sólido, en un archivo con formato CSV, y, por otro lado, el estado del fluido en el túnel en formato VTK, donde se almacena la velocidad y la presión en cada nodo.

Si se desea exportar la solución, se debe marcar la opción “Visualización VTK”, e indicar la frecuencia de volcado en “Frecuencia de volcado VTK”. Si se desea crear líneas de corriente, se debe utilizar el sistema de “Partículas Virtuales”. El “Factor de tiempo” indica el factor de iteración de las partículas virtuales frente al fluido. Un valor recomendable para este factor es de dos, de manera que por cada dos iteraciones en la simulación del fluido se hace una iteración para calcular el flujo de las partículas virtuales.

Para mejorar la calidad del resultado, una técnica que se utiliza es la de inyectar nuevas partículas virtuales y la de eliminar las partículas más lentas. El factor indicado en “Probabilidad de inyección de nuevas partículas” será la probabilidad de crear una partícula virtual nueva en cada uno de los nodos de la malla en cada iteración del sistema de partículas virtuales. En la opción de “Eliminación de partículas” se indica la velocidad, tal que, toda partícula cuya velocidad al cuadrado sea inferior a este valor, será eliminada del sistema. La última opción “Número máximo de partículas” indica la cantidad de partículas virtuales máximas a escribir en el fichero VTK.

Dada la variedad de parámetros que permite MPI, se decidió dejar un campo de texto donde escribir que parámetros que el interfaz para a MPI en el comando de ejecución.

Una vez finaliza la simulación el programa llama al sistema de avisos. Si se desea recibir un aviso, por cualquiera de los dos medios disponibles, es necesario indicarlo activando la checkbox que corresponda.

Para poder recibir un mensaje en Telegram, se tiene que haber creado un bot en dicha aplicación. Una vez creado el bot, se indica el token necesario para utilizarlo en el campo “Token”, e indicar el chat_id asociado a la conversación a la que enviar el mensaje en el campo “Chat id”.

En caso de que no se disponga de Telegram, es posible avisar mediante un correo electrónico. Para ello solo hay que indicar una dirección de origen desde la que enviar el correo en el campo “Correo emisor”, la contraseña de dicho correo en “Password”, el mensaje a enviar en “Mensaje” y la dirección de correo al que enviar dicho mensaje en “Correo destino”.

Por motivos de seguridad, la contraseña para iniciar sesión no es almacenada en el disco. De igual modo, la conexión con el servidor se realiza encriptada bajo el protocolo TLS.

2.6 Parámetros de una simulación

A día de hoy, no existe un método establecido con el que determinar el valor a asignar a los diferentes parámetros en una simulación por Lattice-Boltzmann. Sí existen diversas reglas que se tienen que cumplir de manera obligada por la naturaleza del método, y ciertas recomendaciones para conseguir que el método tenga una mayor estabilidad.

2.6.1 Reglas para la selección de parámetros

La notación utilizada en este punto está explicada en Apéndice A.4.

Los valores de viscosidad cinemática y velocidad del fluido se establecen mediante las ecuaciones:

$$v_{lb} = v_d \frac{\delta_t}{\delta_x^2} \quad (2.12)$$

$$v_{lb} = \left(\tau - \frac{1}{2}\right) \frac{1}{3} \quad (2.13)$$

$$u_{lb} = u_d \frac{\delta_t}{\delta_x} \quad (2.14)$$

Como la viscosidad tiene que ser positiva, $v_{lb} > 0$, esto obliga a seleccionar $\tau > 0,5$. Se ha comprobado que cuanto más cerca se encuentre el parámetro τ de 0.5 mayores problemas de estabilidad presenta el método. Un valor orientativo es tomar $v_{lb} \sim 0,55$.

El método Lattice-Boltzmann es para flujo subsónico. Esto lleva a la condición:

$$u_{lb} < c_s \longrightarrow u_{lb} < \frac{1}{\sqrt{3}} \quad (2.15)$$

La influencia de la velocidad en el error restringe el valor que ésta puede tomar sin que el error se dispare. Un valor orientativo para la velocidad es $u_d \sim 0,25$

El parámetro δ_x es la distancia entre nodos en la discretización. El valor de δ_x tiene que ser seleccionado de manera que todos los detalles del cuerpo queden suficientemente resueltos.

Una relación recomendada para elegir δ_t es:

$$\delta_t \sim \delta_x^2 \quad (2.16)$$

2.6.2 Análisis del error

La precisión del método viene determinada por los parámetros τ , δ_x , δ_t y el número de Mach de la simulación.

La influencia de τ es compleja, dado que su valor incide en el número de Reynolds y por lo tanto puede cambiar la estructura del flujo. Para un valor del número de Reynolds, el valor del factor τ puede mejorar la precisión. Se ha comprobado que los mejores resultados se obtienen para valores $\tau \sim 0,9$ (Krüger et al. 2009).

El factor más influyente es el número de Mach de la simulación:

$$Ma = \frac{u_{lb}}{c_s} \quad (2.17)$$

Se ha comprobado que el error del método aumenta considerablemente conforme aumenta el número de Mach de la simulación.

La influencia de δ_x y δ_t en el error se puede dividir en las tres partes:

$$\epsilon \sim \epsilon(\delta_x) + \epsilon(\delta_t) + \epsilon(Ma) \quad (2.18)$$

donde:

- $\epsilon(\delta_x)$ error relativo al parámetro δ_x . Lattice-Boltzmann es un método de orden cuadrático, por lo que $\epsilon(\delta_x) \sim O(\delta_x^2)$.
- $\epsilon(\delta_t)$ error relativo al parámetro δ_t . De nuevo, al ser un método de orden cuadrático tenemos $\epsilon(\delta_t) \sim O(\delta_t^2)$.
- $\epsilon(Ma)$ error relativo a la compresibilidad. En este caso tiene un orden $\epsilon(Ma) \sim O(u_{lb}^2)$.

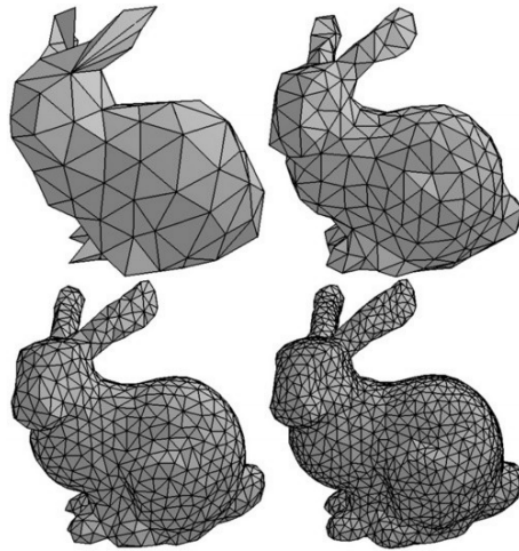


Figura 2.2: Resolución STL (Touretzky 2017).

Con estos órdenes, el orden del error total es:

$$\varepsilon \sim O(\delta_x^2) + O(\delta_r^2) + O(u_{lb}^2) \quad (2.19)$$

Una buena idea es mantener el error relativo a la compresibilidad (número de Mach) del mismo orden que el relativo al parámetro δ_x . Para conseguir esto, basta con cumplir la relación anteriormente citada [2.16](#).

2.7 Formato STL

STL es el formato para importar sólidos 3D al túnel virtual. STL es un formato abierto, usado en el diseño asistido por ordenador, que permite definir superficies mediante un conjunto de triángulos que se ajustan al contorno de la superficie.

Para ello se definen las caras triangulares según los vértices que las forman, especificando las coordenadas cartesianas de cada uno de estos vértices. Todo ello es almacenado en formato de texto plano.

Esta técnica obliga a que, si se quiere una mayor precisión en la descripción de la superficie, se tienen que utilizar triángulos de menor tamaño, como se ilustra en la figura [2.2](#).

Los sólidos representados de esta manera pueden presentar errores que impidan que se pueda

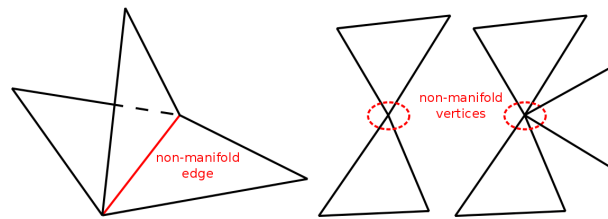


Figura 2.3: Non Manifold Edge y Non Manifold Vertices (*Non-Manifold edge and vertices* 2017).

trabajar con ellos. Algunos de los más comunes son:

- Huecos. Son errores en el proceso de transformación de una superficie a triángulo, dando lugar a huecos donde debería haber superficie mallada.
- Gaps. Errores en la unión entre los diferentes triángulos que forman la malla.
- Non Manifold Edges. Aristas que son comunes a más de un triángulo de la malla. Un ejemplo se puede ver en la figura 2.3.
- Non Manifold Vertices. Vértices que son comunes para más de una superficie al mismo tiempo. Un ejemplo se puede ver en la figura 2.3 .

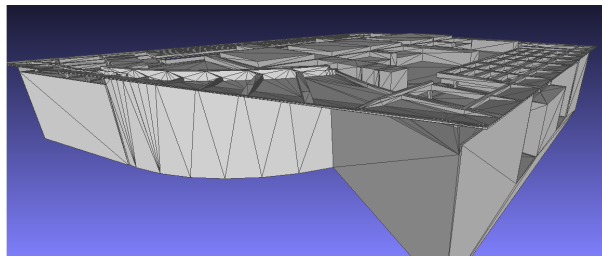
Si inicialmente se dispone del modelo que se desea simular en un formato nativo de un software CAD, conviene realizar la exportación atendiendo a los distintos mallados que el software permita y realizar el que genere una malla sin ningún defecto o con el menor número de defectos posibles.

Para el presente proyecto no se dispuso de ningún modelo previo en STL, y fue necesario generar dichos modelos y realizar un proceso de reparación de algunas de las mallas utilizadas.

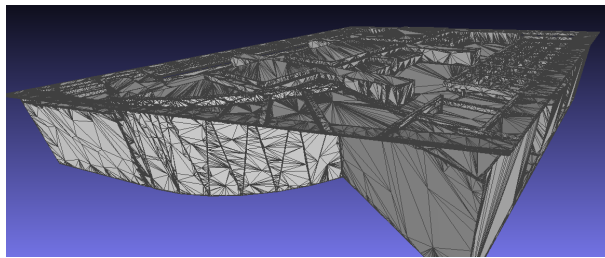
Para la reparación de las mallas dañadas se dispuso de diversas soluciones de software que realizan una reparación automática de los problemas. Las soluciones probadas fueron:

- **SpaceClaim** perteneciente al paquete de software ANSYS.
- **Netfabb** de la casa Autodesk.

A pesar de la potencia que presentan los algoritmos de reparación de las citadas soluciones, es posible que el mallado de los sólidos no permita una reparación automática. Esto suele presentarse en objetos con configuraciones complicadas o mallados con poca resolución. En estos



(a) STL con mallado inicial



(b) STL con nuevo mallado

Figura 2.4: Ejemplo de remallado más fino.

casos fue necesario realizar un remallado a otro que sí permitiese la reparación, como se puede ver en la figura 2.4.

Para la realización de nuevos mallados, se pueden utilizar las soluciones de software:

- **ZBrush** de Pixologic.
- **3DS MAX** de Autodesk.

CAPÍTULO 3

Simulaciones típicas

Para comprobar el buen funcionamiento del Túnel de Viento Virtual, se ha realizado un conjunto de simulaciones de la aerodinámica de diversos cuerpos. En todas ellas el número de Reynolds es bajo, entre uno y cien. Como queda dicho, simulaciones a más alto número de Reynolds no suponen ninguna dificultad conceptual u operativa adicional; simplemente, requieren mayor potencia de cálculo de la que está fácilmente disponible para un Trabajo Fin de Grado.

Inicialmente, se ha realizado un estudio de la variación de la precisión del método respecto a los parámetros de la simulación. Igualmente, se ha comprobado cómo mejora dicha precisión al utilizar las dinámicas *Regularized BGK* y *Multiple Relaxation Time* frente a la dinámica *Single Relaxation Time BGK*.

Posteriormente, se ha realizado el estudio de dos perfiles alares. En ellos se comprueba la variación del coeficiente de arrastre respecto al ángulo de ataque para dos números de Reynolds.

A continuación, se ha realizado el análisis aerodinámico de dos geometrías representativas de objetos completos: una motocicleta y un edificio. Se analizan las líneas de corriente y los campos de presión y velocidad alrededor de los cuerpos.

En ninguna de las magnitudes se indican unidades al presentar resultados, ya que puede utilizarse cualquier conjunto de unidades siempre y cuando sea consistente, por ejemplo el sistema internacional o el sistema cegesimal.

Por último, se presenta un breve estudio de tiempos de cálculo.

3.1 Análisis numérico de un problema canónico: Flujo alrededor de una esfera

Sobre este caso, geoméricamente sencillo, se ha estudiado la influencia de los parámetros de la simulación: velocidad del fluido, viscosidad, δ_t y δ_x en el error de la simulación. Igualmente, se quiere comprobar la mejora que suponen las dinámicas *Multiple Relaxation Time* y *Regularized BGK* frente a *Single Relaxation Time BGK* en la precisión del método. Para ello, todas las simulaciones han sido realizadas con las tres dinámicas y los errores han sido comparados.

Para el análisis, es necesario acudir a un caso ampliamente estudiado con el que contrastar los resultados de las simulaciones. Se ha elegido el caso de una esfera alrededor de la cual fluye un fluido. El fichero STL de dicha esfera estaba incluido en la instalación de Palabos.

Para medir la precisión, se ha utiliza como referencia el coeficiente de arrastre de la esfera, el cual se calcula como:

$$C_d = \frac{F_d}{\frac{1}{2}\rho u^2 A} \quad (3.1)$$

donde

- C_d es el coeficiente de arrastre.
- F_d es la fuerza medida en la dirección de flujo del fluido.
- ρ es la densidad del fluido.
- u es la velocidad del fluido.
- A es el área de referencia. Para el caso de la esfera de radio r es $A = \pi r^2$.

El error se expresa mediante la ecuación:

$$Error = \frac{C_d^a - C_d^s}{C_d^a} \quad (3.2)$$

donde C_d^d es el coeficiente de arrastre obtenido en la simulación, y C_d^a es el coeficiente de arrastre de referencia, extraído de la figura 3.1.

La figura 3.1 tiene en su eje de abscisas el número de Reynolds, Re , el cual puede calcularse con la ecuación:

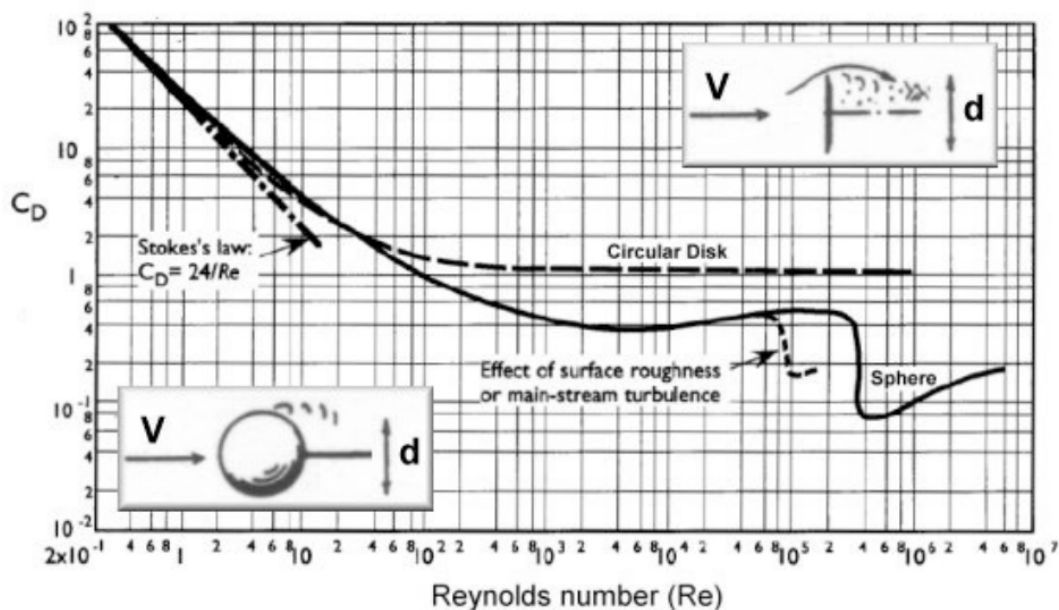


Figura 3.1: Análisis numérico: C_d frente a Re (Dosselaer 2014).

$$Re = \frac{ul}{\nu} \quad (3.3)$$

donde

- l es la longitud de referencia. Para el caso de una esfera es su diámetro.
- u es la velocidad del flujo no perturbado.
- ν es la viscosidad del fluido.

En todas las simulaciones de esta sección se ha utilizado una esfera de diámetro 0.2. Esta esfera es colocada en un punto equidistante de las paredes del túnel, y lo suficientemente alejada de estas como para que su influencia no altere el flujo. Del mismo modo, la esfera se ha posicionado cerca de la entrada del túnel, para dejar espacio tras ella, donde puedan desarrollarse los torbellinos en caso de producirse.

Se ha utilizado un valor de densidad de 1,0.

Las condiciones de contorno utilizadas han sido:

- En la superficie de la esfera, las condición denominada “No Deslizamiento” en la interfaz, que impone un valor de la velocidad nulo en la superficie de la esfera.

Parámetro	Valor
Giros iniciales	0 en cada uno de ellos
Contorno	Libre
Superficie sólido	No deslizamiento
Densidad	1,0
Número de ejecuciones	1
Tiempo de incremento progresivo de la velocidad	1
Tiempo de la simulación	7,5
Incremento de ángulo	0,0 en cada uno de ellos
Anchura de la Sponge Zone	0
Frecuencia del volcado de fuerzas	0,01
Dominio X	2,95
Dominio Y	0,9
Dominio Z	0,9

Cuadro 3.1: Análisis numérico: Inputs en la interfaz gráfica.

- En las paredes del túnel, se han usado las condiciones denominadas “Libres” en la interfaz. Éstas imponen en la velocidad un gradiente nulo en la componente tangencial a la frontera, y un valor nulo de la velocidad en la componente normal a dicha superficie.

Estos parámetros son comunes para todas las simulaciones de este apartado. En la tabla 3.1 se pueden ver todos los valores comunes, expresados con la nomenclatura utilizada en la interfaz del programa.

3.1.1 Influencia de la velocidad del fluido

En este apartado se estudia la influencia de la velocidad en el error del método. La velocidad tiene una influencia directa en el número de Mach de la simulación, y por lo tanto en el error relativo a la compresibilidad de la ecuación 2.18.

Para comprobar la influencia de la velocidad, se han realizado varias simulaciones dejando fijos todos los parámetros menos la velocidad, u_{lb} , que se ha variado entre 0,0015 y 0,1067.

Velocidad	Error (%)		
	<i>Single Relaxation Time BGK</i>	<i>Regularized BGK</i>	<i>Multiple Relaxation Time</i>
0,0016	-9,74	-9,65	-9,59
0,0022	-2,23	-2,14	-2,01
0,0044	-20,11	-19,99	-19,53
0,0089	-24,15	-23,98	-22,90
0,0178	-48,57	-48,21	-45,55
0,0356	-87,22	-86,44	-79,98
0,0711	-737,83	-734,69	-681,82
0,1067	-1650,67	-1659,46	-1503,28

Cuadro 3.2: Análisis numérico: Influencia de la velocidad en la precisión.

En todos estos casos, la viscosidad cinemática tiene un valor de 0,02109, δ_x adquiere el valor 0,01125, y δ_t se establece en 0,0001.

El error ha obtenido es mostrado en el cuadro 3.2.

En la figura 3.2 se representa el error, en tanto por uno, en forma de gráfica de puntos.

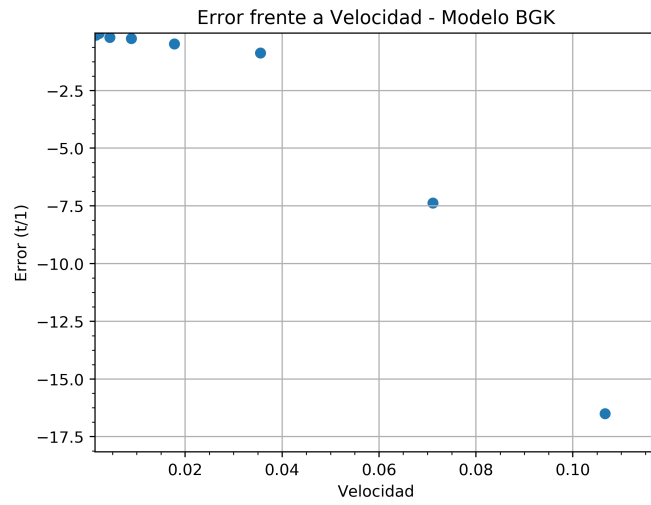
Si se comparan las tres dinámicas, se ve que, si bien existe una ligera mejora, en este caso es irrelevante.

Si se quiere mantener el error del método dentro de un orden aceptable, un valor recomendable para la velocidad es $u_{lb} = 0,002$. En caso de que la velocidad que se desea simular sea elevada, y no sea posible utilizar unos valores de δ_x y δ_t suficientemente bajos como para reducir el error de la compresibilidad, es recomendable realizar un proceso de adimensionalización como el explicado en el Apéndice A.4.

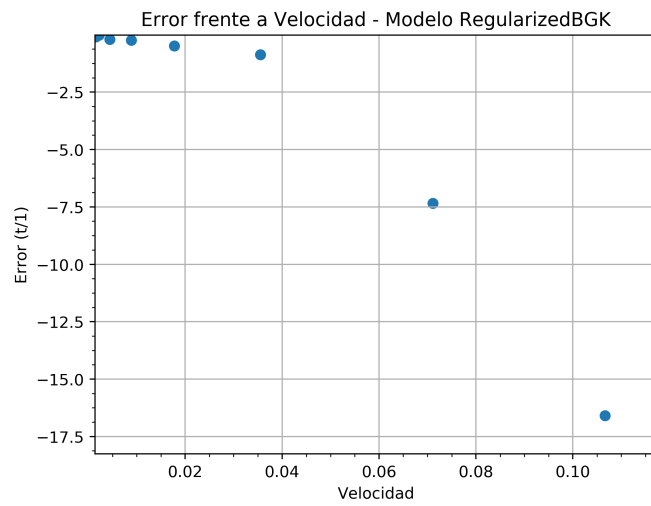
3.1.2 Influencia de la viscosidad

La viscosidad influye directamente en el parámetro de relajación, τ , y, por lo tanto, en la precisión del método.

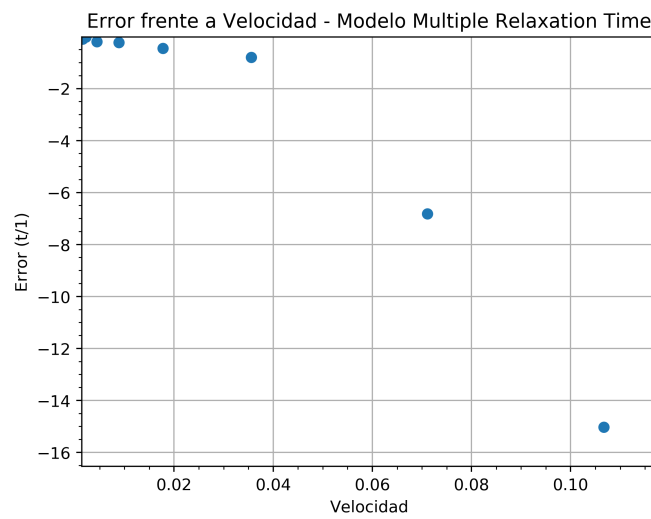
Para estudiar su influencia se procede de la misma manera que en el caso anterior, se realiza la misma simulación manteniendo fijos todos los parámetros menos la viscosidad, la cual se ha variado entre 0,005 y 0,021.



(a) Dinámica BGK



(b) Dinámica Regularized BGK



(c) Dinámica Multiple Relaxation Time

Figura 3.2: Análisis numérico: Error frente a velocidad.

Viscosidad	Error (%)		
	<i>Single Relaxation Time BGK</i>	<i>Regularized BGK</i>	<i>Multiple Relaxation Time</i>
0,005	-25,22	-25,45	-24,79
0,007	-20,77	-20,91	-20,41
0,009	-19,62	-19,70	-19,29
0,011	-18,55	-18,58	-18,23
0,013	-12,93	-12,92	-12,64
0,015	-7,57	-7,54	-7,31
0,017	-4,13	-4,08	-3,89
0,019	-2,50	-2,43	-2,27
0,021	-2,23	-2,14	-2,01

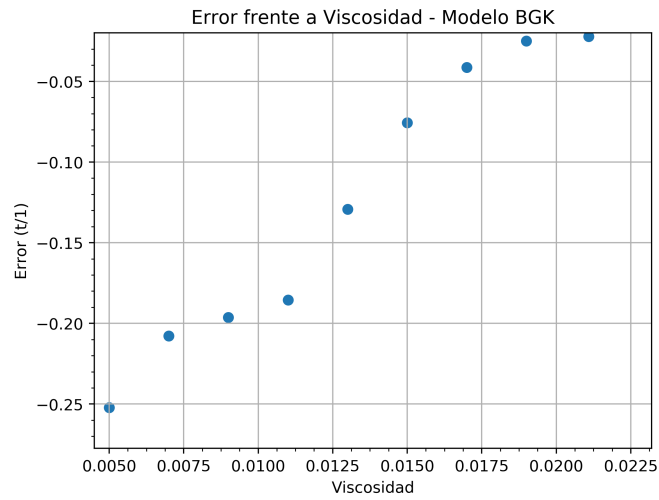
Cuadro 3.3: Análisis numérico: Error frente a viscosidad.

Los parámetros δ_x y δ_t toman un valor de 0,01125 y 0,0001 respectivamente. Para la velocidad de entrada, se utiliza el valor con el que menor error se obtuvo en el apartado anterior $u_d = 0,25$. El error obtenido se muestra en el cuadro 3.3. Para facilitar su visualización se representa en forma gráfica en la figura 3.3.

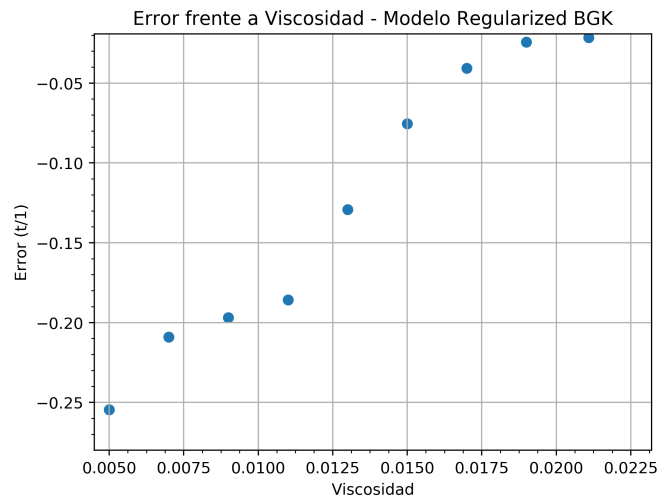
Para valores bajos de la viscosidad, y por lo tanto de τ , el error es elevado. Sin embargo, conforme τ crece el error disminuye.

Si de nuevo se comparan los dos métodos, se observa que, para valores bajos de viscosidad, el método *Regularized BGK* ofrece peor precisión que *Single Relaxation Time BGK*. Sin embargo, llegado a un punto, los papeles se invierten, y el método *Regularized BGK* ofrece mejores resultados. La dinámica *Multiple Relaxation Time BGK* proporciona una mejora en la precisión para todos los valores del intervalo. No obstante, como ocurría en el caso de la velocidad, la mejora que nos proporciona es muy poco significativa.

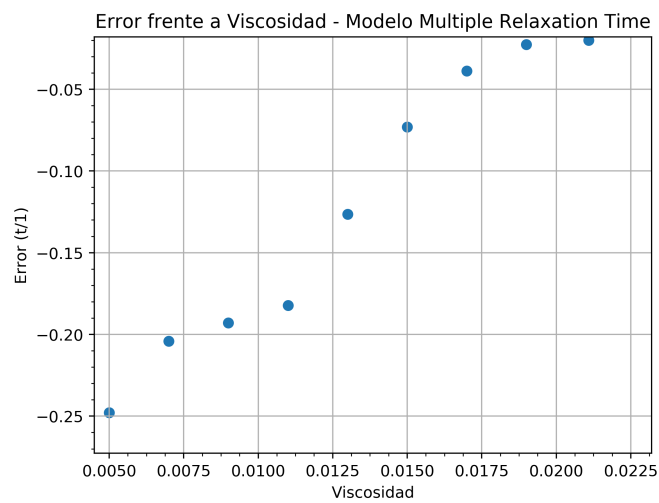
Si se quiere conseguir un error reducido, sería conveniente usar un valor $v_p = 0,021$. Como en el caso anterior, si la simulación que se desea realizar tiene un valor muy inferior a éste, sería necesario utilizar el proceso de adimensionalización explicado en el apéndice A.4.



(a) Dinámica BGK



(b) Dinámica Regularized BGK



(c) Dinámica Multiple Relaxation Time

Figura 3.3: Análisis numérico: Error frente a viscosidad.

3.1.3 Influencia de los parámetros δ_x y δ_t

Una vez se tiene un valor para la viscosidad, la velocidad del fluido y las dimensiones del problema, queda definido el número de Reynolds, y con él la solución analítica. Sin embargo, aún queda por definir el valor de los incrementos discretos δ_t y δ_x .

Al igual que en los dos casos anteriores, se realizan varias simulaciones manteniendo fijos todos los parámetros salvo el que se desea estudiar.

Se estudia en primer lugar la influencia del parámetro δ_x .

Se han utilizado los valores de velocidad $u_d = 0,25$, $\delta_t = 0,0001$ y Viscosidad Cinemática de $0,02109$. Los valores utilizados para δ_x se han hecho variar entre 0.0225 y 0.0078 .

El error obtenido está representado en la gráfica 3.4.

En ellas se pueden identificar dos zonas:

- Para valores reducidos del parámetro, el error permanece acotado en un margen aceptable, una variación en δ_x tiene una influencia moderada en el error.
- Para valores más elevados del parámetro, el error se hace mayor, y una variación en δ_x causa un mayor incremento del error.

A la hora de seleccionar un valor para δ_x es conveniente mantenerlo dentro de la primera zona, en caso contrario la simulación tendrá menor precisión y pueden presentarse problemas de estabilidad. Igualmente, δ_x tiene que seleccionarse atendiendo a los detalles del cuerpo, haciendo el mallado lo suficiente fino como para que todos los detalles queden reflejados en él.

También es importante tener en cuenta que, a mayor número de nodos, mayor coste computacional tiene la simulación.

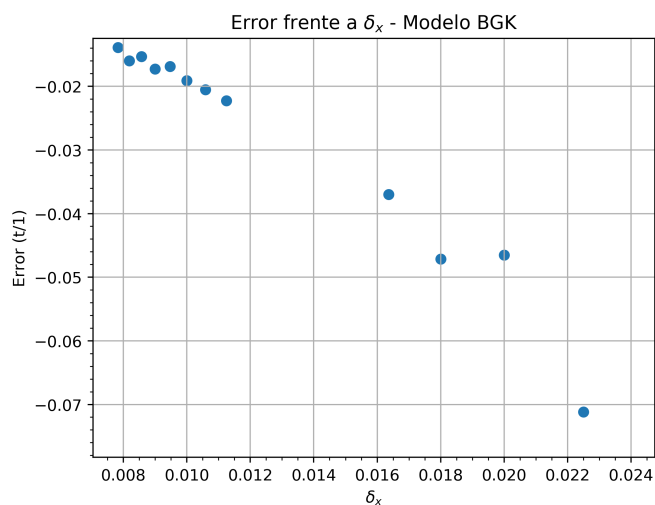
En último lugar se estudia la influencia de δ_t .

Se utilizan los valores $\delta_x = 0,01125$, velocidad $u_d = 0,25$ y viscosidad cinemática $0,02109$.

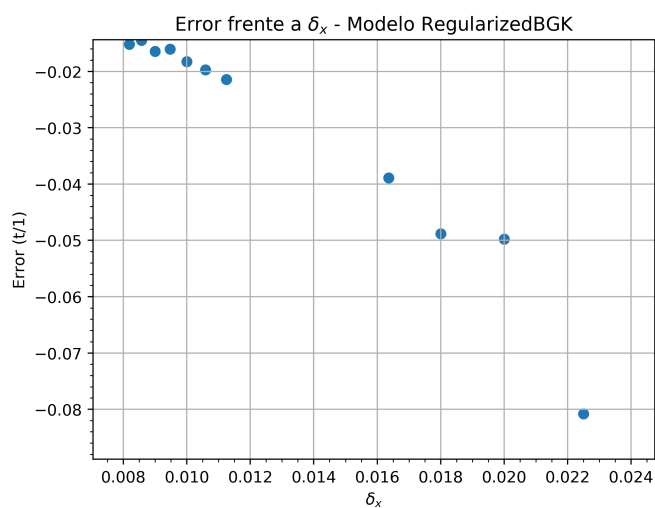
Los valores de δ_t se han hecho variar entre $0,0002$ y $0,000025$. Como se puede ver, se han elegido los valores llegando a bajar hasta dos órdenes de magnitud el orden recomendado por 2.16.

El error obtenido en estas simulaciones se muestra en la figura 3.5.

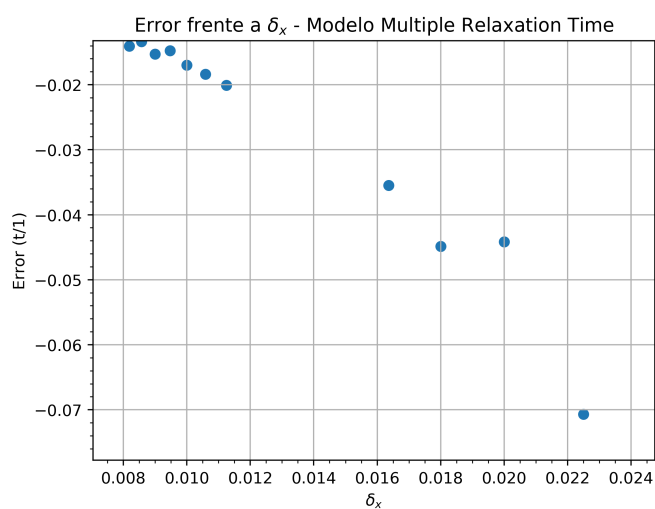
A pesar de haber variado hasta dos órdenes de magnitud el valor de δ_t , el error de la simulación solo ha variado del $-2,6\%$ al $-1,6\%$. De esta manera se muestra que resulta poco eficiente intentar mejorar la precisión modificando δ_t , sin modificar a la par δ_x mediante la relación 2.16.



(a) Dinámica BGK

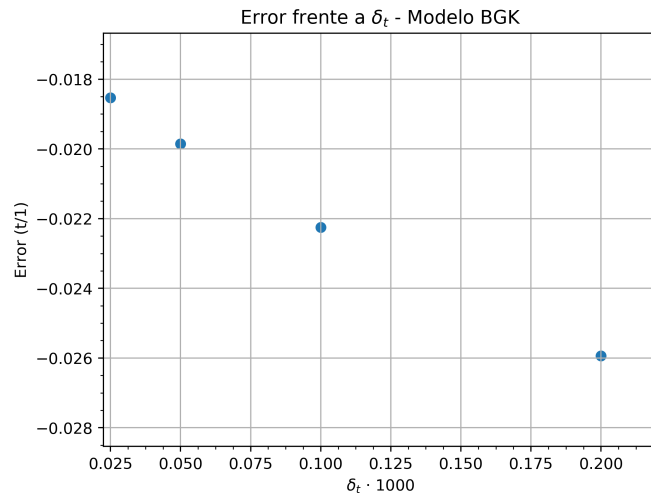


(b) Dinámica Regularized BGK

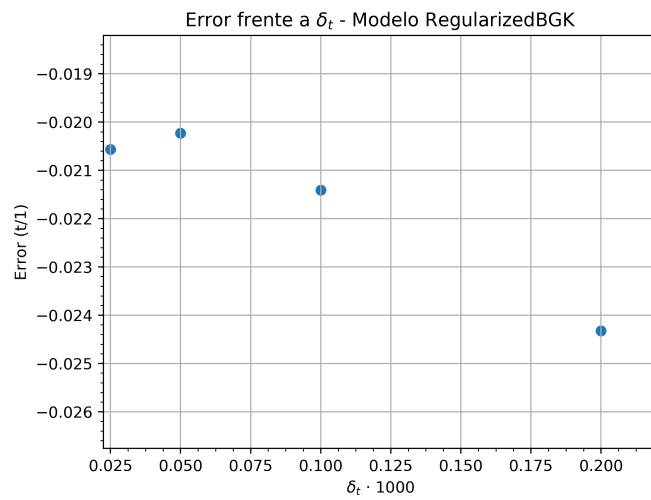


(c) Dinámica Regularized BGK

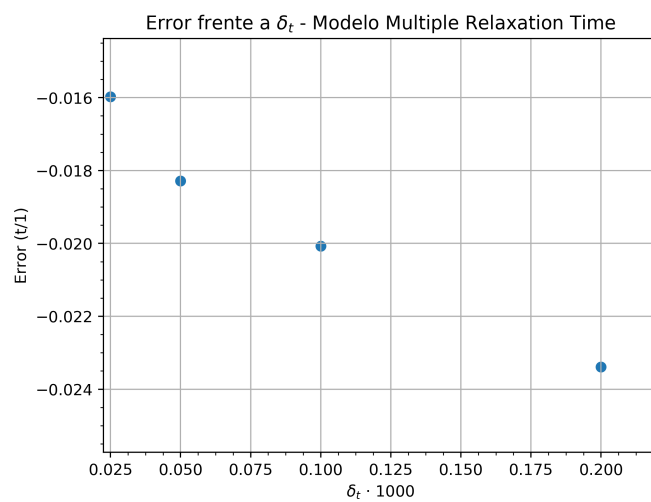
Figura 3.4: Análisis numérico: Error frente a δ_x .



(a) Dinámica BGK



(b) Dinámica Regularized BGK



(c) Dinámica Regularized BGK

Figura 3.5: Análisis numérico: Error frente a δ_t .

Eje	Dimensión Eje - Caso A	Dimensión Eje - Caso B
Eje X	0,9	1,3
Eje Y	0,3	0,4
Eje Z	0,6	0,85

Cuadro 3.4: NACA: Dimensiones Túnel.

Con todo lo expuesto hasta este punto, se ha visto cómo las dinámicas *Multiple Relaxation Time* y *Regularized BGK* han conseguido una mejora en la precisión de método. Sin embargo, esta mejora no supone una diferencia significativa respecto a la tradicional *Single Relaxation Time BGK*.

3.2 Estudio de perfiles alares

Un problema clásico de la aerodinámica es el estudio de perfiles alares. A modo de ejemplo, en esta sección se va a realizar un estudio tipo de este caso.

Se han conseguido ficheros STL para los modelos de perfiles NACA 0021 y NACA 6713¹.

El objetivo de este estudio tipo es obtener la variación de los coeficientes de arrastre y sustentación con el ángulo de ataque, para dos números de Reynolds diferentes.

Para modificar el número de Reynolds sin modificar los valores de la velocidad y viscosidad, evitando así aumentar el error, como se ha observado en el apartado anterior, se han modificado las dimensiones del perfil. Según las dimensiones del perfil se van a diferenciar dos casos, caso A y caso B. Las dimensiones correspondientes a cada caso se especificarán en cada perfil.

Las dimensiones del túnel en cada uno de estos casos se ven en el cuadro 3.4.

Los perfiles han sido situados en el punto medio del túnel en el plano Y-Z. Para el caso A se ha colocado a 0,3 unidades de distancia de la entrada del túnel, mientras que en el caso B a 0,4 unidades.

El parámetro δ_x también se ha modificado entre los casos A y B. Para el caso A se ha usado un valor de $\delta_x = 0,00375$ y para el caso B de $\delta_x = 0,005$.

El resto de parámetros de la simulación se han mantenido iguales entre los casos A y B, ver cuadro 3.5.

¹Los STL de dichos perfiles han sido obtenidos de la referencia (GrabCAD 2017).

Parámetro	Valor
Giros iniciales	0 en cada uno de ellos
Condición de contorno	Libre
Condición en la superficie del sólido	No Deslizamiento
Densidad	1,0
Número de Ejecuciones	10
Tiempo de incremento progresivo de la velocidad	1
Tiempo de la simulación	7,5
Incremento de Ángulo Psi	0,0873
Incremento de Ángulo Phi	0,0
Incremento de Ángulo Theta	0,0
Anchura de la Sponge Zone	0
Frecuencia del Volcado de las fuerzas	0,01
Viscosidad Cinemática	0,02109
Velocidad	0,25
Modelo	Regularized BGK

Cuadro 3.5: NACA: Inputs en la interfaz gráfica.

Eje	Dimensión Eje - Caso A	Dimensión Eje - Caso B
Eje X	0,1	0,2
Eje Y	0,021	0,042
Eje Z	0,5	0,75

Cuadro 3.6: NACA 0021: Dimensiones Perfiles.

Con estos parámetros se realizan varias simulaciones, variando el ángulo de ataque del perfil 5 grados (0,0873 radianes) entre cada una de ellas.

Se ha usado la ecuación 3.4 para el cálculo del número de Reynolds, 3.5 para el coeficiente de arrastre y 3.6 para el coeficiente de sustentación.

$$Re = \frac{ul_c}{\nu} \quad (3.4)$$

$$C_D = \frac{F_D}{\frac{1}{2}\rho u^2 S} \quad (3.5)$$

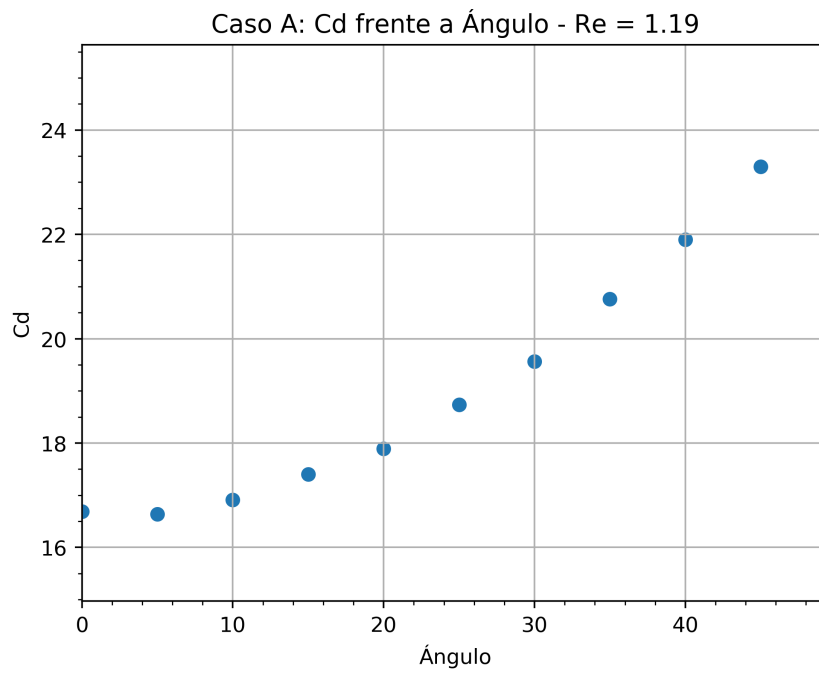
$$C_L = \frac{F_L}{\frac{1}{2}\rho u^2 S} \quad (3.6)$$

donde:

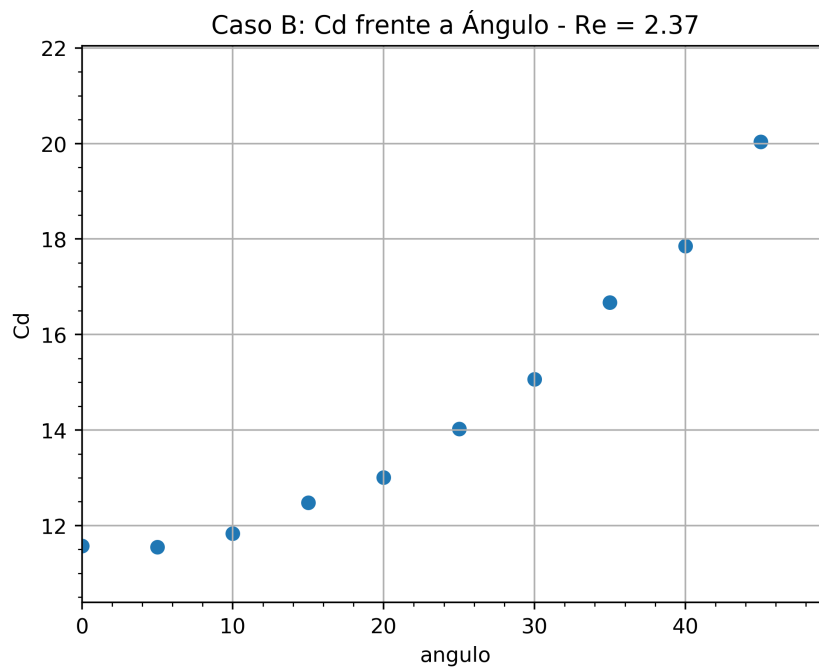
- l_c es la longitud de la cuerda.
- $S = l_c l_a$.
- l_a es la longitud del ala.
- u es la velocidad del fluido sin alterar.
- ρ es la densidad del fluido.
- F_D es la fuerza de arrastre.
- F_L es la fuerza de sustentación.

3.2.1 NACA 0021

Las dimensiones de cada caso pueden verse en el cuadro 3.6.



(a) Caso A



(b) Caso B

Figura 3.6: NACA 0021: Coeficiente de Arrastre frente a ángulo de ataque

Eje	Dimensión Eje - Caso A	Dimensión Eje - Caso B
Eje X	0,1	0,2
Eje Y	0,0176	0,0351
Eje Z	0,5	0,75

Cuadro 3.7: NACA 6713: Dimensiones Perfiles.

Los coeficiente de arrastre obtenidos están en la figura 3.6.

Los coeficiente de sustentación se representan en la figura 3.7.

El comportamiento de este perfil NACA es muy regular: tanto el coeficiente de arrastre como el de sustentación tienen un incremento gradual conforme se incrementa el ángulo de ataque. Al estar trabajando con números de Reynolds bajos, no se llega a alcanzar el ángulo de entrada en pérdida, en el cual el coeficiente de sustentación empezaría a descender.

Los elevados valores que toman el coeficiente de arrastre y el coeficiente de sustentación son debidos, de nuevo, a los bajos números de Reynolds. Para Reynolds suficientemente grandes, los coeficientes se reducirían varios órdenes de magnitud.

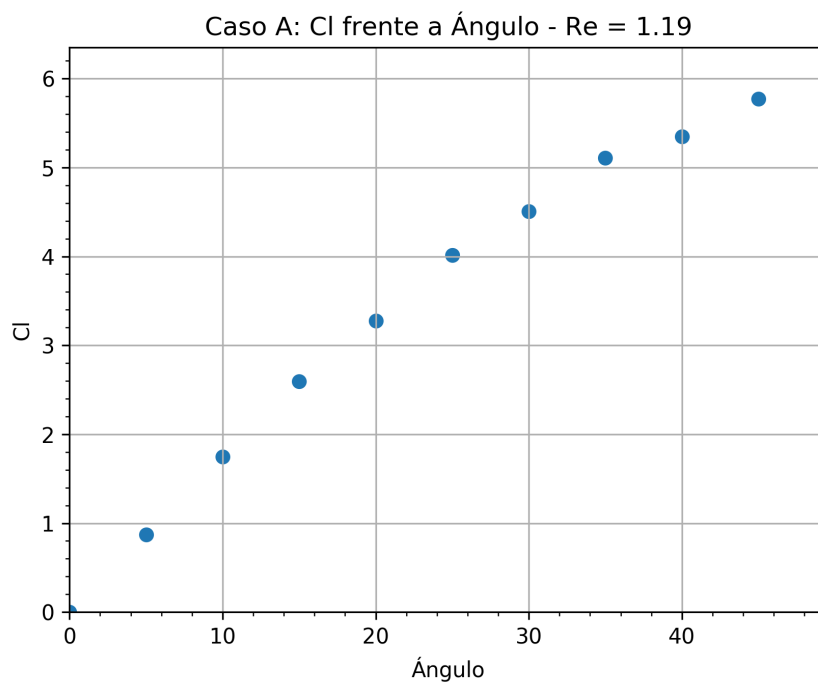
Un fenómeno que tiene lugar en el extremo de los perfiles alares es la creación de vórtices, el ingles llamados *wingtip vortex*. Estos vórtices, típicos de la aerodinámica de perfiles alares, se generan cuando el fluido a alta presión de la parte inferior del ala asciende a la parte superior por el lateral de ésta, debido al gradiente de presiones. A mayor diferencia de presiones, mayor vórtice, por lo que el fenómeno se incrementa al aumentar el ángulo de ataque, como se puede ver en la figura 3.8.

3.2.2 NACA 6713

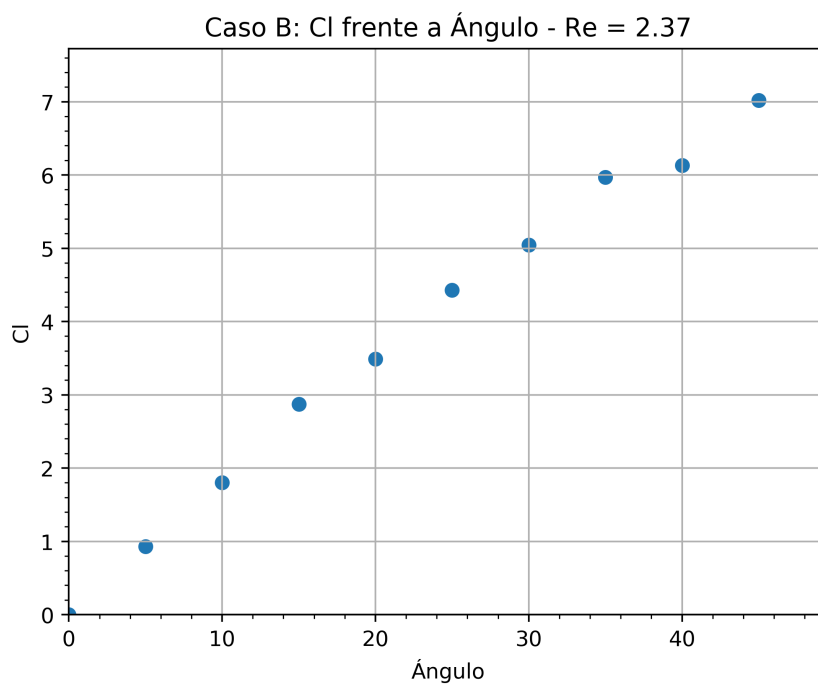
Las dimensiones de los perfiles que se han usado en ese caso de prueba están en el cuadro 3.7.

Los coeficientes de arrastre obtenidos están representados en la figura 3.9. Y los coeficiente de sustentación se representan en la figura 3.10.

Comparado con el perfil anterior, el presente perfil presenta unos coeficientes de sustentación menores para el mismo ángulo de ataque. Para ángulos bajos se aprecia el mismo comportamiento para el coeficiente de sustentación, hasta llegar a 35 grados, donde aparece una salida de la tendencia, con una bajada brusca en el valor del coeficiente. Esta anomalía puede tener origen en el cambio que sufren los nodos de la retícula al rotar el perfil, causando una pérdida

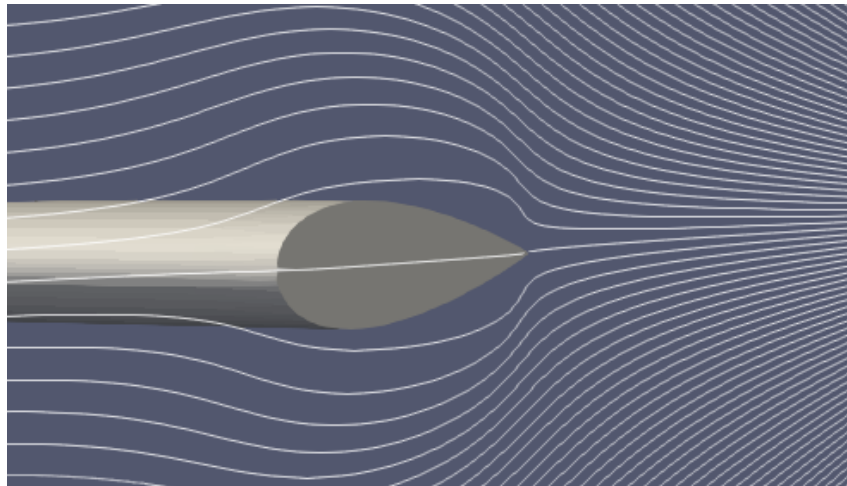


(a) Caso A

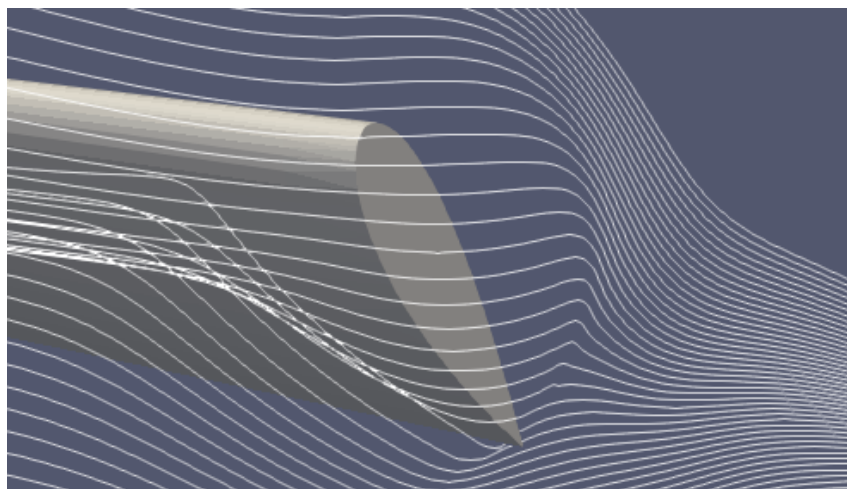


(b) Caso B

Figura 3.7: NACA 0021: Coeficiente de Sustentación frente a ángulo de ataque.

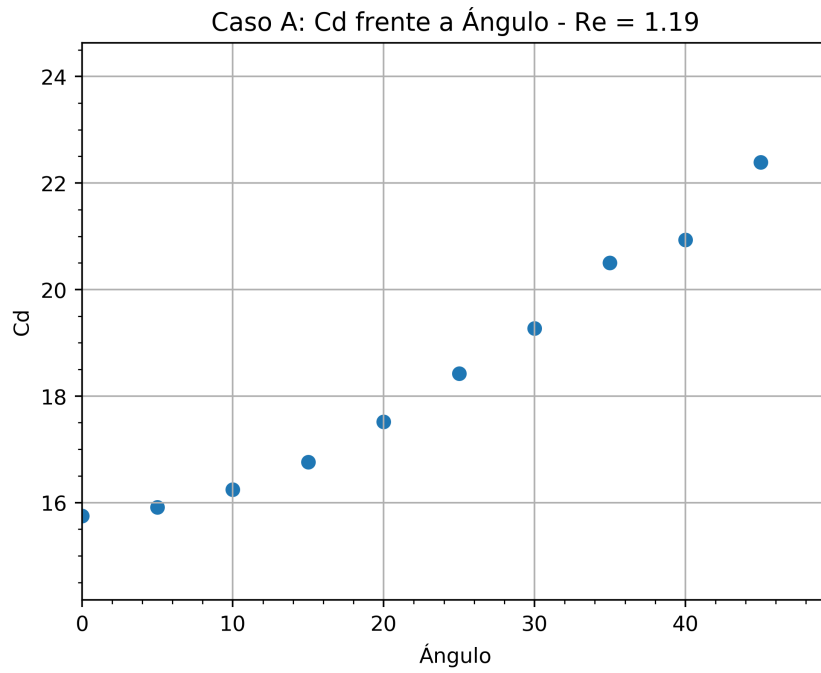


(a) 0 Grados

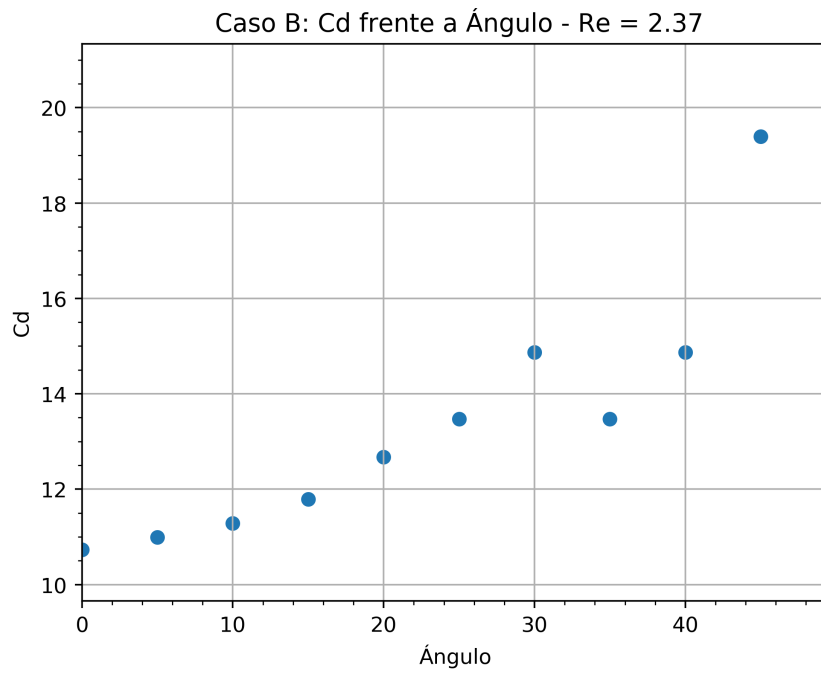


(b) 45 Grados

Figura 3.8: NACA 0021: Flujo en el extremo del perfil.

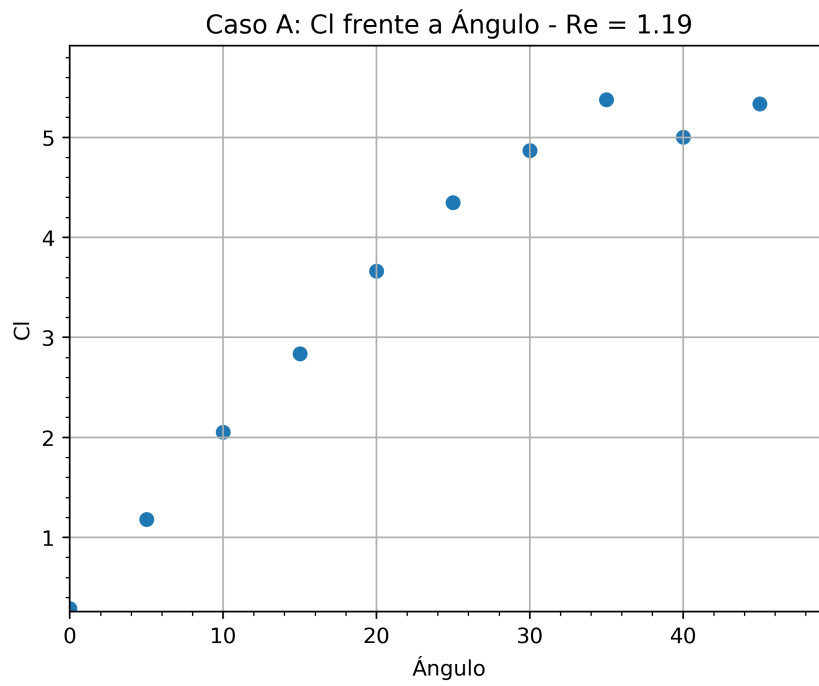


(a) Caso A

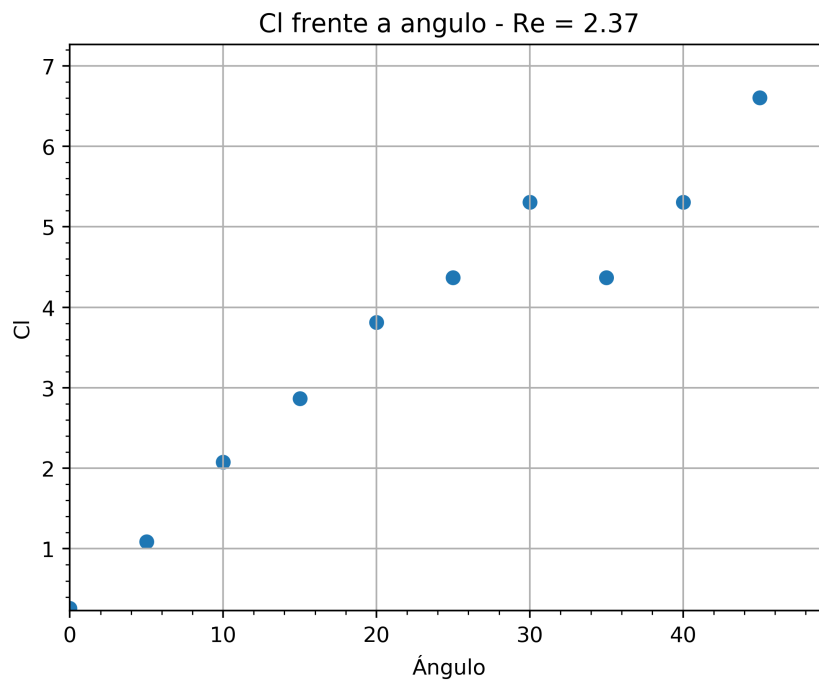


(b) Caso B

Figura 3.9: NACA 6713: Coeficiente de Arrastre frente a ángulo de ataque.



(a) Caso A



(b) Caso B

Figura 3.10: NACA 6713: Coeficiente de Sustentación frente a ángulo de ataque.

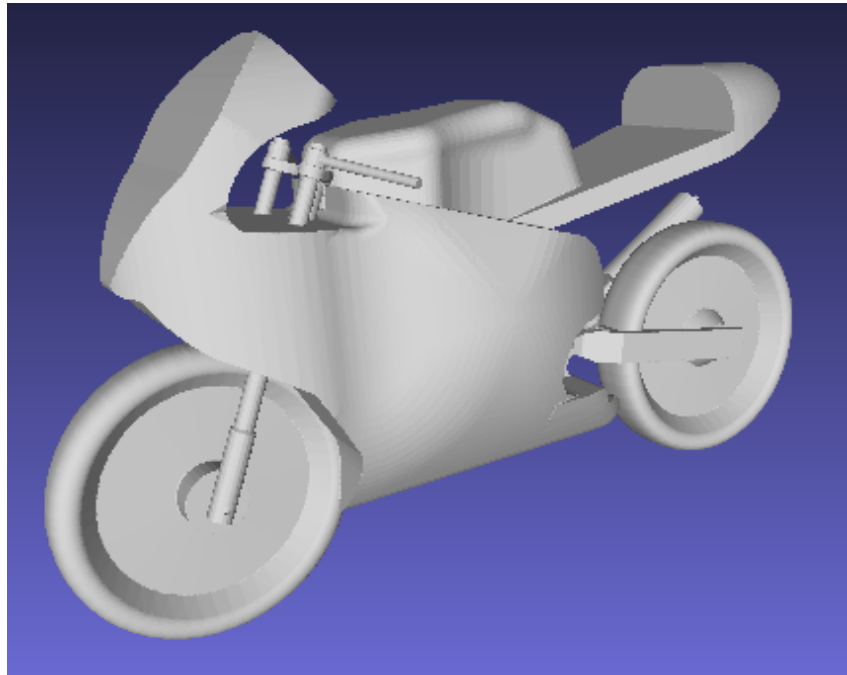


Figura 3.11: Estudio aerodinámico de motocicleta: Modelo STL de Motocicleta.

de precisión. Para obtener mayor precisión en dichos puntos sería preciso realizar un mallado más fino.

3.3 Estudio aerodinámico de una motocicleta

Con este caso se pretende mostrar la viabilidad del túnel de viento virtual creado en este trabajo para estudiar la aerodinámica externa de cuerpos reales, y con una cierta complejidad geométrica.

La figura 3.11 representa un modelo en formato STL de una motocicleta² sobre la cual se va a estudiar la evolución del flujo, conforme aumenta el número de Reynolds. Para el cálculo del número de Reynolds se utiliza la ecuación:

$$Re = \frac{lu}{\nu} \quad (3.7)$$

donde

- l es la altura de la moto.

²El fichero STL fue suministrado por el Grupo de Fluidodinámica Numérica de la Universidad de Zaragoza.

- u es la velocidad del fluido no perturbado.
- ν es la viscosidad cinemática.

Se ha usado un valor de $\delta_x = 0,0057$, velocidad de entrada de 0,25, $\delta_t = 0,0001$, densidad igual a 1.0 y anchura de la *Sponge Zone* de 0.

Se ha usado una dinámica *Regularized BGK* en las primeras simulaciones, hasta llegar a la simulación con un valor $Re = 100$, donde al observar que en el flujo empezaban a aparecer inestabilidades se cambió a una dinámica de *Smagorinsky*, con un valor para la constante de Smagorinsky de 0,14.

Al tratarse de una motocicleta, hay que tener en cuenta la contribución del suelo a la aerodinámica. Se consigue simular el comportamiento del suelo en el lateral del túnel que esta en contacto con las ruedas.

Para representar el flujo alrededor del cuerpo se van a utilizar líneas de corriente, generadas por el software de visualización ParaView. Las líneas de corriente son tangentes en cada punto al vector velocidad del fluido en el punto.

Se parte de un número de Reynolds bajo, $Re = 1$, donde todo el flujo es laminar. Se han tomado dos vistas como referencia: una vista lateral en la figura 3.12 (a) y una vista detalle del manillar en la figura 3.12 (b).

Para un número de Reynolds más alto, $Re = 10$, se ve el perfil con la variación de la presión con respecto a su valor inicial, figura 3.13 (b). En ella se identifica las zonas de altas presiones en la parte frontal de la motocicleta.

Si se aumenta el número de Reynolds, $Re = 100$, aparecen las primeras zonas de recirculación, en el manillar 3.14 (a), asiento 3.14 (b) y parte posterior 3.14 (c).

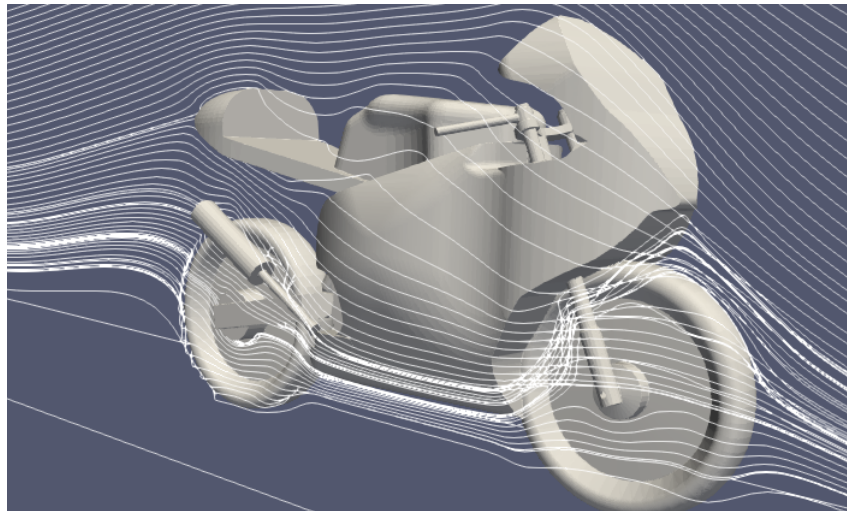
Por último, se puede ver la variación del coeficiente de arrastre y de sustentación en el cuadro 3.8. Las fórmulas usadas para el cálculo de estos coeficientes son 3.8 para el coeficiente de arrastre y 3.9 para el coeficiente de sustentación.

$$C_D = \frac{F_D}{\frac{1}{2}\rho u^2 S} \quad (3.8)$$

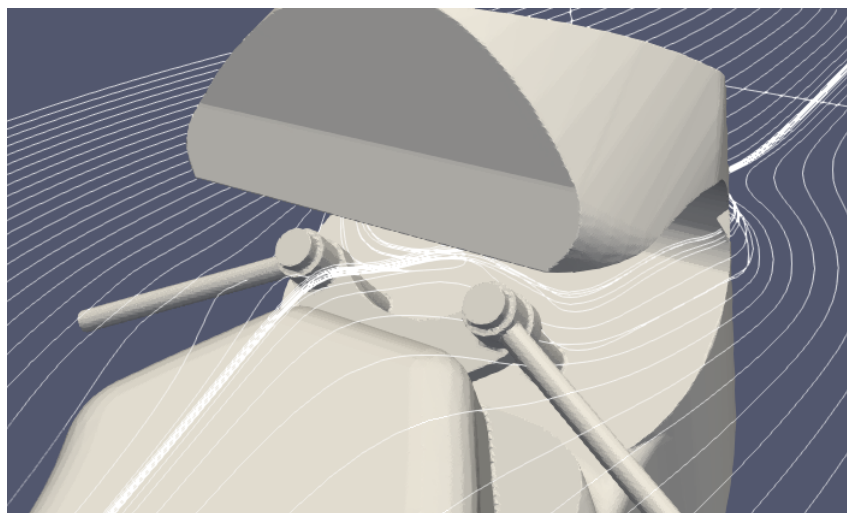
$$C_L = \frac{F_L}{\frac{1}{2}\rho u^2 S} \quad (3.9)$$

donde

- S es la superficie frontal de la motocicleta.

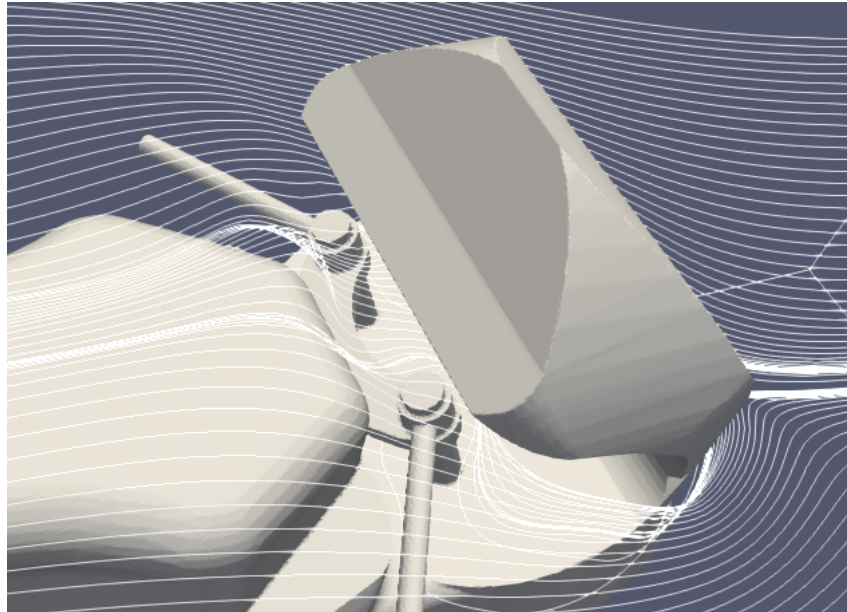


(a) Vista lateral

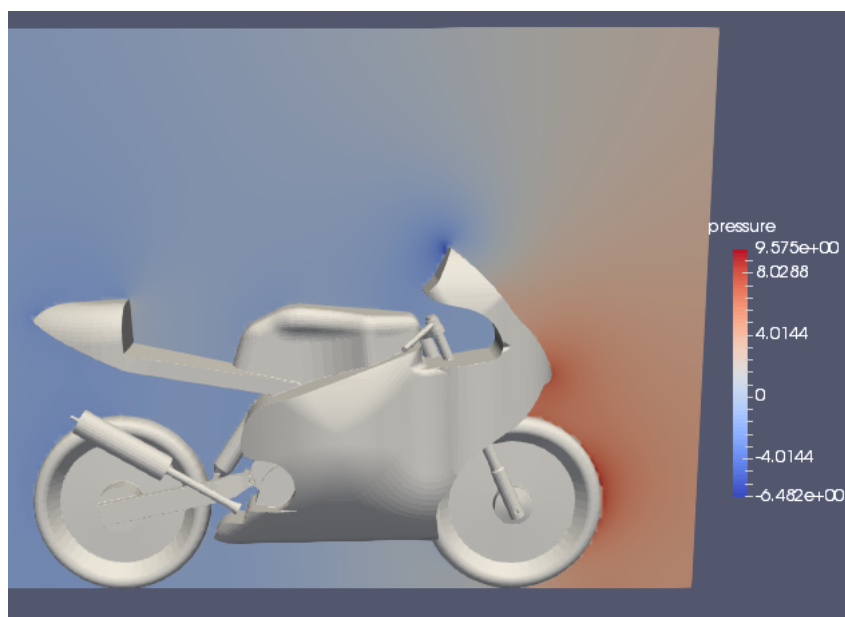


(b) Detalle del manillar

Figura 3.12: Estudio aerodinámico de una motocicleta: $Re = 1$.

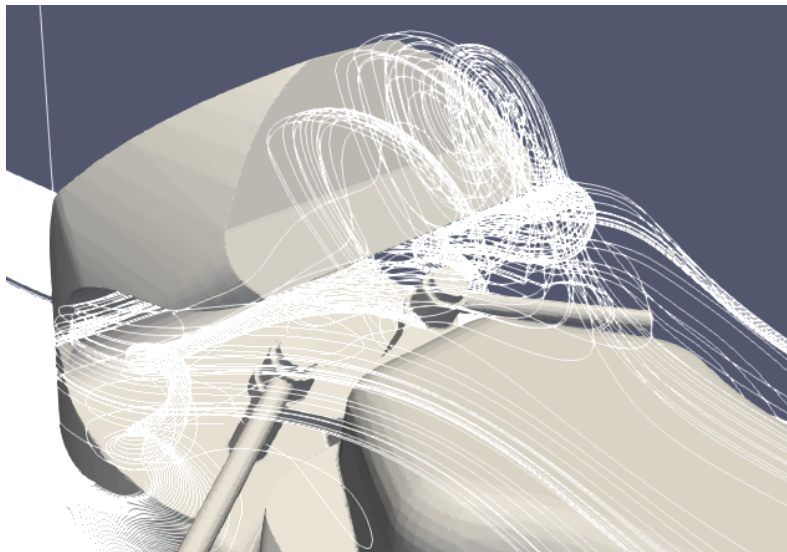


(a) Detalle del manillar

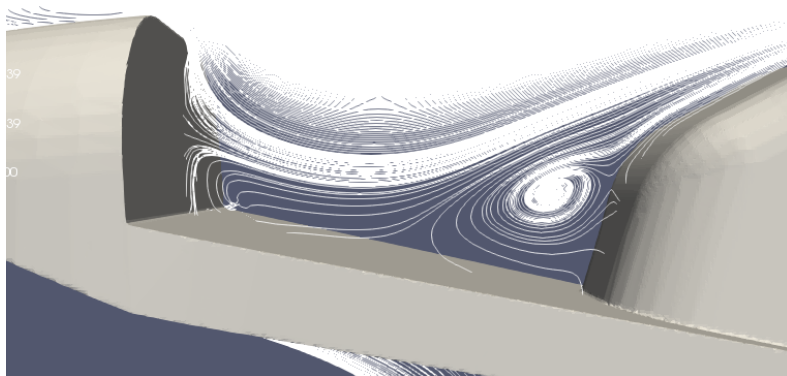


(b) Presiones en un corte transversal de la motocicleta

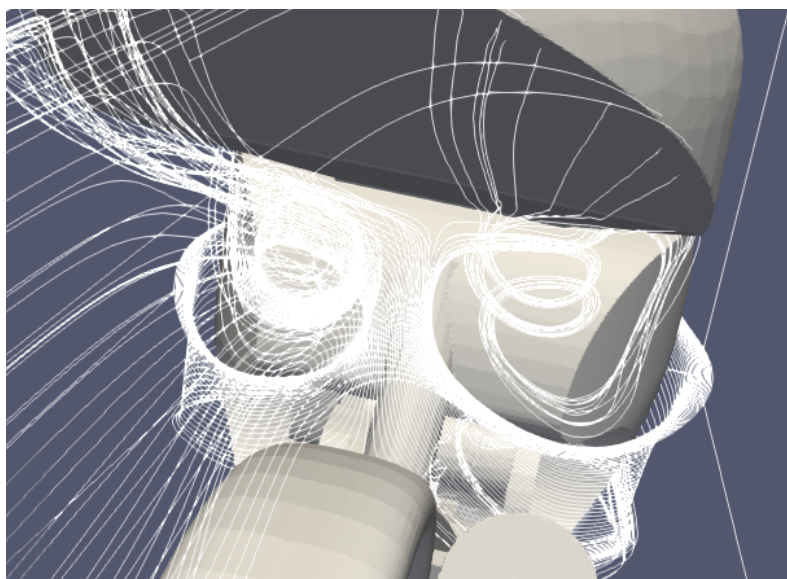
Figura 3.13: Estudio aerodinámico de motocicleta: $Re = 10$.



(a) Detalle del manillar



(b) Asiento



(c) Parte posterior

Figura 3.14: Estudio aerodinámico de motocicleta: $Re = 100$.

Número de Reynolds	Coefficiente de arrastre	Coefficiente de sustentación
1	120,19	14,45
10	16,62	6,71
100	16,64	1,57

Cuadro 3.8: Estudio aerodinámico de motocicleta: Coeficiente de arrastre y de sustentación frente a número de Reynolds.

- u es la velocidad del fluido no perturbado.
- ρ es la densidad del fluido.
- F_D es la fuerza de arrastre.
- F_L es la fuerza de sustentación.

3.4 Estudio aerodinámico de edificio

En la figura 3.15 se representa el modelo en formato STL del edificio³ sobre el que se va a estudiar la evolución del flujo para distintas orientaciones.

Para caracterizar cada simulación se usa el número de Reynolds, definido por la ecuación:

$$Re = \frac{lu}{\nu} \quad (3.10)$$

donde

- l es la altura del edificio.
- u es la velocidad del fluido no perturbado.
- ν es la viscosidad cinemática.

Para las dos orientaciones se ha usado un valor de $Re = 30$.

³El fichero STL del edificio fue suministrado por Raúl Losantos Viñuales.

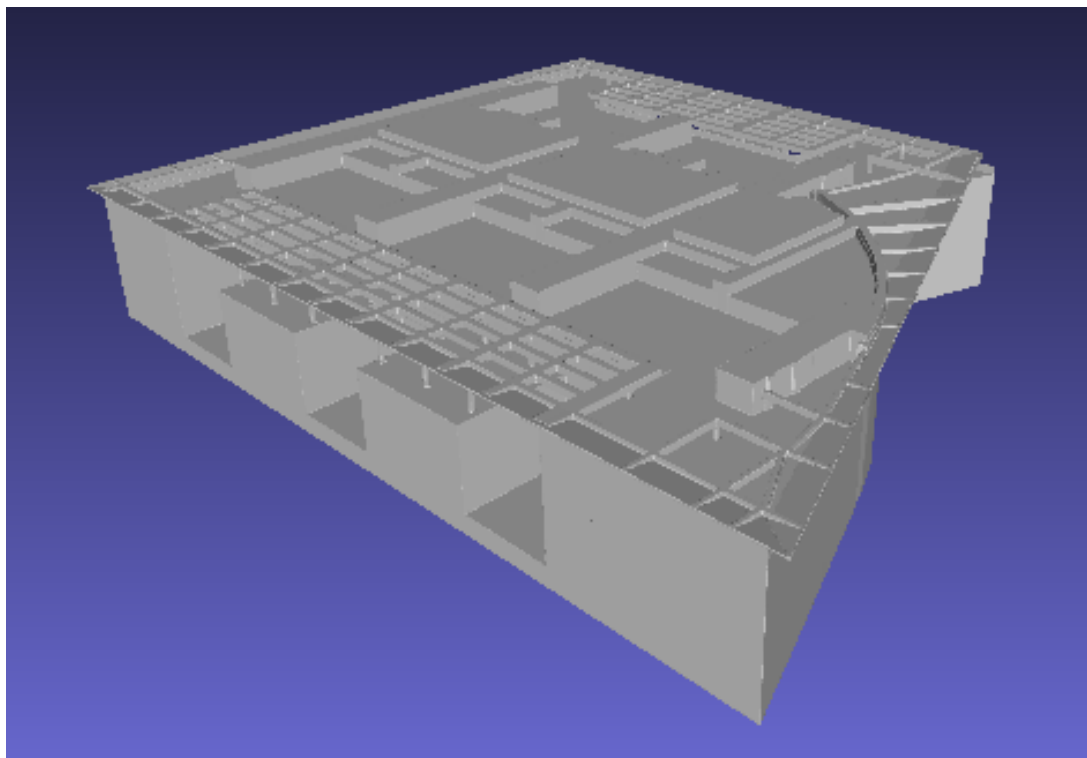


Figura 3.15: Estudio aerodinámico de edificio: Modelo STL de edificio.

Se han elegido dos orientaciones, en la primera el flujo impacta directamente sobre una pared del edificio (Caso A), mientras que, en la segunda, el flujo impacta en una de sus esquinas (Caso B).

Se ha usado un valor de $\delta_x = 0,041$, velocidad de entrada de 0,25, $\delta_t = 0,002$, densidad igual a 1,0, anchura de la *Sponge Zone* de cero y se ha usado una dinámica *Regularized BGK*.

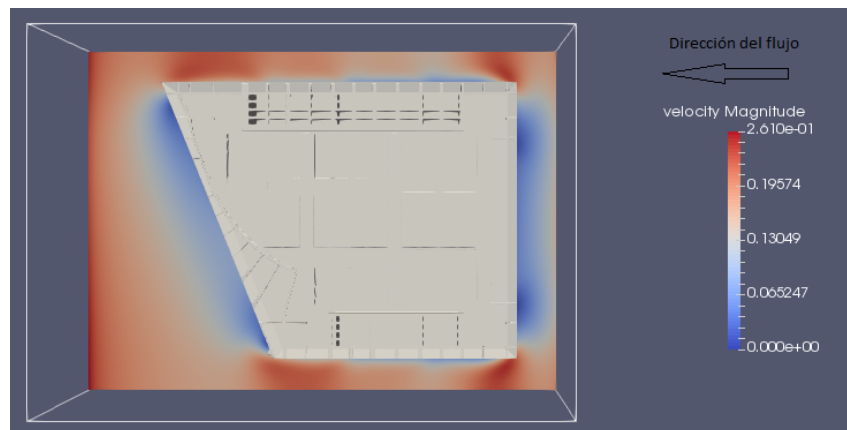
Al tratarse de un edificio, la contribución del suelo es importante en su estudio. Se simula el comportamiento del suelo en el lateral del túnel que esta en contacto con el edificio.

Se puede ver la velocidad del flujo en las zonas colindantes en la figura 3.16.

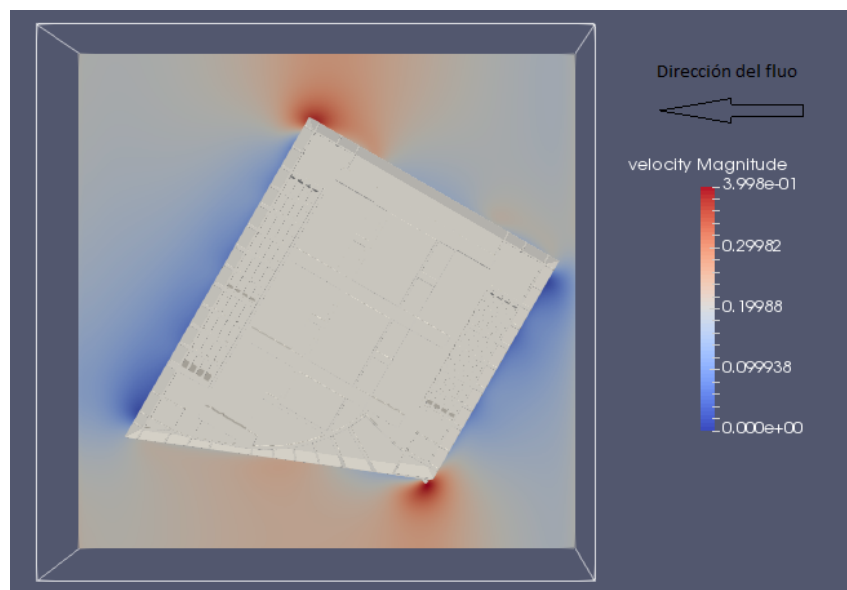
En ellas se ven las zonas dónde el flujo tiene mayor velocidad, en color rojo. Estas no serían recomendables, por ejemplo, para la instalación de terrazas o parques.

Para visualizar el movimiento del flujo, se crean las líneas de corriente del flujo.

En el caso A se aprecia la formación de remolinos, zonas de recirculación, en la parte lateral, figura 3.17 (a) y (b), y en la parte posterior, figura 3.17 (c). Mientras que en el caso B el flujo pasa sin ser perturbado.

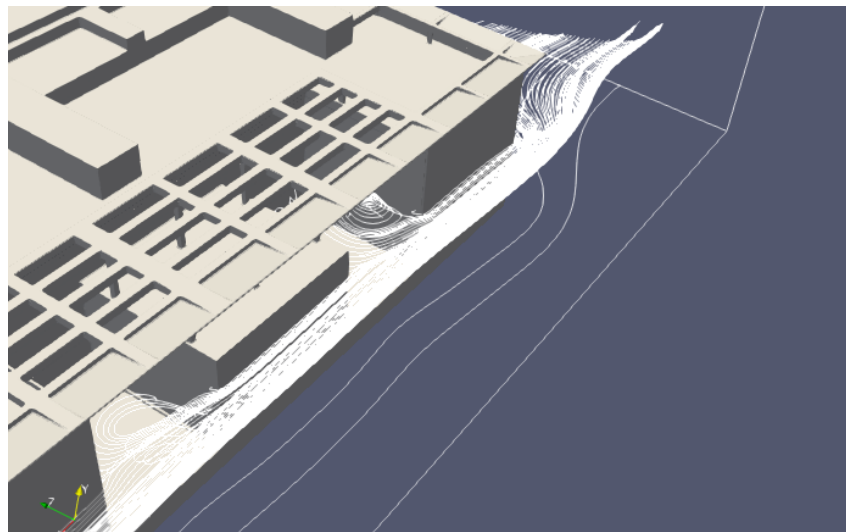


(a) Caso A

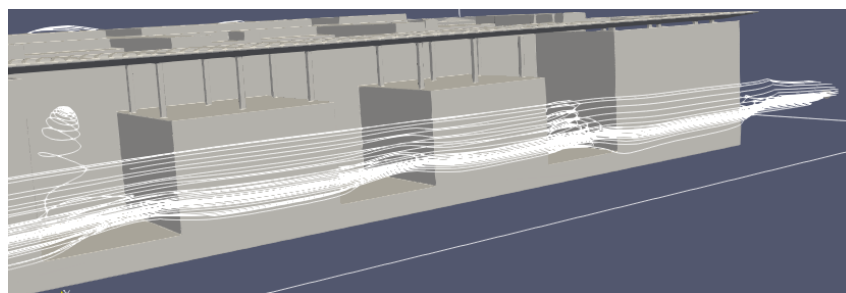


(b) Caso B

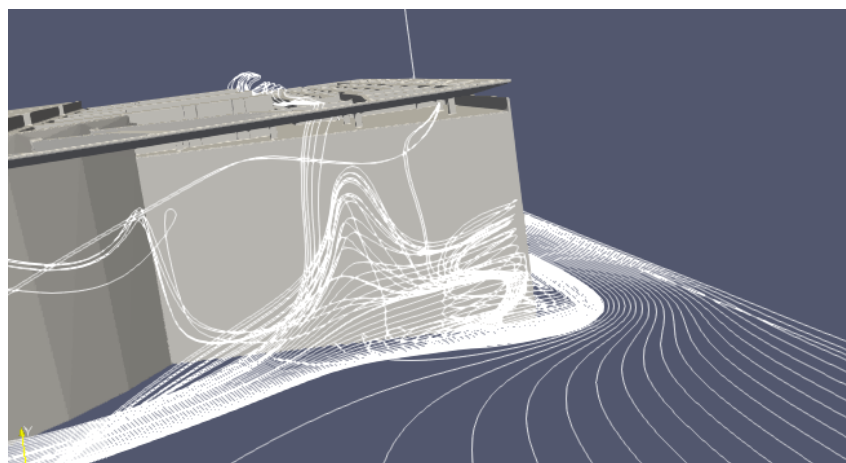
Figura 3.16: Estudio aerodinámico de edificio: Campo de velocidades.



(a) Vista 1



(b) Vista 2



(c) Vista 3

Figura 3.17: Estudio aerodinámico de edificio: Líneas de corriente orientación A.

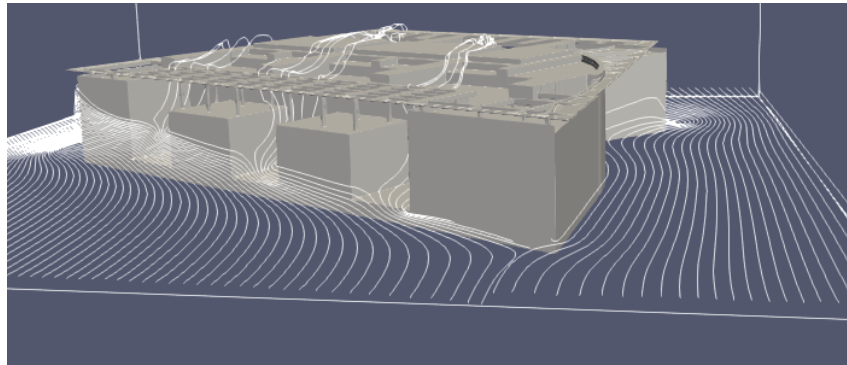


Figura 3.18: Estudio aerodinámico de edificio: Líneas de corriente orientación B.

3.5 Tiempos de cálculo

Dos factores que influyen en el tiempo que dura una simulación son:

- Número de nodos del sistema. Es función de las dimensiones del túnel y la distancia entre nodos, δ_x .
- Número de iteraciones para completar la simulación. Es función del incremento de tiempo entre iteraciones, δ_t , y duración de la simulación.

Para obtener unos valores orientativos, se ha realizado una simulación con $3 \cdot 10^6$ nodos en la que se realizan 10^4 iteraciones, la cual se ha realizado en una sola unidad de procesamiento, un núcleo de un procesador.

La simulación finaliza tras $5,92 \cdot 10^3$ segundos. Con un escalamiento lineal se puede ver cómo la simulación de la motocicleta, que constaba de 10^8 nodos y se ejecutaban $6 \cdot 10^4$ iteraciones, requeriría de un tiempo aproximado de $1,18 \cdot 10^6$ segundos, 13 días. Gracias a la paralelización del código fue posible reducir dicha cifra y realizarla en un tiempo menor. Sin embargo, si se deseara realizar una simulación con mayor números de Reynolds, el escalamiento del problema implicaría una mayor cantidad de nodos en el sistema, aumentando el coste computacional hasta límites que sólo podría ser tratados mediante simulaciones masivamente paralelas en entornos adecuados, de los cuales no se ha dispuesto en el presente proyecto.

CAPÍTULO 4

Conclusiones y líneas de trabajo futuro

4.1 Conclusiones

Se ha conseguido una herramienta de cálculo aerodinámico que permite la obtención de resultados a partir de un modelo CAD, sobre el cual se realizan unas reparaciones mínimas, en caso de necesitarse. De esta manera se elimina la mayor dificultad que aparece en los métodos basados en malla, la preparación de dicha malla.

En lo referente al software realizado, se ha comprobado la facilidad con la que es posible desarrollar una herramienta usando distintos lenguajes de programación, utilizando cada uno de ellos para la tarea en la que resulte más apto, por ejemplo un lenguaje compilado para la tarea que requería mayor coste computacional, realización de la simulación, y otro como Python para el desarrollo de la interfaz gráfica o el sistema de avisos. Al realizar esta separación entre diferentes programas especializados en una tarea determinada, se ha seguido la denominada *filosofía UNIX*. Esto proporciona ventajas con vistas al futuro, por ejemplo permite seguir utilizar el núcleo del programa como motor de cálculo y cambiar la interfaz a un diseño web.

4.2 Líneas de trabajo futuro

Como líneas sobre las que seguir trabajando para ampliar dicho proyecto se proponen:

- Nuevas simulaciones con números de Reynolds superiores, entrando así en régimen turbulento, y estudiar el funcionamiento de la herramienta en estas condiciones.
- Mejoras en la herramienta. Una mejora que en su momento se planteó pero fue desechada por falta de tiempo fue el refinamiento local de la malla en la zona de interés. Gracias a

esto sería posible reducir en gran medida el tiempo de simulación.

- Adaptación a nuevos entornos de trabajo. Con la aparición de nuevos dispositivos, cómo los *smartphone* o *tablet*, sería de interés la adaptación de la herramienta para pudiera correr en ellos.
- Nuevo sistema de uso. Una de las dificultades que se experimentó a la hora de utilizar la herramienta fue el sistema de conexión con el cluster, SSH. Dado el amplio desarrollo de otras tecnologías, como la tecnología web, sería de interés la creación de una interfaz a través de un portal web, que permitiese su uso a través de un navegador.
- Estudio de la viabilidad como modelo de negocio. Dado el coste nulo de la herramienta, su facilidad de uso y los resultados que proporciona, podría usarse como motor de calculo en una empresa de análisis aerodinámico.

Bibliografía

C. Sukop, M. y T.Thorne, D. (2006), *Lattice Boltzmann Modeling An Introduction for Geoscientists and Engineers*.

Dosselaer, I. V. (2014), Buoyant Aerobot Design and Simulation Study, PhD thesis, Delft University of Technology.

GrabCAD (2017).

URL: <https://grabcad.com/>

Krüger, T., Varnik, F. y Raabe, D. (2009), ‘Shear stress in lattice Boltzmann simulations’, *Physical Review E* **79**(4). arXiv: 0812.3242.

URL: <http://arxiv.org/abs/0812.3242>

Latt, J. (2008), ‘Choice of units in lattice Boltzmann simulations’.

URL: http://wiki.palabos.org/_media/howtos:lbunits.pdf

Lätt, J. (2014), Hydrodynamic limit of lattice Boltzmann equations, PhD thesis, Université de Genève.

Lutz, M. (2010), *Programming Python*, 4(th) edn, O’REILLY.

McKinney, W. (2012), *Python for Data Analysis: Data Wrangling with Pandas, NumPy, and IPython*, 1(st) edn, O’REILLY.

Moufekkik, F., Moussaoui, M., Mezrhab, A., Naji, H. y Lemonnier, D. (2012), ‘Numerical prediction of heat transfer by natural convection and radiation in an enclosure filled with an isotropic scattering medium’, *Journal of Quantitative Spectroscopy and Radiative Transfer* **113**, 1689–1704.

Márquez, F. M. (2004), *UNIX Programación avanzada*, 3(rd) edn, Ra-Ma.

Non-Manifold edge and vertices (2017).

URL: http://pointclouds.org/blog/_images/non_manifold.png

Palabos (n.d.).

URL: <http://www.palabos.org/>

Palabos LBM Wiki (2017).

URL: <http://wiki.palabos.org/>

Stroustrup, B. (1985), *El lenguaje de programación C++*, 1(st) edn, ADDISON WESLEY.

Touretzky, D. (2017), 'STL Files and Slicing Software'.

URL: <https://www.cs.cmu.edu/afs/cs/academic/class/15294-s15/lectures/stl/stl.pdf>

Viggen, E. M. (2014), *The lattice Boltzmann method: Fundamentals and acoustics*, PhD thesis, Norwegian University of Science and Technology.

APÉNDICE A

Introducción al método de Lattice-Boltzmann

El método de Lattice-Boltzmann es un método de resolución numérico compresible para flujo incompresible, usado en Mecánica de Fluidos Computacional (CFD). Ofrece muy buenos resultados para casos tales como interacción con superficies, flujos multifásicos, evaporación, condensación, cavitación, turbulencia y muchos otros.

El método tiene su origen en los trabajos de Ludwig Boltzmann sobre el comportamiento de los gases. La idea principal era que, estos, estaban formados por un conjunto de partículas, que interactuaban entre ellas de acuerdo a las leyes de la mecánica clásica. Como un gas estaba formado por un gran número de estas partículas, el comportamiento macroscópico de éste tenía que ser descrito de una manera estadística (Teoría cinética de los gases). A partir de este trabajo, se desarrolló el denominado *Lattice gas automaton*, un autómata celular que sirvió como base para los actuales modelos de Lattice-Boltzmann.

A.1 El Modelo de Lattice-Boltzmann

Es posible demostrar que, de la ecuación de Boltzmann, [A.1](#), que modela el cambio de la distribución de probabilidad de un gas, se pueden derivar las ecuaciones de Navier-Stokes para el caso de que la densidad sufra pequeños cambios.

$$f_i(\vec{x} + \vec{e}_i \delta_t, t + \delta_t) = f_i(\vec{x}, t) + \Omega_i \quad (\text{A.1})$$

El término Ω_i se le denomina termino de colisión, y existen diversas ecuaciones para su cálculo. Posteriormente se verá una de las posibles implementaciones, llamada Bhatnagar–Gross–Krook

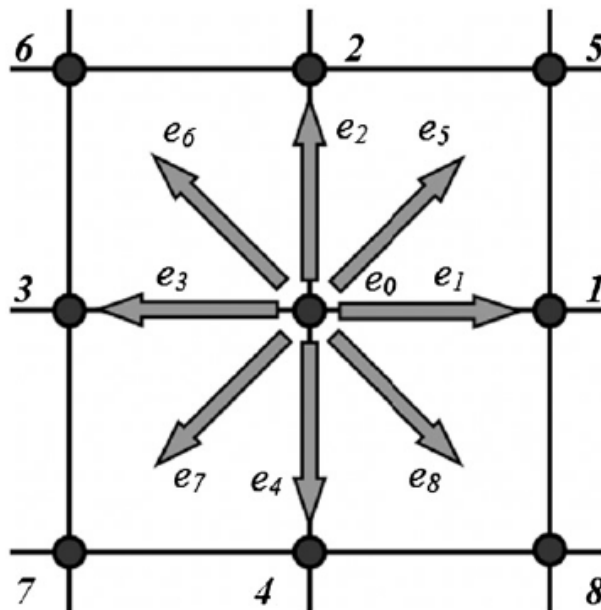


Figura A.1: Malla tipo D2Q9 con microvelocidades.

(BGK), la cual, a pesar de ser la más sencilla posible, proporciona unos buenos resultados.

En esencia, el método de Lattice-Boltzmann consiste en discretizar el dominio, el momento de las partículas y el tiempo. De esta manera el fluido queda modelizado como un conjunto de partículas virtuales. La función que marca la dinámica de dichas partículas es la discretización de la ecuación de Boltzmann.

Con la discretización del dominio se crea una malla de puntos entre los cuales se pueden mover las partículas. Existen diversas mallas, que se pueden nombrar atendiendo a la nomenclatura D_nQ_m , donde n es el número de dimensiones espaciales, 2 o 3 generalmente, y m es el número de velocidades, número de direcciones en las que se pueden mover las partículas incluyendo la opción del propio nodo.

Con esta discretización del dominio se introduce un nuevo aspecto del método, la conversión a unidades lattice. La unidad básica de longitud $\delta_x = 1(lu)$ se hace coincidir con la distancia entre los nodos más cercanos.

Posteriormente hay que adimensionalizar la dimensión temporal, para ello se toma la unidad de tiempo discreto $\delta_t = 1(ts)$. Para facilitar los cálculos, se hace coincidir con el tiempo que transcurre entre cada iteración del método.

Una vez discretizado el dominio, en cada punto se establecen una serie de vectores velocidad:

$$\vec{e}_a, a = 0, 1, 2, \dots, m-1 \quad (\text{A.2})$$

A cada uno de los vectores se les denomina microvelocidades del nodo. Para el caso D2Q9, figura A.1¹, tienen el valor mostrado en A.3, A.4 y A.5.

$$\vec{e}_0 = 0 \text{ lu ts}^{-1} \quad (\text{A.3})$$

$$\vec{e}_1 = \vec{e}_2 = \vec{e}_3 = \vec{e}_4 = 1 \text{ lu ts}^{-1} \quad (\text{A.4})$$

$$\vec{e}_5 = \vec{e}_6 = \vec{e}_7 = \vec{e}_8 = \sqrt{2} \text{ lu ts}^{-1} \quad (\text{A.5})$$

Llegados a este punto, se tiene que incorporar la función de distribución f , con la cual se pueden calcular las variables macroscópicas de densidad, A.6, y velocidad del fluido, A.7. La ecuación de Boltzmann proporciona para cada dirección un valor, que puede interpretarse como el “flujo” de las partículas virtuales en esa dirección.

$$\rho = \sum_{a=0}^{m-1} f_a \quad (\text{A.6})$$

$$\vec{u} = \frac{1}{\rho} \sum_{a=0}^{m-1} f_a \vec{e}_a \quad (\text{A.7})$$

Pero para calcular el valor de f , primero se tiene que establecer un valor para el término de colisión.

A.2 El Operador de Bhatnagar–Gross–Krook

Para el operador de colisión nombrado anteriormente, Ω_i , tiene en su forma general una forma integral compleja. Sin embargo es posible encontrar una aproximación lineal, como la que nos ofrece el operador BGK, desarrollado en la ecuación:

$$\Omega_i = \frac{1}{\tau} (f_i^{eq} - f_i) \quad (\text{A.8})$$

¹(Moufekkik et al. 2012)

Donde se ve que, el término de colisión, es proporcional a la diferencia entre el valor la función de distribución y un valor de equilibrio.

Discretizando la ecuación de Boltzmann, y aplicando el operador de Bhatnagar–Gross–Krook al termino de colisión, se obtiene la ecuación:

$$f_i(\vec{x} + \vec{e}_i \delta_t, t + \delta_t) = f_i(\vec{x}, t) + \frac{1}{\tau} (f_i^{eq} - f_i) \quad (\text{A.9})$$

Esta ecuación sintetiza dos fenómenos distintos que pueden ser separados en el término de colisión A.10 y el término de flujo:

$$\frac{1}{\tau} (f_i^{eq} - f_i) \quad (\text{A.10})$$

$$f_i(\vec{x} + \vec{e}_i \delta_t, t + \delta_t) = f_i(\vec{x}, t) \quad (\text{A.11})$$

En el caso de que se esté tratando una condición de contorno de un sólido, estos dos términos tienen que ser separados para poder ser resueltos.

El valor de τ está ligado con la viscosidad del fluido, ya que, este término de la ecuación, es equivalente al termino viscoso de la ecuación de Navier-Stokes, al tipo de mallado, y al modelo de ecuación de estado que se tome para el fluido, ecuación de gas ideal, ecuación de Van der Waals. . . Para el caso más básico, un mallado D2Q9 se puede calcular como:

$$\nu_{lb} = c_s^2 \left(\tau - \frac{1}{2} \right) \quad (\text{A.12})$$

donde

- c_s^2 es la velocidad del sonido en el fluido al cuadrado. Es posible demostrar que medido en unidades lattice, tiene que tener un valor de $\frac{1}{3}$ para mantener la isotropía del fluido.
- ν_{lb} es la viscosidad cinemática del fluido en unidades lattice, posteriormente se explicará cómo realizar este cambio de unidades.

En esta situación se puede calcular el termino de equilibrio como:

$$f_a^{eq}(\vec{x}) = \omega_a \rho(\vec{x}) \left[1 + 3 \frac{\vec{e}_a \cdot \vec{u}}{c_s^2} + \frac{9}{2} \frac{(\vec{e}_a \cdot \vec{u})^2}{c_s^4} - \frac{3}{2} \frac{\vec{u} \cdot \vec{u}}{c_s^2} \right] \quad (\text{A.13})$$

donde

$$\blacksquare \omega_a = \begin{cases} \frac{4}{9} & \text{si } a = 0 \\ \frac{1}{9} & \text{si } a = 1,2,3,4 \\ \frac{1}{36} & \text{si } a = 5,6,7,8 \end{cases}$$

- c_s es la velocidad del sonido en el fluido
- \vec{u} es la velocidad en el nodo \vec{x}

Dicho modelo recibe el nombre de Single-relaxation-time BGK, es la implementación más sencilla de los distintos métodos Lattice-Boltzmann. A pesar de eso es uno de los más utilizados, ya que presenta una gran versatilidad y buenos resultados.

Le velocidad del sonido en el fluido, c_s , es un parámetro muy importante en la simulación. Como se ha comentado, por motivos de isotropía del fluido, tiene un valor fijo en la simulación de $c_s = \frac{1}{\sqrt{3}}$.

Una condición necesaria que se tiene que cumplir en las simulaciones es A.14, ya que el modelo Lattice-Boltzmann no soporta flujos supersónicos.

$$|\vec{u}_{lb}| < c_s \tag{A.14}$$

A.3 Modelos más complejos

Debido a la simpleza del modelo *Single Relaxation Time BGK*, aparecen limitaciones a la hora de simular flujos con números de Reynolds elevados. El valor relativo de la baja viscosidad, que hace que el número de Reynolds sea elevado, causa problemas de inestabilidad, y hace que la resolución de las ecuaciones constitutivas produzca resultados erróneos o incluso no sea convergente. Con el fin de solucionar esto, se han desarrollado nuevos modelos que proporcionan mejores resultados para dichos casos.

El denominado *Entropic model* desarrollado por la Escuela Politécnica Federal de Zúrich, se basa en restaurar las consecuencias de la segunda ley de la termodinámica mediante la construcción de una función de entropía, que se asegura en cada iteración de que la entropía del sistema no decrece. Esta solución proporciona un modelo más estable para altos números de Reynolds, pero a cambio de aumentar en gran medida el coste computacional de la simulación.

Para mantener la mejora en la precisión y estabilidad que se ha obtenido con el Entropic mode, pero reduciendo el coste computacional, se puede utilizar el denominado *Regularized BGK*. En

él se definen una serie de nuevas funciones, como llamada función de no equilibrio, establecida por:

$$f_{\alpha}^{neq}(\vec{x}) = f_{\alpha}(\vec{x}) - f_{\alpha}^{eq}(\vec{x}) \quad (\text{A.15})$$

El tensor de esfuerzos por:

$$\Pi_{\alpha\beta} = \sum_k e_{\alpha} e_{\beta} f_k \quad (\text{A.16})$$

Para el caso del equilibrio:

$$\Pi_{\alpha\beta}^{eq} = \sum_k e_{\alpha} e_{\beta} f_k^{eq} \quad (\text{A.17})$$

De forma análoga a como se definió la función de no equilibrio, se puede definir un tensor de no equilibrio:

$$\Pi_{\alpha\beta}^{neq} = \Pi_{\alpha\beta} - \Pi_{\alpha\beta}^{eq} \quad (\text{A.18})$$

Por último se introduce un nuevo tensor:

$$Q_{\alpha ij} = e_{\alpha i} e_{\alpha j} - c \delta_{ij} \quad (\text{A.19})$$

Donde c ya se ha definido con anterioridad y δ_{ij} es la Delta de Kronecker.

La clave del modelo es realizar la aproximación:

$$f_{\alpha}^{neq}(\vec{x}) \approx -\frac{\omega_{\alpha}}{2\tau c^4} Q_{\alpha ij} \Pi_{ij}^{neq} \quad (\text{A.20})$$

Existen otros modelos más complejos, como por ejemplo el *Carreau model* para fluidos no-newtonianos. También existen modelos que permiten introducir el parámetro temperatura y modelar, así, flujos térmicos con cambios de temperatura, o incluso modelos que permiten incorporar cambios de fase o varios fluidos en varias fases. Si el flujo es turbulento, existe el llamado *Static Smagorinsky model* que permite acelerar las simulaciones.

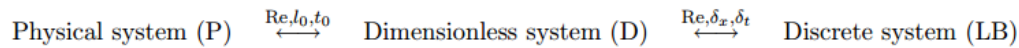


Figura A.2: Sistema Físico - Sistema Adimensional - Sistema Discreto.

A.4 Elección de unidades en simulaciones Lattice-Boltzmann

El flujo obtenido al circular un fluido sobre un cuerpo depende del número de Reynolds que se tenga. Este depende de los valores de viscosidad, velocidad del flujo y dimensiones del sólido. La estabilidad y velocidad de convergencia del método dependen del valor de estas dos variables. Para algunas simulaciones los valores que se tienen pueden no ser los adecuados, para ello una solución es crear un sistema adimensional intermedio, figura A.2².

Para identificar a qué sistema pertenece cada variable, se va a utilizar la siguiente nomenclatura de subíndices

- Subíndice p para los parámetros del sistema físico.
- Subíndice d para los parámetros del sistema adimensional.
- Subíndice lb para los parámetros del discreto, o sistema Lattice-Boltzmann.

A pesar de que es posible pasar directamente del sistema físico (P) al sistema discreto (LB), la elección de este sistema adimensional es fuertemente recomendable, ya que adapta nuestro sistema a uno en el que ofrezca mejores resultados.

Algo muy importante, en términos de estabilidad y convergencia del método, es tener una densidad próxima a la unidad, por lo tanto, un cambio obligatorio será adimensionalizar ésta dividiendo por su valor ρ_0 para igualarla a uno $\rho_d = \frac{\rho_0}{\rho_0} = 1$.

A.4.1 Sistema físico a adimensional

Para este paso se eligen dos variables características del problema

- Longitud de escala l_0
- Tiempo de escala t_0

²(Latt 2008)

Cambiando así la escala de tiempo y las dimensiones del problema según las ecuaciones:

$$t_d = \frac{t_p}{t_0} \quad (\text{A.21})$$

$$\vec{r}_d = \frac{\vec{r}_p}{l_0} \quad (\text{A.22})$$

Este cambio implica que, las dimensiones del problema \vec{r}_p , tienen que ser cambiadas con una escala $\frac{1}{l_0}$.

De la misma manera se está obligado a hacer un cambio de unidades en el resto de las variables mediante las ecuaciones:

$$\vec{u}_d = \frac{t_0}{l_0} \vec{u}_p \quad (\text{A.23})$$

$$\frac{\partial}{\partial t_d} = t_0 \frac{\partial}{\partial t_p} \quad (\text{A.24})$$

$$\nabla_d = l_0 \nabla_p \quad (\text{A.25})$$

$$p_d = \frac{1}{\rho_0} \frac{t_0^2}{l_0^2} p_p \quad (\text{A.26})$$

Con estos parámetros, las ecuaciones de Navier-Stokes, [A.27](#) y [A.28](#), quedan adimensionalizadas en las ecuaciones:

$$\nabla_p \cdot \vec{u}_p = 0 \quad (\text{A.27})$$

$$\frac{\partial \vec{u}_p}{\partial t_p} + (\vec{u}_p \cdot \nabla_p) \vec{u}_p = -\frac{1}{\rho_p} \nabla_p p_p + \nu_p \nabla_p^2 \vec{u}_p \quad (\text{A.28})$$

$$\nabla_d \cdot \vec{u}_d = 0 \quad (\text{A.29})$$

$$\frac{\partial \vec{u}_d}{\partial t_d} + (\vec{u}_d \cdot \nabla_d) \vec{u}_d = -\nabla_d p_d + \frac{1}{Re} \nabla_d^2 \vec{u}_d \quad (\text{A.30})$$

Donde el parámetro Re sigue la ecuación [A.31](#). Por lo que el valor de ν_d viene determinado por:

$$Re = \frac{l_0^2}{t_0 \nu_p} \quad (\text{A.31})$$

$$\nu_d = \frac{1}{Re} \quad (\text{A.32})$$

El factor Re es el número de Reynolds, el cual tiene el mismo valor medido en el sistema físico y en el sistema adimensional.

Con estos cambios se consigue que la presión y la densidad del fluido queden unificadas en una sola variable, a través de la ecuación de estado, ecuación de gas ideal. El único parámetro que queda para caracterizar el problema es la viscosidad adimensional, ν_d .

Por lo tanto, dos flujos obtenidos por las ecuaciones de Navier-Stokes, con la ecuación de gas ideal como ecuación de estado, son idénticos si tienen la misma geometría (excepto un factor de escala) y el mismo número de Reynolds.

También se puede pasar la fuerza entre los dos sistemas mediante:

$$\vec{F}_d = \frac{t_0^2}{l_0^4 \rho_0} \vec{F}_p \quad (\text{A.33})$$

A.4.2 Sistema adimensional a discreto

Para discretizar el sistema se tiene que elegir un parámetro espacial, δ_x , y otro temporal, δ_t . Donde δ_x es la distancia entre nodos contiguos, y δ_t el tiempo que transcurre entre dos iteraciones.

El resto de las magnitudes se obtienen mediante las ecuaciones:

$$\vec{u}_{lb} = \frac{\delta_t}{\delta_x} \vec{u}_d \quad (\text{A.34})$$

$$\nu_{lb} = \frac{\delta_t}{\delta_x^2} \nu_d \quad (\text{A.35})$$

A.5 Modelo de turbulencia

Si se intentan resolver directamente las ecuaciones de Navier-Stokes para un flujo turbulento, utilizando un método numérico, lo que es conocido como Simulación Numérica Directa (DNS),

tiene como problema el enorme coste computacional que esto requiere.

Con el fin de simplificar este coste, se han desarrollado los denominados modelos de turbulencia.

Uno de los modelos es el denominado Modelo de Simulación de Grandes Remolinos, *Large Eddy Simulation* (LES), el cual se basa en aplicar un filtro a las ecuaciones que rigen el problema. Matemáticamente hablando, esto se consigue aplicando una operación de convolución que actúa como un filtro de paso bajo sobre la función objetivo.

Gracias a esto se consigue que se resuelva el problema para grandes escalas, ignorando la resolución de pequeñas turbulencias, cuya influencia sobre el resto del flujo sí se tiene en cuenta. Los modelos funcionales, o modelos de viscosidad de Eddy, cuantifican la energía disipada en las pequeñas escalas, gracias a la introducción de una viscosidad artificial, o viscosidad de Eddy. Esto se puede expresar con la ecuación:

$$\tau_{ij}^r - \frac{1}{3}\tau_{ij}\delta_{ij} = -2\nu_t\bar{S}_{ij} \quad (\text{A.36})$$

donde:

- ν_t es la viscosidad de Eddy
- δ_{ij} es la delta de Kronecker
- τ_{ij} es el tensor de esfuerzos
- τ_{ij}^r es el tensor de esfuerzos residual anisótropo
- $\bar{S}_{ij} = \frac{1}{2}\left(\frac{\partial \bar{u}_i}{\partial x_j} + \frac{\partial \bar{u}_j}{\partial x_i}\right)$

El tensor de esfuerzos residual anisótropo puede calcularse como:

$$\tau_{ij}^r = \tau_{ij}^R - \frac{1}{3}\tau_{kk}^R\delta_{ij} \quad (\text{A.37})$$

Siendo τ_{ij}^R el tensor de esfuerzos residual que puede calcularse como:

$$\tau_{ij}^R = \overline{u_i u_j} - \bar{u}_i \bar{u}_j \quad (\text{A.38})$$

No existe un método para calcular la viscosidad de Eddy, ya que este valor exacto depende del problema en concreto. Por lo que se han desarrollado diferentes modelos que intentan aproximar

su valor. El modelo de Smagorinsky–Lilly es el modelo más simple, y aproxima dicho valor mediante:

$$\nu_t = (\delta_g C_s)^2 |\bar{S}| \quad (\text{A.39})$$

donde:

- δ_g El tamaño de la escala, a partir de la cual, para valores menores, se aplica el efecto del filtrado.
- C_s Constante de Smagorinsky. Su valor exacto depende de cada problema. En la práctica se le asocia un valor entre 0,1 y 0,2.
- $|\bar{S}| = \sqrt{2\bar{S}_{ij} : \bar{S}_{ij}}$

APÉNDICE B

Código

En el presente apéndice se presentan todo el código utilizado en el presente proyecto.

B.1 Interfaz gráfica

Esta primera sección esta dedicada a la interfaz del programa. Una vez se ha terminado de utilizar y se presiona el botón para comenzar la simulación, este proceso termina y se pasa el control al código en C++ de la sección [B.2](#).

```
1  '''
2  This file is part of the U-Virtual Wind Tunnel.
3
4  Copyright (C) 2017
5
6  The U-Virtual Wind Tunnel is free software: you can redistribute it and/or
7  modify it under the terms of the GNU Affero General Public License as
8  published by the Free Software Foundation, either version 3 of the
9  License, or (at your option) any later version.
10
11 The U-Virtual Wind Tunnel is distributed in the hope that it will be useful
12 ,
13 but WITHOUT ANY WARRANTY; without even the implied warranty of
14 MERCHANTABILITY or FITNESS FOR A PARTICULAR PURPOSE. See the
15 GNU Affero General Public License for more details.
16
17 You should have received a copy of the GNU Affero General Public License
18 along with this program. If not, see <http://www.gnu.org/licenses/>.
19 '''
20 #Se cargan los modulos necesarios
```

```
21 import sys
22 from lxml import etree
23 from io import StringIO
24 import os
25 #Se carga la GUI creada con Qt Creator
26 from interfazv5 import *
27 class ventana(QDialog):      #Se crea el objeto Ventana, heredada
    del objeto QDialog
28 def __init__(self, parent=None):    #Constructor
29     QtWidgets.QWidget.__init__(self, parent)    #Se llama al constructor de
    la superclase.
30     self.ui=Ui_Dialog()    #Atributo ui, contiene la GUI.
31     self.ui.setupUi(self)    #Se indica que el propio objeto contiene la GUI
    del programa.
32     #Leer el archivo XML
33     self.f = open("externalFlowAroundObstacle.xml")
34     self.xml = self.f.read()
35     self.f.close()
36     #Parseamos el fichero XML y creamos un objeto que tendra el nuevoXML
37     self.nuevoXML = ''    # Variable en blanco que se usara posteriormente.
38     self.tree = etree.parse(StringIO(self.xml))    # Se parsea el archivo de
    configuración, es un fichero XML. Se crea el objeto etree que contiene
    los datos del documento XML. Mediante la funcion StringIO ajustamos el
    tipo de formato que necesita el método parse como entrada, ya que el
    tipo de dato en que se encontraba el atributo xml no era el indicado.
39     '''
40     Se establecen los valores de la configuracion inicial. Para ello se
    indica cada uno de los componentes, self.ui.elemento. En caso de que sea
    un cuadro de texto con el método setText se indica el texto. Si es un
    elemento radio button, con setChecked(True) se queda marcado, con
    setChecked(False) se queda desmarcado. Para buscar el valor de la
    configuracion, se busca el nodo que almacena dicha configuración
    mediante XPath. Como se devuelve una tupla de elementos, se accede al ú
    nico elemento de dicha tupla mediante el operador [0]. Para saber la
    información que almacena dicho nodo, se utiliza el atributo text.
41     '''
42     #Geometria
43     self.ui.lineArchivo.setText(self.tree.xpath('/configuracion/geometry/
    filename')[0].text)    # Nombre del fichero STL.
44     self.ui.linePosicionX.setText(self.tree.xpath('/configuracion/geometry/
    center/x')[0].text)    # Coordenada X donde posicionar el obstaculo.
45     self.ui.linePosicionY.setText(self.tree.xpath('/configuracion/geometry/
    center/y')[0].text)    # Coordenada Y donde posicionar el obstaculo.
```

```
46     self.ui.linePosicionZ.setText(self.tree.xpath('/configuracion/geometry/  
center/z')[0].text) # Coordenada Z donde posicionar el obstaculo.  
47     self.ui.lineDominioX.setText(self.tree.xpath('/configuracion/geometry/  
domain/x')[0].text) # Tamaño del túnel en el eje X.  
48     self.ui.lineDominioY.setText(self.tree.xpath('/configuracion/geometry/  
domain/y')[0].text) # Tamaño del túnel en el eje Y.  
49     self.ui.lineDominioZ.setText(self.tree.xpath('/configuracion/geometry/  
domain/z')[0].text) # Tamaño del túnel en el eje Z.  
50     self.ui.linePhi.setText(self.tree.xpath('/configuracion/geometry/Giros/  
phi')[0].text) # Giro inicial Phi.  
51     self.ui.lineTheta.setText(self.tree.xpath('/configuracion/geometry/  
Giros/theta')[0].text) # Giro inicial Theta.  
52     self.ui.linePsi.setText(self.tree.xpath('/configuracion/geometry/Giros/  
psi')[0].text) # Giro inicial Psi.  
53     if self.tree.xpath('/configuracion/geometry/lateralFreeSlip')[0].text==  
'True': # Condiciones de contorno.  
54         self.ui.radioContornoLibre.setChecked(True)  
55     else:  
56         self.ui.radioContornoSuelo.setChecked(True)  
57     if self.tree.xpath('/configuracion/geometry/freeSlipWall')[0].text=='  
True': # Mediante una búsqueda con XPath, se busca el nodo que indica  
        el tipo de condiciones de contorno a utilizar en la superficie del só  
        lido. Posteriormente, se marca el radio button adecuado.  
58         self.ui.radioSolidoDeslizamiento.setChecked(True)  
59     else:  
60         self.ui.radioSolidoNoDeslizamiento.setChecked(True)  
61     #Numericos  
62     self.ui.lineDensidad.setText(self.tree.xpath('/configuracion/numeric/  
ro')[0].text) # Densidad  
63     self.ui.lineTiempoSimulacion.setText(self.tree.xpath('/configuracion/  
numeric/maxT')[0].text) # Tiempo de simulación.  
64     self.ui.lineVelocidadEntrada.setText(self.tree.xpath('/configuracion/  
numeric/inletVelocity')[0].text) # Velocidad de entrada del fluido.  
65     self.ui.lineViscosidadCinematica.setText(self.tree.xpath('/  
configuracion/numeric/nu')[0].text) # Viscosidad cinemática del  
        fluido.  
66     self.ui.lineIncrementoPhi.setText(self.tree.xpath('/configuracion/  
numeric/deltaphi')[0].text) # Incremento del angulo Phi en cada  
        simulación.  
67     self.ui.lineIncrementoTheta.setText(self.tree.xpath('/configuracion/  
numeric/deltatheta')[0].text) # Incremento del angulo Theta en cada  
        simulación.
```

```

68     self.ui.lineIncrementoPsi.setText(self.tree.xpath('/configuracion/
numerics/deltapsi')[0].text) # Incremento del angulo Psi en cada
simulación.
69     self.ui.lineNumeroEjecuciones.setText(self.tree.xpath('/configuracion/
numerics/iter')[0].text) # Número de iteraciones.
70     self.ui.lineResolucion.setText(self.tree.xpath('/configuracion/numerics
/resolution')[0].text) # Resolución del eje Y.
71     self.ui.lineDt.setText(self.tree.xpath('/configuracion/numerics/dt')
[0].text) # Valor dt.
72     # Tipo de dinámica.
73     if self.tree.xpath('/configuracion/numerics/modelo')[0].text=='
Smagorinsky':
74         self.ui.radioModeloSmagorinsky.setChecked(True)
75     elif self.tree.xpath('/configuracion/numerics/modelo')[0].text=='
Entropic':
76         self.ui.radioModeloEntropic.setChecked(True)
77     elif self.tree.xpath('/configuracion/numerics/modelo')[0].text=='BGK':
78         self.ui.radioModeloBGK.setChecked(True)
79     elif self.tree.xpath('/configuracion/numerics/modelo')[0].text=='
Regularized':
80         self.ui.radioModeloRegularized.setChecked(True)
81     self.ui.lineConstanteSmagorinsky.setText(self.tree.xpath('/
configuracion/numerics/cSmago')[0].text) # Constante de Smagorinsky.
82     if self.tree.xpath('/configuracion/numerics/useParticles')[0].text=='
True': # Usar particulas Virtuales.
83         self.ui.checkParticulasVirtuales.setChecked(True)
84     else:
85         self.ui.checkParticulasVirtuales.setChecked(False)
86     self.ui.lineVirtualesTiempo.setText(self.tree.xpath('/configuracion/
numerics/particleTimeFactor')[0].text) # Frecuencia de computo de las
particulas virtuales.
87     self.ui.lineVirtualesInyeccion.setText(self.tree.xpath('/configuracion/
numerics/particleProbabilityPerCell')[0].text) # Probabilidad de
inyección de nuevas particulas.
88     self.ui.lineVirtualesMaximo.setText(self.tree.xpath('/configuracion/
numerics/maxNumParticlesToWrite')[0].text) # Número máximo de
particulas a escribir en el fichero VTK.
89     self.ui.lineVirtualesEliminacion.setText(self.tree.xpath('/
configuracion/numerics/cutOffSpeedSqr')[0].text) # Condición de
eliminación de particulas.
90     self.ui.lineSpongeAnchura.setText(self.tree.xpath('/configuracion/
numerics/outletSpongeZoneWidth')[0].text) # Anchura de la Sponge Zone
.

```

```
91 # Dinámica de la Sponge Zone
92 if self.tree.xpath('/configuracion/numerics/outletSpongeZoneType')[0].
text=='Viscosity':
93     self.ui.radioSpongeViscoso.setChecked(True)
94 else:
95     self.ui.radioSpongeSmagorinsky.setChecked(True)
96     self.ui.lineSpongeConstanteSmagorinsky.setText(self.tree.xpath('/
configuracion/numerics/targetSpongeCSmago')[0].text) # Constante de
Smagorinsky en la Sponge Zone.
97     self.ui.lineIncrProgresivoT.setText(self.tree.xpath('/configuracion/
numerics/initialIterT')[0].text) # Tiempo de aceleración del fluido.
98     self.ui.lineTiempoSimulacion.setText(self.tree.xpath('/configuracion/
numerics/maxT')[0].text) # Duración de la simulación.
99 #output
100 self.ui.lineFrecuenciaDatos.setText(self.tree.xpath('/configuracion/
output/statT')[0].text) # Frecuencia de volcado de la fuerza.
101 self.ui.lineFrecuenciaVTK.setText(self.tree.xpath('/configuracion/
output/vtkT')[0].text) # Frecuencia de volcado del VTK.
102 if self.tree.xpath('/configuracion/output/vtkFile')[0].text=='True':
# Utilizar volcado VTK.
103     self.ui.checkBoxVTK.setChecked(True)
104 else:
105     self.ui.checkBoxVTK.setChecked(False)
106 #MPI
107 self.ui.lineParametrosMPI.setText(self.tree.xpath('/configuracion/MPI')
[0].text)
108 #Avisos
109 if self.tree.xpath('/configuracion/email/enviar')[0].text=='True': #
Utilizar sistema de aviso por email.
110     self.ui.checkBoxEmail.setChecked(True)
111 else:
112     self.ui.checkBoxEmail.setChecked(False)
113 if self.tree.xpath('/configuracion/telegram/enviar')[0].text=='True':
# Utilizar sistema de aviso por Telegram.
114     self.ui.checkBoxTelegram.setChecked(True)
115 else:
116     self.ui.checkBoxTelegram.setChecked(False)
117 #Email
118 self.ui.lineEmailEmisor.setText(self.tree.xpath('/configuracion/email/
emailFuente')[0].text) # Email desde el que enviar el correo.
119 self.ui.lineEmailDestino.setText(self.tree.xpath('/configuracion/email/
emailDestino')[0].text) # Email al que enviar el email.
```



```

120     self.ui.lineEmailMensaje.setText(self.tree.xpath('/configuracion/email/
121     msg')[0].text)    # Mensaje a enviar.
122     #Telegram
123     self.ui.lineTelegramTOKEN.setText(self.tree.xpath('/configuracion/
124     telegram/TOKEN')[0].text)    # Token del bot.
125     self.ui.lineTelegramID.setText(self.tree.xpath('/configuracion/telegram
126     /chat_id')[0].text)    # Id del chat con el bot.
127     self.ui.lineTelegramMensaje.setText(self.tree.xpath('/configuracion/
128     telegram/msg')[0].text)    # Mensaje a enviar.
129     #####Conectando Signals y Slots
130     #Lanzar Simulacion
131     self.ui.pushLanzar.clicked.connect(self.lanzarSimulacion) # Al pulsar
132     el boton de Lanzar, la señal producida ser recogerá por
133     #Salir
134     self.ui.pushSalir.clicked.connect(self.salir)
135     def salir(self):    #Slot para cuando se pulse Salir
136     app.exit(1)
137     def lanzarSimulacion(self):    #Slot para cuando se pulse Lanzar.
138     '''
139     Se lee el valor de los campos de texto mediante el método text().Con el
140     método isChecked() se verifica si los radio button están marcados o no.
141     Mediante XPath se busca cada nodo del archivo XML. Para buscar el valor
142     de la configuración, se busca el nodo que almacena dicha configuración
143     mediante XPath. Como se devuelve una tupla de elementos, se accede al ú
144     nico elemento de dicha tupla mediante el operador [0]. Para saber la
145     información que almacena dicho nodo, se utiliza el atributo text.
146     '''
147     #Geometria
148     self.tree.xpath('/configuracion/geometry/filename')[0].text = self.ui.
149     lineArchivo.text()    # Nombre del fichero STL.
150     self.tree.xpath('/configuracion/geometry/center/x')[0].text = self.ui.
151     linePosicionX.text()    # Coordenada X donde posicionar el obstaculo.
152     self.tree.xpath('/configuracion/geometry/center/y')[0].text = self.ui.
153     linePosicionY.text()    # Coordenada Y donde posicionar el obstaculo.
154     self.tree.xpath('/configuracion/geometry/center/z')[0].text = self.ui.
155     linePosicionZ.text()    # Coordenada Z donde posicionar el obstaculo.
156     self.tree.xpath('/configuracion/geometry/domain/x')[0].text = self.ui.
157     lineDominioX.text()    # Tamaño del túnel en el eje X.
158     self.tree.xpath('/configuracion/geometry/domain/y')[0].text = self.ui.
159     lineDominioY.text()    # Tamaño del túnel en el eje Y.
160     self.tree.xpath('/configuracion/geometry/domain/z')[0].text = self.ui.
161     lineDominioZ.text()    # Tamaño del túnel en el eje Z.

```

```
144     self.tree.xpath('/configuracion/geometry/Giros/phi')[0].text = self.ui.  
linePhi.text() # Giro inicial Phi.  
145     self.tree.xpath('/configuracion/geometry/Giros/theta')[0].text = self.  
ui.lineTheta.text() # Giro inicial Theta.  
146     self.tree.xpath('/configuracion/geometry/Giros/psi')[0].text = self.ui.  
linePsi.text() # Giro inicial Psi.  
147     if self.ui.radioContornoLibre.isChecked(): # Condiciones de contorno.  
148         self.tree.xpath('/configuracion/geometry/lateralFreeSlip')[0].text =  
'True'  
149     else:  
150         self.tree.xpath('/configuracion/geometry/lateralFreeSlip')[0].text =  
'False'  
151  
152     if self.ui.radioSolidoDeslizamiento.isChecked():  
153         self.tree.xpath('/configuracion/geometry/freeSlipWall')[0].text = '  
True'  
154     else:  
155         self.tree.xpath('/configuracion/geometry/freeSlipWall')[0].text = '  
False'  
156     #Numericos  
157     self.tree.xpath('/configuracion/numerics/ro')[0].text = self.ui.  
lineDensidad.text() # Densidad.  
158     self.tree.xpath('/configuracion/numerics/nu')[0].text = self.ui.  
lineViscosidadCinematica.text() # Viscosidad cinemática.  
159     self.tree.xpath('/configuracion/numerics/deltaphi')[0].text = self.ui.  
lineIncrementoPhi.text() # Incremento del angulo Phi en cada simulació  
n.  
160     self.tree.xpath('/configuracion/numerics/deltatheta')[0].text = self.ui.  
.lineIncrementoTheta.text() # Incremento del angulo Theta en cada  
simulación.  
161     self.tree.xpath('/configuracion/numerics/deltapsi')[0].text = self.ui.  
lineIncrementoPsi.text() # Incremento del angulo Psi en cada simulació  
n.  
162     self.tree.xpath('/configuracion/numerics/iter')[0].text = self.ui.  
lineNumeroEjecuciones.text() # Número de iteraciones.  
163     self.tree.xpath('/configuracion/numerics/resolution')[0].text = self.ui.  
.lineResolucion.text() # Resolución del eje Y.  
164     self.tree.xpath('/configuracion/numerics/dt')[0].text = self.ui.lineDt.  
text() # Valor dt.  
165     # Tipo de dinámica.  
166     if self.ui.radioModeloSmagorinsky.isChecked():  
167         self.tree.xpath('/configuracion/numerics/modelo')[0].text = '  
Smagorinsky'
```

```
168     elif self.ui.radioModeloBGK.isChecked():
169         self.tree.xpath('/configuracion/numerics/modelo')[0].text = 'BGK'
170     elif self.ui.radioModeloRegularized.isChecked():
171         self.tree.xpath('/configuracion/numerics/modelo')[0].text = '
Regularized'
172     elif self.ui.radioModeloEntropic.isChecked():
173         self.tree.xpath('/configuracion/numerics/modelo')[0].text = 'Entropic
,
174         self.tree.xpath('/configuracion/numerics/cSmago')[0].text = self.ui.
lineConstanteSmagorinsky.text() # Constante de Smagorinsky.
175     if self.ui.checkParticulasVirtuales.isChecked(): # Usar particulas
Virtuales.
176         self.tree.xpath('/configuracion/numerics/useParticles')[0].text = '
True'
177     else:
178         self.tree.xpath('/configuracion/numerics/useParticles')[0].text = '
False'
179     self.tree.xpath('/configuracion/numerics/particleTimeFactor')[0].text =
self.ui.lineVirtualesTiempo.text() # Frecuencia de computo de las
180     self.tree.xpath('/configuracion/numerics/particleProbabilityPerCell')
[0].text = self.ui.lineVirtualesInyeccion.text() # Probabilidad de
inyección de nuevas particulas.
181     self.tree.xpath('/configuracion/numerics/maxNumParticlesToWrite')[0].
text = self.ui.lineVirtualesMaximo.text() # Número máximo de
182     self.tree.xpath('/configuracion/numerics/cutOffSpeedSqr')[0].text =
self.ui.lineVirtualesEliminacion.text() # Condición de eliminación de
183     self.tree.xpath('/configuracion/numerics/outletSpongeZoneWidth')[0].
text = self.ui.lineSpongeAnchura.text() # Anchura de la Sponge Zone.
184     # Dinámica de la Sponge Zone
185     if self.ui.radioSpongeViscoso.isChecked():
186         self.tree.xpath('/configuracion/numerics/outletSpongeZoneType')[0].
text = 'Viscosity'
187     else:
188         self.tree.xpath('/configuracion/numerics/outletSpongeZoneType')[0].
text = 'Smagorinsky'
189     self.tree.xpath('/configuracion/numerics/targetSpongeCSmago')[0].text =
self.ui.lineSpongeConstanteSmagorinsky.text() # Constante de
190     self.tree.xpath('/configuracion/numerics/initialIterT')[0].text = self.
ui.lineIncrProgresivoT.text() # Tiempo de aceleración del fluido.
```

```
191     self.tree.xpath('/configuracion/numeric/maxT')[0].text = self.ui.  
lineTiempoSimulacion.text() # Duración de la simulación.  
192     #output  
193     self.tree.xpath('/configuracion/output/statT')[0].text = self.ui.  
lineFrecuenciaDatos.text() # Frecuencia de volcado de la fuerza.  
194     self.tree.xpath('/configuracion/output/vtkT')[0].text = self.ui.  
lineFrecuenciaVTK.text() # Frecuencia de volcado del VTK.  
195     if self.ui.checkBoxVTK.isChecked(): # Utilizar volcado VTK.  
196         self.tree.xpath('/configuracion/output/vtkFile')[0].text = 'True'  
197     else:  
198         self.tree.xpath('/configuracion/output/vtkFile')[0].text = 'False'  
199     #MPI  
200     self.tree.xpath('/configuracion/MPI')[0].text = self.ui.  
lineParametrosMPI.text()  
201     #Avisos  
202     if self.ui.checkBoxTelegram.isChecked(): # Utilizar sistema de aviso  
por Telegram.  
203         self.tree.xpath('/configuracion/telegram/enviar')[0].text = 'True'  
204     else:  
205         self.tree.xpath('/configuracion/telegram/enviar')[0].text = 'False'  
206     if self.ui.checkBoxEmail.isChecked(): # Utilizar sistema de aviso  
por email.  
207         self.tree.xpath('/configuracion/email/enviar')[0].text = 'True'  
208     else:  
209         self.tree.xpath('/configuracion/email/enviar')[0].text = 'False'  
210     #Telegram  
211     self.tree.xpath('/configuracion/telegram/TOKEN')[0].text = self.ui.  
lineTelegramTOKEN.text() # Token del bot.  
212     self.tree.xpath('/configuracion/telegram/chat_id')[0].text = self.ui.  
lineTelegramID.text() # Id del chat con el bot.  
213     self.tree.xpath('/configuracion/telegram/msg')[0].text = self.ui.  
lineTelegramMensaje.text() # Mensaje a enviar.  
214     #Email  
215     self.tree.xpath('/configuracion/email/emailFuente')[0].text = self.ui.  
lineEmailEmisor.text() # Email desde el que enviar el correo.  
216     self.tree.xpath('/configuracion/email/emailDestino')[0].text = self.ui.  
lineEmailDestino.text() # Email al que enviar el email.  
217     self.tree.xpath('/configuracion/email/msg')[0].text = self.ui.  
lineEmailMensaje.text() # Mensaje a enviar.  
218  
219     #Escribir el nuevo fichero XML  
220     self.nuevoXML = etree.tostring(self.tree, pretty_print=True).decode("utf-8") # Se transforma la representación interna que utiliza para
```

```
representar los nodos a texto plano. De utiliza la codificación Unicode.
221 self.f = open('externalFlowAroundObstacle.xml', 'w') # Se abre el
fichero.
222 self.f.write(self.nuevoXML) # Se escribe en el fichero.
223 self.f.close() # Se cierra el fichero.
224 self.close() # Se cierra la ventana.
225 if __name__ == "__main__": #Solo se cumple si lo estamos ejecutando
directamente, no si lo cargamos a otro modulo, punto de partida del
programa
226 app = QtWidgets.QApplication(sys.argv) #Funcion necesaria en cualquier
aplicacion Qt, se utilizara para lanzar el bucle principal del programa
que caputara los eventos.
227 myapp = ventana() # Se carga la interfaz grafica que se ha definido
dentro del objeto ventana.
228 myapp.show() # Mostrar la ventana creada
229 estado=app.exec_() # Se lanza el bucle principal del programa,
encargado de capturar los eventos, o en nomenclatura Qt, las señales que
estos producen. Almacenando el resultado en la variable estado
conseguimos que el programa no finalice directamente al acabar dicho
bucle, salvo que se pulse al boton de salir, en cuyo caso se devolver un
valor de 1
230 if estado!=1: # Si no se ha pulsado salir
231 ruta = os.popen('which mpiexec').readline()[:-1] # Para saber en que
ruta esta el programa mpiexec y usarlo para lanzar el programa, se
localiza mediante el comando which de la consola de linux. Lanzamos este
comando con la función popen. Usando la función readline se lee la
primera linea del comando. Posteriormente se elimina el ultimo caracter,
el salto de linea /n, mediante el operador de python para cadenas
[: -1], donde indicamos que seleccione toda la cadena menos el ultimo
caracter.
232 parametrosMPI=['mpiexec'] #Lista que almacenara las opciones que se
le pasaran a mpiexec
233 for i in myapp.ui.lineParametrosMPI.text().split(' '): #Del cuadro
de texto lineParametrosMPI de la interfaz se lee el texto mediante el mé
todo text(), y separamos cada uno de los parametros separados mediante
el espacio con el método split.
234 parametrosMPI.append(i) #Se agrega cada parametro a la lista
mediante el método append.
235 parametrosMPI.append('externalFlowAroundObstacle') #Se añade como
el nombre del programa que ejecuta el tunel.
236 parametrosMPI.append('externalFlowAroundObstacle.xml') #Se añade
como parametro tambien nombre del archivo de configuración XML creado.
```

```
237     if myapp.ui.lineEmailPassword.text() != '':      # Se verifica que el texto
    en el cuadro de texto que tiene la contraseña del correo no esta en
    blanco
238     parametrosMPI.append(myapp.ui.lineEmailPassword.text())    # En caso
    de que no estuviera vacia, se añade tambien a la lista de parametros.
239     print(ruta, parametrosMPI)    # Se imprime por pantalla el comando que
    se va a ejecutar, es solo por información.
240     """
241     Se llama a la syscall execv, la cual hace que el programa actual deje
    de ejecutarse y cambie al programa que se le indique.
242     Como primer parametro se le indica el ejecutable al que se quiere pasar
    , en nuestro caso la ruta a mpiexec, que se encargará de lanzar el tunel
    compilado con MPI.
243     Como segundo parametro se le indica la lista con las opciones a pasarle
    .
244     """
245     os.execv(ruta, parametrosMPI)
246     sys.exit(estado)    # Si se pulsa al botón salir se sale del programa sin
    lanzar la ejecución.
```

B.2 Túnel de Viento Virtual

El código en C++ es el encargado de realizar la simulación, el fichero XML es un ejemplo de fichero de configuración, el cual es generado por la interfaz del programa. Un vez finaliza la simulación, el programa lanza el sistema de avisos, el cual puede verse en la sección [B.3](#).

```
1  /*
2  * This file is part of the U-Virtual Wind Tunnel.
3  *
4  * Copyright (C) 2017
5  *
6  * The U-Virtual Wind Tunnel is free software: you can redistribute it and/
    or
7  * modify it under the terms of the GNU Affero General Public License as
8  * published by the Free Software Foundation, either version 3 of the
9  * License, or (at your option) any later version.
10 *
11 * The U-Virtual Wind Tunnel is distributed in the hope that it will be
    useful,
12 * but WITHOUT ANY WARRANTY; without even the implied warranty of
13 * MERCHANTABILITY or FITNESS FOR A PARTICULAR PURPOSE. See the
```

```
14 * GNU Affero General Public License for more details .
15 *
16 * You should have received a copy of the GNU Affero General Public License
17 * along with this program. If not, see <http://www.gnu.org/licenses/>.
18 */
19
20 //Incluidas cabeceras de Palabos
21 #include "palabos3D.h"
22 #include "palabos3D.hh"
23
24 #include <sys/types.h> //Cabecera para fork
25 #include <sys/wait.h> // Cabecera para wait
26 #include <unistd.h> // Cabecera para execl
27
28 //Añadidos namespace que necesitamos
29 using namespace plb;
30 using namespace std;
31
32 /*
33 Plantilla creada para transformar
34 TODO: ver si se puede con la misma funcion pero en std http://stackoverflow.com/questions/5590381/easiest-way-to-convert-int-to-string-in-c
35 http://en.cppreference.com/w/cpp/string/basic\_string/to\_string
36 */
37 namespace util // Namespace utilizado para almacenar clases y funcione
38 // utiles para ciertas tareas.
39 {
40     template < typename TT > std::string to_string( const TT& n ) //
41     // Funcion para convertir a un string una variable de tipo arbitraria TT.
42     {
43         std::ostringstream stm ; // 01 -> Creamos un objeto de clase
44         // ostringstream, un objeto de clase "string buffer" muy util para
45         // operaciones de salida con strings.
46         stm << n ; // 02 -> mediante el operador << le asignamos el valor
47         // de la variable que queremos pasar, este operador ya se encuentra
48         // sobrecargado para los diferetes tipos de datos posibles, de ahi su gran
49         // utilidad para poder ser utilizado con diversos tipos de datos.
50         return stm.str() ; // 03 -> Mediante el método str() recuperamos
51         // el valor de la variable pasada como un string.
52     }
53 }
```

```

48
49 typedef double T; //T indica el tipo de dato utilizado para almacenar
    decimales. Si no hay problemas de memoria se utiliza double, si los
    hubiera, utilizar float.
50 typedef Array<T,3> Velocity; //Tipo de dato utilizado para almacenar
    velocidades. Un array de 3 dimensiones que almacena valores decimales.
51 #define DESCRIPTOR descriptors::D3Q19Descriptor // Tipo de mallado a
    utilizar.
52 typedef DenseParticleField3D<T,DESCRIPTOR> ParticleFieldT; //Tipo de
    campo de particulas virtuales a utilizar.
53
54 #define PADDING 8 // Número de digitos a mostrar en el nombre del
    fichero VTK.
55
56 static std::string outputDir("./tmp/"); //Directorio donde volcar los
    resultados
57
58
59 // Estructura que contiene todos los parametros del tunel y
60 // y deriva los necesarios para su utilización.
61 struct Param
62 {
63     T nu; // Velocidad cinemática
64     T lx, ly, lz; // Tamaño del espacio fluido, en
    unidades físicas
65     T cx, cy, cz; // Posicion del centro del
    obstaculo, en unidades físicas
66     plint cxLB, cyLB, czLB; // Posicion del centro del
    obstaculo, en unidades lattice
67     bool freeSlipWall; // Usar condiciones free-slip en el
    obstaculo
68     bool lateralFreeSlip; // Usar condicion free-slip en los
    laterales o condicion de suelo
69     T maxT, statT, vtkT; // Tiempo de duracion de la
    simulacion, frecuencia con el que se vuelcan los datos de simulacion en
    pantalla, frecuencia con el que se vuelcan los datos en VTK
70     plint resolution; // Número de nodos a lo largo de la
    dirección Y
71     T inletVelocity; // Velocidad de entrada en el eje X
    , unidades físicas
72     T uLB; // Velocidad de entrada en el eje X
    , unidades lattice.

```



```

73   T cSmago;                // Parametro del modelo Smagorinsky
    LES.
74   plint nx, ny, nz;       // Resolución de la malla.
75   T omega;                // Parametro de relajacion
76   T dx, dt;               // Incremento discreto del espacio
    y el tiempo.
77   plint maxIter, statIter; // Número total de iteraciones, y
    numero de iteraciones entre volcado en pantalla.
78   plint vtkIter;          // Número de iteraciones entre
    volcado en VTK
79   bool useParticles;      // Usar particulas virtuales o no.
80   int particleTimeFactor; // Factor de tiempo con el cual se
    calcula el flujo de particulas virtuales.
81   T particleProbabilityPerCell; // Probabilidad de inyeccion de una
    nueva particula virtual en cada iteración.
82   T cutOffSpeedSqr;       // Criterio de velocidad minima
    para eliminar particulas
83   int maxNumParticlesToWrite; // Numero maximo de particulas a
    escribir en VTK
84
85   T outletSpongeZoneWidth; // Espesor de la Sponge-Zone
86   plint numOutletSpongeCells; // Número de nodos que ocupa la
    Sponge-Zone
87   int outletSpongeZoneType; // Tipo de Sponge-Zone (Viscosity o
    Smagorinsky).
88   T targetSpongeCSmago;   // En caso de que la Sponge-Zone
    sea de tipo Smagorinsky, el valor de la contante de Smagorinsky a
    utilizar.
89   plint initialIter;      // Numero de iteaciones hasta que
    la velocidad alcanza su valor final.
90
91   Box3D inlet, outlet, lateral1; // Entrada, Salida y laterales del
    tunel
92   Box3D lateral2, lateral3, lateral4;
93
94   std::string geometry_fname; // Nombre del fichero STL
95
96   // Parametros propios
97
98   plint iteracionesPrograma; // Numero de ejecuciones del programa
    en las que se cambian los angulos entre ellas.
99   T Cs;                    // Velocidad del sonido en el fluido.
100  T densidad;               // Dendisas del fluido.

```

```

101   T initialIterT;      // Numero de iteraciones durante el cual la
    velocidad en la entrada del tunel se va acelerando
102   bool vtkFile;      // Exportar los datos en VTK o no.
103   T phi;              // Ángulo Phi
104   T theta;           // Ángulo theta
105   T psi;              // Ángulo Psi
106   T deltaphi;        // Incremento en phi en cada iteracion
107   T deltatheta;      // Incremento en theta en cada iteracion
108   T deltapsi;        // Incremento en psi en cada iteracion
109   std::string modelo; // Nombre de la dinamica que se va a utilizar
110
111   Param()             // Funcion Param llamada sin parametros.
112   { }
113
114   Param(std::string xmlFname) //Funcion Param llamada con el nombre
    del fichero XML a procesar.
115   {
116       XMLreader document(xmlFname); // XMLreader es un objeto que abre
    y procesa el documento XML. Posteriormente a traves del operador [] es
    posible acceder a los distintos nodos del fichero y escribirlos en las
    distintas variables gracias al metodo read.
117       // Leemos los nodos del fichero XML que nos interesa y almacenamos la
    informacion en las variables de la estructura Param.
118       document["configuracion"]["geometry"]["filename"].read(
    geometry_fname);
119       document["configuracion"]["geometry"]["center"]["x"].read(cx);
120       document["configuracion"]["geometry"]["center"]["y"].read(cy);
121       document["configuracion"]["geometry"]["center"]["z"].read(cz);
122       document["configuracion"]["geometry"]["freeSlipWall"].read(
    freeSlipWall);
123       document["configuracion"]["geometry"]["lateralFreeSlip"].read(
    lateralFreeSlip);
124       document["configuracion"]["geometry"]["domain"]["x"].read(lx);
125       document["configuracion"]["geometry"]["domain"]["y"].read(ly);
126       document["configuracion"]["geometry"]["domain"]["z"].read(lz);
127       document["configuracion"]["geometry"]["Giros"]["phi"].read(phi);
128       document["configuracion"]["geometry"]["Giros"]["theta"].read(theta)
    ;
129       document["configuracion"]["geometry"]["Giros"]["psi"].read(psi);
130       document["configuracion"]["numerics"]["iter"].read(
    iteracionesPrograma);
131       document["configuracion"]["numerics"]["nu"].read(nu);
132       document["configuracion"]["numerics"]["ro"].read(densidad);

```

```
133     document["configuracion"]["numerics"]["inletVelocity"].read(
inletVelocity);
134     document["configuracion"]["numerics"]["deltaphi"].read(deltaphi);
135     document["configuracion"]["numerics"]["deltatheta"].read(deltatheta
);
136     document["configuracion"]["numerics"]["deltapsi"].read(deltapsi);
137     document["configuracion"]["numerics"]["resolution"].read(resolution
);
138     document["configuracion"]["numerics"]["dt"].read(dt);
139     document["configuracion"]["numerics"]["modelo"].read(modelo);
140     if (modelo == "Smagorinsky") {
141         document["configuracion"]["numerics"]["cSmago"].read(cSmago);
// Solo se lee la variable del modelo de Smagorinsky si utilizamos
dicho modelo
142     }
143     document["configuracion"]["numerics"]["useParticles"].read(
useParticles);
144     if (useParticles) { // Solo se leen las variables del modelo de
particulas virtuales si utilizamos dicho modelo
145         document["configuracion"]["numerics"]["particleTimeFactor"].
read(particleTimeFactor);
146         document["configuracion"]["numerics"]["
particleProbabilityPerCell"].read(particleProbabilityPerCell);
147         document["configuracion"]["numerics"]["cutOffSpeedSqr"].read(
cutOffSpeedSqr);
148         document["configuracion"]["numerics"]["maxNumParticlesToWrite"
].read(maxNumParticlesToWrite);
149     }
150     document["configuracion"]["numerics"]["outletSpongeZoneWidth"].read
(outletSpongeZoneWidth);
151     std::string zoneType; //Dinamica usada en la Sponge Zone
152     document["configuracion"]["numerics"]["outletSpongeZoneType"].read(
zoneType); // Almacenamos el nombre del tipo de zona utilizada en la
Sponge Zone
153
154     if ((util::tolower(zoneType)).compare("viscosity") == 0) {
155         outletSpongeZoneType = 0; //Si es de tipo viscoso damos a
outletSpongeZoneType un valor de 0
156     } else if ((util::tolower(zoneType)).compare("smagorinsky") == 0) {
157         outletSpongeZoneType = 1; //Si es de tipo Smagorinsky damos a
outletSpongeZoneType un valor de 1
158     } else { // En otro caso mostramos un mensaje de error
```

```

159     pcout << "The sponge zone type must be either \"Viscosity\" or
    \"Smagorinsky\"." << std::endl;    // Imprimir datos por pantalla , su
    unico proposito es informar.
160     exit(-1);
161 }
162
163     document["configuracion"]["numerics"]["targetSpongeCSmago"].read(
targetSpongeCSmago);
164     document["configuracion"]["numerics"]["initialIterT"].read(
initialIterT);
165     document["configuracion"]["numerics"]["maxT"].read(maxT);
166     document["configuracion"]["output"]["statT"].read(statT);
167     document["configuracion"]["output"]["vtkFile"].read(vtkFile);
168     if (vtkFile){
169         document["configuracion"]["output"]["vtkT"].read(vtkT);    // Solo se
    establece la frecuencia de volcado de ficheros VTK si usamos dicho
    modelo
170     }
171
172     computeLBparameters();    // Llamamos a la funcion que termina de
    establecer los parametros que faltan por establecer su valor , y se
    calcula a partir de lso datos que hemos leído anteriormente.
173 }
174
175 void computeLBparameters()
176 {
177     dx = ly / (resolution - 0.0);    // Al ser resolution de tipo entero ,
    para que la division de un resultado flotante se le resta el valor 0.0.
    Dividiendo la longitud del tunel en el eje Y por la resolution que le
    damos obtenemos el incremento discreto de distancia , utilizado como
    unidad de distancia Lattice.
178     Cs = dx/dt;    // Velocidad del sonido en el fluido.
179     uLB = inletVelocity/Cs;    // Adimensionalización de la velocidad del
    fluido mediante la velocidad del sonido en el fluido.
180     T nuLB = nu * dt/(dx*dx);    // Adimensionalizacion de la viscosidad
    del fluido.
181     initialIter = util::roundToInt(initialIterT/dt);    // Número de
    iteraciones a realizar hasta que qla velocidad de entrada del fluido
    alcanza el valor establecido. Lo obtenemos adimensionalizando el tiempo
    que se tarda en alcanzarlo con el incremento temporal discreto de la
    simulación.
182     omega = 1.0/(DESCRIPTOR<T>::invCs2*nuLB+0.5);    // Parámetro de
    relajación, calculado segun la formula necesaria para nuestro caso.

```

```
183
184     nx = util::roundToInt(lx/dx) + 1;    // Número de nodos Lattice a lo
        largo del eje X, redondeo a entero de longitud del tunel en el eje X
        dividido incremento discreto de distancia más uno.
185     ny = util::roundToInt(ly/dx) + 1;    // Número de nodos Lattice a lo
        largo del eje Y, redondeo a entero de longitud del tunel en el eje Y
        dividido incremento discreto de distancia más uno.
186     nz = util::roundToInt(lz/dx) + 1;    // Número de nodos Lattice a lo
        largo del eje Z, redondeo a entero de longitud del tunel en el eje Z
        dividido incremento discreto de distancia más uno.

187
188     cxLB = util::roundToInt(cx/dx);    // Posicion del centro del obstaculo
        en el eje X en unidades Lattice , redondeo a entero de la posición del
        centro del obstaculo en el eje X dividido incremento discreto de
        distancia.
189     cyLB = util::roundToInt(cy/dx);    // Posicion del centro del obstaculo
        en el eje Y en unidades Lattice , redondeo a entero de la posición del
        centro del obstaculo en el eje Y dividido incremento discreto de
        distancia.
190     czLB = util::roundToInt(cz/dx);    // Posicion del centro del obstaculo
        en el eje Z en unidades Lattice , redondeo a entero de la posición del
        centro del obstaculo en el eje Z dividido incremento discreto de
        distancia.
191     maxIter = util::roundToInt(maxT/dt);    // Número total de
        iteraciones de la simulación. Redondeando a entero el tiempo total de la
        simulación dividido entre incremento discreto de tiempo.
192     statIter = util::roundToInt(statT/dt);    // Número de iteraciones
        entre volcado de la fuerza sobre el sólido. Redondeando a entero el
        tiempo entre volcados dividido entre incremento discreto de tiempo.
193     vtkIter = util::roundToInt(vtkT/dt);    // Número de iteraciones
        entre volcado del fichero VTK. Redondeando a entero el tiempo entre
        volcados dividido entre incremento discreto de tiempo.

194
195     numOutletSpongeCells = util::roundToInt(outletSpongeZoneWidth/dx);
        // Número de nodos en la Sponge Zone. Redondeando a entero la longitud
        de esta entre el incremento discreto de distancia.
196     // Las caras del tunel esta delimitado entre objetos de la clase Box3D,
        que representan cada una de las caras rectangulares o cuadradas del
        tunel. Para definir cada una de las caras se sigue la nomenclatura (
        Posicion X de uno de los vertices , Posicion X del vertice opuesto ,
        Posicion Y de uno de los vertices , Posicion Y del vertice opuesto ,
        Posicion Z de uno de los vertices , Posicion Z del vertice opuesto);
```

```

197 inlet = Box3D(0, 0, 0, ny-1, 0, nz-1); //
    Cara de entrada
198 outlet = Box3D(nx-1, nx-1, 0, ny-1, 0, nz-1); //
    Cara de salida
199 lateral1 = Box3D(1, nx-2, 0, 0, 0, nz-1); //
    Lateral 1
200 lateral2 = Box3D(1, nx-2, ny-1, ny-1, 0, nz-1); //
    Lateral 2
201 lateral3 = Box3D(1, nx-2, 1, ny-2, 0, 0); //
    Lateral 3
202 lateral4 = Box3D(1, nx-2, 1, ny-2, nz-1, nz-1); //
    Lateral 4
203
204 }
205
206 Box3D boundingBox() const // Función de utilidad, devuelve todo el
    dominio fluido como un poliedro de 6 caras rectangulares. Se define con
    la nomenclatura anterior con un vertice en (0,0,0) y la opuesta en (nú
    mero de vértices en eje X - 1, número de vértices en eje Y - 1, número
    de vértices en Z eje - 1)
207 {
208     return Box3D(0, nx-1, 0, ny-1, 0, nz-1);
209 }
210
211 T getInletVelocity(plint iIter) // Como la velocidad del fluido en
    la entrada varia con el tiempo se establece esta funcion que nos indica
    para la iteración iIter, que velocidad corresponde en la entrada.
212 {
213     static T pi = std::acos((T) -1.0); // Número pi
214
215     if (iIter >= initialIter) { // Hasta la iteración initialIter la
        velocidad se va incrementando progresivamente siguiendo una funcion
        senoidal. A partir de entonces el valor permanece constante.
216         return uLB;
217     }
218
219     if (iIter < 0) { // Si hubier una iteracion negativa, cosa
        imposible, se reasignaria a un vaor de 0.
220         iIter = 0;
221     }
222
223     return uLB * std::sin(pi * iIter / (2.0 * initialIter)); //
    Funcion que incrementa progresivamente la velocidad en la entrada

```

```

siguiendo una forma senoidal.
224     }
225 };
226
227 Param param;    // Declaramos la variable global param de tipo Param.
228
229 // Función que establece las condiciones de contorno de las paredes
    laterales del tunel.
230 void outerDomainBoundaries(MultiBlockLattice3D<T,DESCRIPTOR> *lattice ,
    // Bloque Lattice que contiene la dinamica del fluido .
231     MultiScalarField3D<T> *rhoBar ,    // Bloque
    rhobar , utilizado para procesar la densidad
232     MultiTensorField3D<T,3> *j ,    // Bloque j ,
    utilizado para procesar la velocidad
233     OnLatticeBoundaryCondition3D<T,DESCRIPTOR> *bc)
    // Bloque que contiene métodos necesarios para establecer las
    condiciones de contorno.
234 {
235     Array<T,3> uBoundary(0.0 , 0.0 , 0.0);    // Velocidad de las paredes
    laterales .
236     Array<T,3> velSuelo(0.0 , 0.0 , 0.0);    // Velocidad del fluido en
    contacto con el suelo .
237
238     if (param.lateralFreeSlip) {    // Condicion de laterales libres .
239         pcout << "Laterales sin deslizamiento." << std::endl;    //
    Imprimir información por pantalla , su unico proposito es informar.
240
241         lattice->periodicity().toggleAll(false);    // Parametro necesario
    en cada bloque , solo es necesario cambiarlo a True en caso de que se
    utilicen condiciones periodicas .
242         rhoBar->periodicity().toggleAll(false);
243         j->periodicity().toggleAll(false);
244
245         bc->setVelocityConditionOnBlockBoundaries(*lattice , param.inlet ,
    boundary::dirichlet);    // En la entrada establecemos una condicion de
    contorno de tpo Dirichlet , en dicho tipo se establece un valor
    determinado para la variable .
246         setBoundaryVelocity(*lattice , param.inlet , uBoundary);    // En
    este caso establecemos un valor inicial para la velocidad de (0,0,0) ,
    este valor sera actualizado en cada iteración de la simulación hasta
    llegar a un valor final.
247

```

```
248     bc->setVelocityConditionOnBlockBoundaries(*lattice , param.lateral1 ,
        boundary::freeslip);    // Los laterales del tunel se establecen como
        freeslip , esto implica un gradiente cero de la velocidad en la dirección
        tangencial al lateral y un valor fijo de cero en el resto de las
        componentes.
249     bc->setVelocityConditionOnBlockBoundaries(*lattice , param.lateral2 ,
        boundary::freeslip);
250     bc->setVelocityConditionOnBlockBoundaries(*lattice , param.lateral3 ,
        boundary::freeslip);
251     bc->setVelocityConditionOnBlockBoundaries(*lattice , param.lateral4 ,
        boundary::freeslip);
252     setBoundaryVelocity(*lattice , param.lateral1 , uBoundary);    //
        Establecemos un valor inicial a la velocidad de (0,0,0) en cada uno de
        los laterales.
253     setBoundaryVelocity(*lattice , param.lateral2 , uBoundary);
254     setBoundaryVelocity(*lattice , param.lateral3 , uBoundary);
255     setBoundaryVelocity(*lattice , param.lateral4 , uBoundary);
256
257     // Las condiciones en la salida son las más complejas , ya que en el
        tratamiento interno del problema lattice boltzmann implican una mayor
        cantidad de operaciones.
258     Box3D globalDomain(lattice ->getBoundingBox());    // Variable que
        almacena todo el dominio del fluido , se obtiene mediante una llamada a
        la función getBoundingBox explicada más arriba.
259     std::vector<MultiBlock3D*> bcargs;    // Objeto que almacena los
        bloques lattice , rhoBar y j. Necesario para funciones que requieren esta
        forma más compacta para pasar las variables.
260     bcargs.push_back(lattice);    // Introducimos cada una de las
        variables mediante el metodo push_back.
261     bcargs.push_back(rhoBar);
262     bcargs.push_back(j);
263     T outsideDensity = 1.0;    // Densidad del fluido a la salida
264     int bcType = 1;    // Parametro de la función VirtualOutlet que
        establece el tipo de dominio a usar en la salida.
265     integrateProcessingFunctional(new VirtualOutlet<T,DESCRIPTOR>(
        outsideDensity , globalDomain , bcType) ,
266         param.outlet , bcargs , 2);    // Con
        integrateProcessingFunctional asociamos una función , en este caso
        VirtualOutlet , que se ejecuta cada vez que uno de los bloques indicados
        en el vector bcargs ejecute el metodo executeInternalProcessors. El ú
        ltimo parámetro indica la prioridad de ejecución de dicha función para
        el caso en el que haya más de una.
```



```

267     setBoundaryVelocity(*lattice , param.outlet , uBoundary);    //
Condiciones de la simulación en la salida del tunel. Se empieza con una
velocidad de (0,0,0)
268 } else {    // Condicion de existencia de suelo.
269     pcout << "Condiciones de Suelo." << std::endl;    // Imprimir datos
por pantalla , su unico proposito es informar.
270
271     lattice->periodicity().toggleAll(false);    // Parametro necesario
en cada bloque , solo es necesario cambiarlo a True en caso de que se
utilicen condiciones periodicas.
272     rhoBar->periodicity().toggleAll(false);
273     j->periodicity().toggleAll(false);
274
275     bc->setVelocityConditionOnBlockBoundaries(*lattice , param.inlet ,
boundary::dirichlet);    // En la entrada establecemos la misma
condicion que para el caso anterior.
276     setBoundaryVelocity(*lattice , param.inlet , uBoundary);
277     bc->setVelocityConditionOnBlockBoundaries(*lattice , param.lateral1 ,
boundary::dirichlet);    // El lateral con coordenada Y = 0 actuara como
suelo , para ello establecemos en el una condición de Dirichlet y
fijando la velocidad del fluido a (0,0,0)
278     setBoundaryVelocity(*lattice , param.lateral1 , velSuelo);
279
280     bc->setVelocityConditionOnBlockBoundaries(*lattice , param.lateral2 ,
boundary::freeslip);    // Las condiciones en el resto de los laterales
y parte posterior del tunel son las mismas que para el caso anterior.
281     bc->setVelocityConditionOnBlockBoundaries(*lattice , param.lateral3 ,
boundary::freeslip);
282     bc->setVelocityConditionOnBlockBoundaries(*lattice , param.lateral4 ,
boundary::freeslip);
283     setBoundaryVelocity(*lattice , param.lateral2 , uBoundary);
284     setBoundaryVelocity(*lattice , param.lateral3 , uBoundary);
285     setBoundaryVelocity(*lattice , param.lateral4 , uBoundary);
286
287     Box3D globalDomain(lattice->getBoundingBox());
288     std::vector<MultiBlock3D*> bcargs;
289     bcargs.push_back(lattice);
290     bcargs.push_back(rhoBar);
291     bcargs.push_back(j);
292     T outsideDensity = 1.0;
293     int bcType = 1;
294     integrateProcessingFunctional(new VirtualOutlet<T,DESCRIPTOR>(
outsideDensity , globalDomain , bcType),

```

```

295         param.outlet , bcargs , 2);
296         setBoundaryVelocity(*lattice , param.outlet , uBoundary);
297     }
298 }
299
300 // Funcion que vuelca el estado del fluido en formato VTK.
301 void writeVTK(OffLatticeBoundaryCondition3D<T,DESCRIPTOR,Velocity>& bc ,
302             plint iT , int j)
303 {
304     VtkImageOutput3D<T> vtkOut(createFileName("volume_iter_"+util::
to_string(j)+"_", iT, PADDING)); // Creamos el fichero y le asignamos
una codificación que nos ayude a identificar cada fichero en caso de
que estemos realizando una misma simulación cambiando los angulos del
cuerpo. Un comienzo comun para todos con la cadena "volume_iter_" , a la
que se añade el número de giros que se le han realizado al sólido y por
último la iteración sobre la cual se realiza el volcado. En caso de que
el número de la iteración tenga menos dígitos que los definidos en
PADDING, se rellena con 0 hasta igualar dichos digitos.
304     vtkOut.writeData<float>( *bc.computeVelocityNorm(param.boundingBox() ,
// param.boundingBox() devuelve el espacio fluido , sobre el cual se
calcula la velocidad normal mediante el método bc.computeVelocityNorm.
Para pasarlo de unidades Lattice a las unidades en las que se definio el
problema se multiplica por la unidad de distancia Lattice dividido
unidad de tiempo Lattice , dicho valor de cambio de escala es el indicado
en el tercer parametro del método de volcado de datos del objeto que
identifica al fichero creado. Cada campo exportado al formato VTK debe
tener un nombre asociado , dicho nombre es el que se indica en el segundo
parametro del método , en este caso velocityNorm. En la plantilla
indicamos que es de tipo float para indicar que cada valor decimal tiene
que usar 32 bits de espacio para almacenar el valor.
305         "velocityNorm" , param.dx/param.dt );
306     vtkOut.writeData<3,float>(*bc.computeVelocity(param.boundingBox() , "
velocity" , param.dx/param.dt); // Mismo caso que el inmediatamente
superior , pero en este caso volcamos volcamos el valor completo de toda
la velocidad.
307     vtkOut.writeData<float>( *bc.computePressure(param.boundingBox() ,
308         "pressure" , param.densidad*util::sqr(param.dx/
param.dt)) ); // Volcado del valor de la presión. El factor de cambio
de dimensiones en este caso es densidad*unidad de distancia Lattice al
cuadrado dividido unidad de tiempo Lattice al cuadrado.
309 }
310

```

```

311 void runProgram(int jj) // Función que realiza la simulación en si ,
    recibe un parametro ya que puede ejecutarse más de una vez para el mismo
    cuerpo simplemente cambiando la rotación de este , el parametro indica
    el número de veces que se ha rotado el cuerpo .
312 {
313     /*
314     * Lectura del fichero que contiene el cuerpo sólido .
315     */
316
317     pcout << std::endl << "Reading STL data for the obstacle geometry." <<
    std::endl;
318     Array<T,3> center(param.cx , param.cy , param.cz); // Array con la
    posicion del centro del obstaculo en unidades fisicas
319     Array<T,3> centerLB(param.cxLB , param.cyLB , param.czLB); // Array
    con la posicion del centro del obstaculo en unidades lattice
320     TriangleSet<T> triangleSet(param.geometry_fname , DBL); // Objeto que
    define la superficie de la geometria
321
322     // Posicionamiento del obstaculo en las coordenadas idicadas .
323     // El centro del obstaculo es calculado por el programa de manera
    automtica ,
324     // como la media aritmetica de las posiciones de sus aristas del ortoedro
325     // que lo circunscribe , representado por el objeto bCuboid .
326     Cuboid<T> bCuboid = triangleSet.getBoundingCuboid();
327     Array<T,3> obstacleCenter = (T) 0.5 * (bCuboid.lowerLeftCorner +
    bCuboid.upperRightCorner);
328     triangleSet.translate(-obstacleCenter);
329
330     triangleSet.scale(1.0/param.dx); // A partir de ahora en unidades
    lattice
331     triangleSet.rotate(param.phi ,param.theta ,param.psi); // Rotamos el
    obstculo los angulos indicados
332     triangleSet.translate(centerLB); // Trasladamos el centro del cuerpo
    a las coordenadas indicadas
333     triangleSet.writeBinarySTL(outputDir+"obstacle_LB_"+util::to_string(jj)
    +".stl"); // Guardamos el nuevo obstaculo en un STL nuevo para poder
    ser visualizado posteriormente .
334
335     plint xDirection = 0; // Direccion de referencia , el primer elemento
    de cada vector es la componente X.
336     plint borderWidth = 1; // sobreespesor del borde para el proceso
    de "Voxelizado"
337                                     // Obligatorio : margin>=borderWidth .

```

```

338     plint margin = 1;           // Margen extra asignado a las celdas
alrededor del obstaculo , usado en caso de paredes moviles .
339     plint blockSize = 0;       // Un valor de cero significa no usar una
representacion dispersa de las matrices
340
341     DEFscaledMesh<T> defMesh( triangleSet , 0, xDirection , margin , Dot3D(0,
0, 0)); // Objeto de uso temporal para definir el objeto que se
define a continuacion
342     TriangleBoundary3D<T> boundary( defMesh); // Objeto que identifica
las fronteras del solido
343
344     pcout << "tau = " << 1.0/param.omega << std::endl; // Imprimir datos
por pantalla , su unico proposito es informar .
345     pcout << "dx = " << param.dx << std::endl;
346     pcout << "dt = " << param.dt << std::endl;
347     pcout << "uLB = " << param.uLB << std::endl;
348     pcout << "Numero de iteraciones : " << maxIter << std::endl;
349
350     /*
351     * "Voxelizar" (del ingles Voxelize) el dominio .
352     */
353
354     // Voxalizar (Voxelize) el dominio: Decidir que nodos lattice
pertenece al obstaculo y cuales al dominio del fluido .
355     pcout << std::endl << "Voxelizando el dominio." << std::endl; //
Imprimir datos por pantalla , su unico proposito es informar .
356     plint extendedEnvelopeWidth = 2; // Parametro del proceso de "
voxelizado" que indica el sobreespesor del cuerpo .
357     const int flowType = voxelFlag::outside; // Flag que indica que se
trata de un flujo que circula sobre un cuerpo , la otra opcion es de un
flujo que circula dentro de un cuerpo .
358     VoxelizedDomain3D<T> voxelizedDomain (
359         boundary , flowType , param.boundingBox() , borderWidth ,
extendedEnvelopeWidth , blockSize ); // Objeto que almacena el dominio
de nodos lattice "voxelizados"
360     pcout << getMultiBlockInfo( voxelizedDomain.getVoxelMatrix() ) << std::
endl; // Imprimir datos por pantalla , su unico proposito es informar .
361
362     /*
363     * Generacion de los bloques lattice , rhoBar (densidad) y j (momento)
364     */
365

```

```

366   pcout << "Generating the lattice , the rhoBar and j fields." << std::
endl;    // Imprimir datos por pantalla , su unico proposito es informar.
367   MultiBlockLattice3D<T,DESCRIPTOR> *lattice = new MultiBlockLattice3D<T,
DESCRIPTOR>(voxelizedDomain.getVoxelMatrix());    // Creacion del bloque
lattice a partir del dominio "voxeliado". Este objeto es el más
importante de todos , ya que contiene todos los datos necesarios de la
simulación , y a traves de sus metodos se realizan las diversas
iteraciones del metodo LB.
368   //   Asignación de la dimanica deseada al bloque lattice , se compara
el valor almacenado en la variable modelo con las distintas dinamicas
aceptadas por el programa y se asigna dicha dinamica con los parametros
establecidos .
369   if (param.modelo == "Smagorinsky") {    // Dinamica BGK con un modelo
de turbulencia de tipo "Large Eddy Simulation"
370       defineDynamics(*lattice , lattice ->getBoundingBox() ,    //
defineDynamics es la funcion que asocia al bloque lattice una dinamica ,
dicha dinamica se pasa como un objeto en la tercera posicion de la funci
ón , la primera es el bloque lattice en si y la segunda es el dominio
fluido sobre el cual se define .
371       new SmagorinskyBGKdynamics<T,DESCRIPTOR>(param.omega , param
.cSmago));
372       pcout << "Using Smagorinsky BGK dynamics." << std::endl;    //
Imprimir datos por pantalla , su unico proposito es informar.
373   } else if (param.modelo == "BGK") {    // Dinamica BGK simple
374       defineDynamics(*lattice , lattice ->getBoundingBox() ,
375       new BGKdynamics<T,DESCRIPTOR>(param.omega));
376       pcout << "Using BGK dynamics." << std::endl;
377   } else if (param.modelo == "Entropic") {    // Usando un modelo
entropico .
378       defineDynamics(*lattice , lattice ->getBoundingBox() ,
379       new EntropicDynamics<T,DESCRIPTOR>(param.omega));
380       pcout << "Using Entropic dynamics." << std::endl;
381   } else if (param.modelo == "Regularized"){    // Usando un modelo BGK
Regularizado .
382       defineDynamics(*lattice , lattice ->getBoundingBox() ,
383       new RegularizedBGKdynamics<T,DESCRIPTOR>(param.omega));
384       pcout << "Using Regularized BGK dynamics." << std::endl;
385   }
386   bool velIsJ = false;    // flag utilizada en el objeto offLatticeModel
para saber si el bloque de velocidades que se utiliza es j (densidad*
velocidad)
387   defineDynamics(*lattice , voxelizedDomain.getVoxelMatrix() , lattice ->
getBoundingBox() ,

```

```

388         new NoDynamics<T,DESCRIPTOR>(), voxelFlag::inside); //
Dinamica nula para los nodos en el interior del sólido.
389     lattice->toggleInternalStatistics(false); //
toggleInternalStatistics es un metodo utilizado para obtener
estadisticas internas del bloque en cada iteración, al ponerlo con false
desactivamos esta funcionalidad.
390
391     // Los bloques rhoBar y j son usados ambos en the collision y en la
implementación de las condiciones de salida del tunel.
392     MultiScalarField3D<T> *rhoBar = generateMultiScalarField<T>((
MultiBlock3D&) *lattice ).release(); // Generación del bloque rhoBar,
a traves del bloque lattice generamos un bloque
generateMultiScalarField que posteriormente genera un bloque
MultiScalarField a traves del método release(). Se utiliza este metodo,
con el bloque lattice como bloque madre, ya que nos interesa que sean
bloques con identico número de nodos, aunque en los nodos de rhoBar se
almacenara el valor de la densidad en cada nodo - 1.
393     rhoBar->toggleInternalStatistics(false); // toggleInternalStatistics
es un metodo utilizado para obtener estadisticas internas del bloque en
cada iteración, al ponerlo con false desactivamos esta funcionalidad.
394
395     MultiTensorField3D<T,3> *j = generateMultiTensorField<T,3>((
MultiBlock3D&) *lattice ).release(); // Generación del bloque j, a
traves del bloque lattice generamos un bloque generateMultiTensorField
que posteriormente genera un bloque MultiTensorField3D a traves del mé
todo release(). Se utiliza este metodo, con el bloque lattice como
bloque madre, ya que nos interesa que sean bloques con identico número
de nodos, aunque en los nodos de j se almacenara un vector con los
valores de la velocidad en cada nodo multiplicado por la densidad en
dicho nodo.
396     j->toggleInternalStatistics(false); // toggleInternalStatistics es
un metodo utilizado para obtener estadisticas internas del bloque en
cada iteración, al ponerlo con false desactivamos esta funcionalidad.
397
398     std::vector<MultiBlock3D*> lattice_rho_bar_j_arg; // Objeto que
almacena los bloques lattice, rhoBar y j. Necesario para funciones que
requieren esta forma más compacta para pasar las variables.
399     lattice_rho_bar_j_arg.push_back(lattice); // Con el método push_back
vamos introduciendo cada uno de los bloques.
400     lattice_rho_bar_j_arg.push_back(rhoBar);
401     lattice_rho_bar_j_arg.push_back(j);
402     integrateProcessingFunctional(
403         new ExternalRhoJcollideAndStream3D<T,DESCRIPTOR>(),

```

```

404     lattice ->getBoundingBox(), lattice_rho_bar_j_arg, 0); // Con
        integrateProcessingFunctional asociamos una función, en este caso
        ExternalRhoJcollideAndStream3D, que se ejecuta cada vez que uno de los
        bloques indicados en el vector bcargs ejecute el metodo
        executeInternalProcessors. El último parámetro indica la prioridad de
        ejecución de dicha función para el caso en el que haya más de una.
405     integrateProcessingFunctional(
406         new BoxRhoBarJfunctional3D<T,DESCRIPTOR>(),
407         lattice ->getBoundingBox(), lattice_rho_bar_j_arg, 3); //
        Con integrateProcessingFunctional asociamos una función, en este caso
        BoxRhoBarJfunctional3D, que se ejecuta cada vez que uno de los bloques
        indicados en el vector bcargs ejecute el metodo
        executeInternalProcessors. El último parámetro indica la prioridad de
        ejecución de dicha función para el caso en el que haya más de una.
408     // Con BoxRhoBarJfunctional3D se calculan los bloques rhoBar and j.
        Se calculan en el nivel 3, primero se ejecutan las funciones
        implementadas en niveles inferiores,
409     // ya que las condiciones de contorno son calculadas a nivel 1
        y 2.
410
411     /*
412     * Generación de las condiciones de contorno off-lattice (las
        condiciones alrededor del obstaculo), y las condiciones outer-domain (
        condiciones alrededor de todo el domino fluido)
413     */
414
415     pcout << "Generating boundary conditions." << std::endl; // Imprimir
        información por pantalla, su unico proposito es informar.
416
417     OffLatticeBoundaryCondition3D<T,DESCRIPTOR, Velocity> *boundaryCondition
        ; // Bloque que almacena información de las condiciones de contorno
        del obstculo, tambien almacena información del estado del flujo en los
        nodos pegados a este.
418
419     BoundaryProfiles3D<T, Velocity> profiles; // Objeto que almacena las
        especificaciones que tienen que cumplir los nodos que esten en contacto
        con el cuerpo para cumplir con las condiciones de contorno que se
        impongan a este.
420     OffLatticeModel3D<T, Velocity>* offLatticeModel=0; // Bloque auxiliar
        para acabar constuyendo boundaryCondition
421     if (param.freeSlipWall) { // Si se desea que el cuerpo tenga la
        condicion de no deslizamiento:

```

```

422     profiles.setWallProfile(new FreeSlipProfile3D<T>); // Le
asociamos mediante el metodo setWallProfile dicha condicion
mediante el objeto FreeSlipProfile3D.
423 }
424 else { // En cso contrario:
425     profiles.setWallProfile(new NoSlipProfile3D<T>); // Establecemos
una condicion de no deslizamiento
426 }
427 offLatticeModel =
428     new GuoOffLatticeModel3D<T,DESCRIPTOR> (
429         new TriangleFlowShape3D<T,Array<T,3> >(voxelizedDomain.
getBoundary(), profiles),
430         flowType); /* Para darle un valor a offLatticeModel creamos
:
431     °1 -> Creamos un objeto de tipo TriangleFlowShape3D, donde se
especifica el dominio voxelizado, nos interesan los nodos cercanos al
bloque interno, donde deja de ser dominio fluido.
432     °2 -> Pasamos el objeto profiles, donde hemos especificado que
condiciones queremos que tengan dichos nodos.
433
434     Posteriormente, pasamos este objeto creado y el tipo de flujo, en
este caso es flujo exterior a un objeto, al constructor de la funcion
GuoOffLatticeModel3D, que nos devuelve el objeto offLatticeModel.
435     */
436     offLatticeModel->setVellsJ(vellsJ); // Mediante la flag vellsJ le
indicamos al bloque offLatticeModel creado que trabaje con valores de
velocidad, no de velocidad*densidad.
437     boundaryCondition = new OffLatticeBoundaryCondition3D<T,DESCRIPTOR,
Velocity>(
438         offLatticeModel, voxelizedDomain, *lattice); // A partir del
bloque auxiliar offLatticeModel,que contiene la información relativa
al tipo de condicion de contorno a usar en el cuerpo, el dominio
voxelizado y el bloque lattice creamos el objeto boundaryCondition, a
partir de ahora utilizamos este objeto para cualquier calculo requerido
en el que este involucrado el cuerpo de estudio.
439
440     boundaryCondition->insert(); // Metodo para inicizalizar las
condiciones del objeto.
441
442     // Condiciones de contorno del exterior del dominio fluido.
443     OnLatticeBoundaryCondition3D<T,DESCRIPTOR>* outerBoundaryCondition
= createLocalBoundaryCondition3D<T,DESCRIPTOR>(); // Objeto
creado que almacena la informacion relativa a las condiciones de

```



```
contorno exteriores.
445   outerDomainBoundaries(lattice , rhoBar , j , outerBoundaryCondition);
// funcion que asocia las condiciones creadas con los distintos bloques.
Al contrario que con las condiciones del cuerpo, donde el objeto que las
caracteriza impone las condiciones sobre el dominio fluido, bloque
lattice, en el caso de las condiciones exteriores este objeto creado no
se utiliza como interfaz para establecer las condiciones, en su lugar
mediante la funcion setBoundaryVelocity se impondran las condiciones
directamente sobre el bloque lattice, la utilidad de este objeto es solo
para so interno del framework.
446
447   /*
448   * Implementación de la sponge zone.
449   */
450
451   if (param.numOutletSpongeCells > 0) { // Solo se implementa si el nú
mero de nodos que la implementen es mayor que 0.
452       T bulkValue; // Parametro utilizado en la dinamica de la sponge
zone, coincide con omega o con la viscosidad de Smagorinsky, segun como
se defina dicha dinamica.
453       Array<plint,6> numSpongeCells; // Vector que indica en cada
lateral del tunel el número de nodos a implementar con Sponge Zone. Más
adelante se especifica como se utiliza en cada lateral.
454
455       if (param.outletSpongeZoneType == 0) { // Si se desea utilizar
una dinamica viscosa en la Sponge Zone
456           pcout << "Generating an outlet viscosity sponge zone." << std::
endl; // Imprimir información por pantalla, su unico proposito es
informar.
457           bulkValue = param.omega; // Se utliza una dinamica similar
al caso BGK, tiene una constante igual al parametro omega.
458       } else if (param.outletSpongeZoneType == 1) { // Si se desea
utilizar una dinamica de Smagorinsky en la Sponge Zone
459           pcout << "Generating an outlet Smagorinsky sponge zone." << std
::endl; // Imprimir información por pantalla, su unico proposito es
informar.
460           bulkValue = param.cSmago; // Se utliza una dinamica similar
al caso Smagorinsky, tiene una constante igual a la constante de
Smagorinsky.
461       } else { // En caso de que no se haya especificado ninguna de
las dos, es un caso de error.
462           pcout << "Error: unknown type of sponge zone." << std::endl;
// Se muestra un mensaje de error par informar de que se ha
```

```
especificado mal.
463     exit(-1);    // Se sale del programa.
464 }
465
466 // Número de nodos lattice sponge a lo largo de todas las fronteras
467 .
468 // El indice 0 indica el número de nodos a tomar a partir de x
469 // = 0
470 // El indice 1 indica el número de nodos a tomar a partir de x
471 // = nx-1
472 // El indice 2 indica el número de nodos a tomar a partir de y
473 // = 0
474 // ...
475 //
476 // En este programa solo se permite utilizar una zona Sponge en la
477 parte final del tunel, si se deseasen utilizar en los demas entornos
478 habría que realizar una modificación en el indice del vector
479 numSpongeCells correspondiente, indicando el número de nodos en los que
480 implementar la Sponge Zone.
481 numSpongeCells[0] = 0;
482 numSpongeCells[1] = param.numOutletSpongeCells; // Solo se
483 permite establecer nodos en la parte trasera del tunel.
484 numSpongeCells[2] = 0;
485 numSpongeCells[3] = 0;
486 numSpongeCells[4] = 0;
487 numSpongeCells[5] = 0;
488
489 // La dinamica en la Sponge Zone se implementa mediante
490 applyProcessingFunctional, funciona de manera similar a
491 integrateProcessingFunctional, pero mientras que con
492 integrateProcessingFunctional se ejecutaba la funcion cada vez que se
493 llamaba al metodo executeInternalProcessors(), con
494 applyProcessingFunctional solo se aplica la funcion en el momento de su
495 asignacion
496
497 std::vector<MultiBlock3D*> args; // Parametros a pasar a la
498 funcion applyProcessingFunctional
499 args.push_back(lattice); // Solo es necesario el bloque lattice.
500
501 if (param.outletSpongeZoneType == 0) { // Si se quiere
502 implementar una dinamica viscosa.
503 // applyProcessingFunctional recibe como parametros:
```

```

487     // °1 → La dinamica deseada en forma de objeto , en este caso
ViscositySpongeZone para indicar que queremos una dinamica viscosa. A su
    ves este recibe como parametros: el tamaño del dominio fluido , el valor
    de su constante dinamica y las celdas en las que implemntar la sponge
    zone , esta ultima información va codificada segun el vector explicado
    anteriormente .
488     // °2 → Dominio fluido sobre los que aplicar la función.
489     // °3 → Bloques a los que implementar la funcion , pasados en forma de
vector .
490         applyProcessingFunctional(new ViscositySpongeZone<T,DESCRIPTOR
>(
491             param.nx , param.ny , param.nz , bulkValue ,
numSpongeCells) ,
492             lattice →getBoundingBox() , args) ;
493     } else { // Si se quiere implementar una dinamica de Smagorinsky
.
494         // Mismo caso que el anterior , solo qe esta vez se aplica una
dinamica de tipo SmagorinskySpongeZone .
495         applyProcessingFunctional(new SmagorinskySpongeZone<T,
DESCRIPTOR>(
496             param.nx , param.ny , param.nz , bulkValue , param .
targetSpongeCSmago , numSpongeCells) ,
497             lattice →getBoundingBox() , args) ;
498     }
499 }
500
501 /*
502  * Se establecen las condiciones iniciales
503  */
504
505 // Condiciones Iniciales: Presión (y densidad) constante y velocidad
nula en todo el dominio fluido .
506 Array<T,3> uBoundary(param.getInletVelocity(0) , (T)0.0 , (T)0.0); //
Velocidad Inicial del flujo .
507 // La funcion initializeAtEquilibrium impone en el bloque lattice unas
condiciones iniciales de equilirbio como se especifican en los
    parametros .
508 // Parametros :
509 // °1 → El bloque lattice .
510 // °2 → El dominio del fluido .
511 // °3 → La densidad del fluido .
512 // °4 → La velocidad a imponer en el dominio del fluido .

```

```
513 initializeAtEquilibrium(*lattice , lattice ->getBoundingBox() , (T)1.0 ,
uBoundary); // Es MUY importante que la densidad del fluido sea 1.0 o
cercano a este valor , ya que por motivos de estabilidad del método es
necesario que dicho valor permanezca cercano a 1.0. Para poder fijarla
como 1.0 el programa ha relaizado todo el proceso de adimensionalización
respecto a la densidad transparente al usuario y poder fijar aqui una
densidad adimensionalizada que garantiza la mayor estabilidad posible al
método .
514 applyProcessingFunctional(
515     new BoxRhoBarJfunctional3D<T,DESCRIPTOR>() ,
516     lattice ->getBoundingBox() , lattice_rho_bar_j_arg); // Se
calcula el valor de los bloques rhoBar and j con las condiciones
iniciales .
517
518 /*
519  * Particulas Virtuales (Lineas de corriente).
520  */
521
522 // Esta parte del codigo es la encargada de preparar los bloques que
trabajan con las paticulas virtuales .
523 // Las particulas virtuales se utilizan únicamente para el calculo de
lineas de corriente .
524
525 // Definición del campo de particle virtuales .
526 MultiParticleField3D<ParticleFieldT>* particles = 0; // Campo de
particulas virtuales . Se inicializa nulo , si se ha especificado usar
particular virtuales se creara un dominio util .
527
528 if (param.useParticles) { // Si se ha especificado usar particular
virtuales .
529     particles = new MultiParticleField3D<ParticleFieldT> ( // Campo
de particulas virtuales , para vincularlo con el dominio del bloque
lattice utilizamos su metodo getMultiBlockManagement
530         lattice ->getMultiBlockManagement() ,
531         defaultMultiBlockPolicy3D().getCombinedStatistics() );
532
533     std::vector<MultiBlock3D*> particleArg; // Vector qe almacenara
el vector de particulas para integrarle una función mediante
integrateProcessingFunctional .
534     particleArg.push_back(particles); // Se añade el bloque de
particulas virtuales al vector .
535
```

```

536     std::vector<MultiBlock3D*> particleFluidArg;    // Segundo vector
que almacena bloques para asociarles funciones. Este vector almacena
tanto el campo de particulas virtuales como al bloque lattice.
537     particleFluidArg.push_back( particles );
538     particleFluidArg.push_back( lattice );
539
540     // Funcion que posiciona las particulas en su nueva posición en
cada iteracion
541     integrateProcessingFunctional (
542         new AdvanceParticlesEveryWhereFunctional3D<T,DESCRIPTOR>(
param.cutOffSpeedSqr),
543         lattice->getBoundingBox(), particleArg, 0);
544     // Función que asigna a las particulas su velocidad, de acuerdo al
estado del bloque lattice del fluido.
545     integrateProcessingFunctional (
546         new FluidToParticleCoupling3D<T,DESCRIPTOR>((T) param.
particleTimeFactor),
547         lattice->getBoundingBox(), particleFluidArg, 1 );
548
549     // Dominio sobre el cual se inyectaran nuevas particlas virtuales
de forma aleatoria. Este dominio es un paralelogramo en el plano
perpendicular a X=0, centrado en los ejes Y y Z del dominio y de
longitud en cada uno de estos ejes la mitad del tamaño del dominio
fluido en ellos.
550     Box3D injectionDomain(0, 0, centerLB[1]-0.25*param.ny, centerLB
[1]+0.25*param.ny,
551         centerLB[2]-0.25*param.nz, centerLB[2]+0.25*param.nz);
552
553     // Campo de particulas sin masa, utilizado para inyectar particulas
Particle3D<T,DESCRIPTOR>* particleTemplate=0;
554     particleTemplate = new PointParticle3D<T,DESCRIPTOR>(0, Array<T
,3>(0.,0.,0.), Array<T,3>(0.,0.,0.));
555
556
557     // Vector con los parametros en los que inyectar particulas
virtuales nuevas, logicamente es el campo de particulas virtuales.
558     std::vector<MultiBlock3D*> particleInjectionArg;
559     particleInjectionArg.push_back( particles );
560
561     integrateProcessingFunctional ( // Asocimos al bloque de
particulas virtuales la funcion que inyecta nuevas particulas virtuales
en el vector definido justo anteriormente, del bloque particleTemplate
de particulas sin masa, con la probabilidad indicada en
particleProbabilityPerCell, en el dominio injectionDomain,

```

```

562         new InjectRandomParticlesFunctional3D <T,DESCRIPTOR>(
particleTemplate , param.particleProbabilityPerCell),
563         injectionDomain , particleInjectionArg , 0 );
564
565         // La salida del tunel se define como un bloque , posteriormente se
asociara a este bloque una funcion que absorbera las particulas
virtuales en esta zona.
566         Box3D absorbtionDomain(param.outlet);
567
568         // Asociamos al bloque de particulas virtuales , que se encuentra
dentro del vector particleArg , una funcion que absorbera las particulas
virtuales que se encuentren en la salida del tunel.
569         integrateProcessingFunctional (
570             new AbsorbParticlesFunctional3D <T,DESCRIPTOR>,
absorbtionDomain , particleArg , 0 );
571
572         particles ->executeInternalProcessors(); // Ejecutamos las
funciones asociadas con integrateProcessingFunctional para inicializar
el bloque de particulas virtuales.
573     }
574
575     /*
576     * Comienzo de la simulación.
577     */
578
579     plb_ofstream ForcesFile((outputDir + "ForcesFile_" + util::to_string(jj)
) + ".dat").c_str()); // Creación de fichero qe contiene las fuerzas
sobre el sólido , se trata como un fichero de texto normal sobre el cual
se iran imprimiendo los datos siguiendo un formato CSV. El nombre del
fichero sigue una codificación especial para identificar cada uno de
ellos cuando se realizan varias simulaciones siguiendo una rotación del
cuerpo de estudio. Todos comienzan por la cadena ForcesFile_ siguiendo
el número de giros que acumula en sólido en la simulación, y por ultimo
se añade una extenson .dat
580
581     pcout << std::endl; // Imprimir salto de linea extra por pantalla ,
su unico proposito es organizar mejor la información mostrada.
582     pcout << "Starting simulation." << std::endl; // Imprimir informació
n por pantalla , su unico proposito es informar de que empieza a simulaci
ón.
583     for (plint i = 0; i < param.maxIter; ++i) { // Bucle de la simulació
n. Cada iteración de este bucle es una iteración del método Lattice-
Boltzmann.

```

```

584     if (i <= param.initialIter) { // Durante las primeras
iteraciones se produce una aceleración del flujo en la entrada.
585         Array<T,3> uBoundary(param.getInletVelocity(i), 0.0, 0.0);
// La funcion getInletVelocity se encara de dar obtener un valor que
incrementa gradualmente hasta alcanzar el valor final. En las
iteraciones iniciales la velocidad en el eje X va acelerandose siguiendo
esta progresión.
586         setBoundaryVelocity(*lattice , param.inlet , uBoundary); //
Funcion que asigna al bloque lattice (primer parametro), en su cara de
entrada (segundo parametro), la velocidad indicada en el tercer
parametro.
587     }
588
589     if (i % param.statIter == 0) { // Cada número de iteraciones
indicadas en la variable statIter volcamos los datos por pantalla y al
fichero que almacena las fuerzas sobre el cuerpo.
590         pcout << "At iteration " << i << ", t = " << i*param.dt << std
::endl; // Se imprime por pantalla el tiempo de simulación que se
lleva realizado.
591         Array<T,3> force(boundaryCondition->getForceOnObject()); //
Mediante el método getForceOnObject() del objeto boundaryCondition , que
contiene la informacion referente a las condiciones en el contorno del
sólido , se obtiene la fuerza resultante sobre el objeto.
592         T factor = (util::sqr(util::sqr(param.dx)) / util::sqr(param.
dt))*param.densidad; // Factor utilizado para pasar las unidades de
la fuerza del sistema adimensional usado en el método Lattice Botzmann,
al sistema de dimensiones que ha introducido el usuario , mediante la
multiplicación de los valores de la fuerza adimensional por dicho factor
.
593         pcout << "Force on object over fluid density: F[x] = " <<
force[0]*factor << ", F[y] = " // Escribimos por pantalla el
resultado de las fuerzas sobre el cuerpo. Su unico proposito es
proporcionar información durante la simulación.
594         << force[1]*factor << ", F[z] = " << force[2]*factor <<
std::endl;
595         T avEnergy = boundaryCondition->computeAverageEnergy() * util
::sqr(param.dx) / util::sqr(param.dt); // Creamos una variable que
almacena el promedio de la energia cinetica del fluido que rodea al
cuerpo entre la densidad del fluido. Su unico proposito es imprimirse
por pantalla como información adicional.
596         ForcesFile << i*param.dt << ";" << force[0]*factor << ";" <<
force[1]*factor << ";" << force[2]*factor << std::endl; // Volcado de
las fueras en el fichero ForcesFile. Se sigue un formato de CSV usando

```

```

como separador ";". Se almacenan por orden los valores del vector de
fuerza , primero el valor en el eje X, almacenado en el elemento [0] del
array force , despues el valor en la dirección del eje Y, almacenado en
el elemento [1] y por último el valor en el eje Z, almacenado en [2].
Para escalarlo con el sistema de unidades introducido por el usuario , lo
multiplicamos por el factor de escla almcenado en la variable factor.
597     pcout << "Average kinetic energy over fluid density: E = " <<
avEnergy << std::endl;    // Imprimir datos por pantalla , su unico
proposito es informar.
598     pcout << std::endl;    // Imprimir salto de linea extra por
pantalla , su unico proposito es organizar mejor la informción mostrada.
599     }
600
601     if (param.vtkFile) {    // Si se desea volcar el estado de la
simulación en VTK.
602     if (i % param.vtkIter == 0) {    // Cada número de iteraciones
indicadas en vtkIter realizamos el volcado en formato VTK.
603     pcout << "Writing VTK at time t = " << i*param.dt << endl;    //
Imprimir datos por pantalla , su unico proposito es informar.
604     writeVTK(*boundaryCondition , i , jj);    // Llamamos a la funcion
que se encarga de volcar los datos.
605     if (param.useParticles) {    // Si se desea utilizar particulas
virtuales con proposito de visualizacion se escriben en un fichero con
extension vtk
606     writeParticleVtk<T,DESCRIPTOR> (    // Funcion que vuelca el
estado de las particulas , el primer parametro es el bloque que las
almacena, el segundo el fichero sobre el cual se vuelcan y el tercero el
número máximo de particulas a escribir.
607     *particles , createFileName(outputDir+"particles_iter_"+util::
to_string(jj)+ "_", i, PADDING) + ".vtk",    // La codificación en el
nombre del fichero que utilizamos es la misma que la utilizada en los
ficheros vti , explicada en la función writeVTK.
608     param.maxNumParticlesToWrite );
609     }
610     }
611     }
612
613     lattice ->executeInternalProcessors();    // Ejecución del metodo
executeInternalProcessors del bloque lattice , con esto ejecutamos todas
las funciones que le hemos asignado al bloque mediante la funcion
integrateProcessingFunctional.
614     lattice ->incrementTime();    // Incrementamos el tiempo de la
simulacion en un valor dt.

```



```
615     if (param.useParticles && i % param.particleTimeFactor == 0) {
        // Cada número de iteraciones indicadas en la variable
        // particleTimeFactor calculamos la nueva distribución de partículas del
        // bloque particles.
616         particles->executeInternalProcessors(); // Ejecución del
        // método executeInternalProcessors del bloque lattice, con esto
        // ejecutamos todas las funciones que le hemos asignado al bloque mediante
        // la función integrateProcessingFunctional.
617     }
618 }
619
620 ForcesFile.close(); // Cerramos el fichero en el que hemos volcado
        // el valor de las fuerzas.
621 delete outerBoundaryCondition; // Borramos de forma segura el bloque
        // outerBoundaryCondition de la memoria.
622 delete boundaryCondition; // Borramos de forma segura el bloque
        // boundaryCondition de la memoria.
623 if (param.useParticles) {
624     delete particles; // Borramos de forma segura el bloque
        // particles de la memoria. Lo introducimos dentro de un if para verificar
        // que se ha creado con anterioridad.
625 }
626 delete j; // Borramos de forma segura el bloque j de la memoria.
627 delete rhoBar; // Borramos de forma segura el bloque rhoBar de la
        // memoria.
628 delete lattice; // Borramos de forma segura el bloque lattice de la
        // memoria.
629 }
630
631 int main(int argc, char* argv[])
632 {
633     plbInit(&argc, &argv); // Función que se encarga de pasar los
        // parámetros a todos los procesos MPI que ejecutan el programa. También
634     global::directories().setOutputDir(outputDir); // Se establece el
        // lugar donde se volcarán las salidas.
635     pid_t pid; // pid del proceso una vez se llame a fork.
636     int i; // Variable que almacenará la respuesta del proceso hijo.
637
638     // Se usan bloques try-catch por si ocurren errores. En caso de que
        // ocurran son capturados por el bloque catch
639     // y termina el programa de manera correcta mostrando el mensaje de
        // error adecuado.
640
```

```
641 // 1. Leer los parametros de la linea de comandos: el fichero XML y
opcionalmente la contraseña del correo
642 string xmlFileName; // Nombre del fichero XML que almacena los datos
de configuración.
643 string password; // Almacena la contraseña del correo, no se pasa por
el XML por motivos de seguridad
644 try {
645     global::argv(1).read(xmlFileName); // Primera opcion de la linea
de comandos el nombre del fichero XML
646     if (global::argc()==3) { // Si se han pasado 2 opciones al
comando
647         global::argv(2).read(password); // Leer la contraseña del
correo
648     }
649 }
650 catch (PlbIOException& exception) {
651     pcout << "Wrong parameters; the syntax is: "
652     << (std::string)global::argv(0) << " input-file.xml [email
password]" << std::endl; // Se indica la manera correcta de utilizaci
ón
653     return -1;
654 }
655
656 // 2. Leer el fichero XML
657 try {
658     param = Param(xmlFileName); // Ejecucion de la funcion Param con
el nombre del fichero XML como parametro.
659 }
660 catch (PlbIOException& exception) {
661     pcout << exception.what() << std::endl;
662     return -1;
663 }
664
665 // 3. Ejecucion de la simulación
666
667 // 3.1. Se establecen los giros iniciales del sólido en cada iteracion
668 for (int j = 0; j < param.iteracionesPrograma; ++j) {
669
670     if (j != 0) {
671         param.psi = param.psi + param.deltapsi;
672         param.theta = param.theta + param.deltatheta;
673         param.phi = param.phi + param.deltaphi;
674     }
```

```
675
676 // 3.2. Se ejecuta el programa principal
677 try {
678     runProgram(j); // Se pasa como parametro la variable del bucle
        for para diferenciar los ficheros de volcado de datos en cada iteración.
679 }
680 catch (PbIOException& exception) {
681     pcout << exception.what() << std::endl;
682     return -1;
683 }
684 }
685
686 // 4. Llamada al sistema de avisos
687
688 global::mpi().barrier(); // Espera a que todos los procesos
        lleguen a este punto
689
690 if (global::mpi().getRank() == 0) { // Si el proceso tiene
        rango 0
691     if ((pid = fork()) == 0) { // Se crea un nuevo subprocesso
        con fork, en caso de que sea el hijo
692         //TODO incluir el caso del error
693         if (global::argc()==3) { // Si se ha llamado con 3
        parametros significa que se le ha pasado la contraseña del email
694             execl( "/usr/bin/python", "python", "bot.py", password.
        c_str(), (char*)0 ); //El subprocesso hijo se transforma en un nuevo
        proceso que ejecuta el sistema de avisos
695         } else if (global::argc()==2) { // Si se ha ejecutado
        con 2 parametros significa que no se desea utilizar el sistema de avisos
        por email.
696             execl( "/usr/bin/python", "python", "bot.py", (char*)0
        ); //El subprocesso hijo se transforma en un nuevo proceso que ejecuta
        el sistema de avisos
697         }
698     }
699     else {
700         pid = wait(&i); // El proceso padre espera a que el hijo
        acabe su ejecución.
701     }
702 }
703 global::mpi().barrier(); // Espera a que todos los procesos
        lleguen a este punto, se espera a que el proceso encargado de llamar al
        sistema de avisos llegue para finalizarse todos al mismo tiempo.
```

```
704 }  
  
1 <!-- Todos los valores estan en unidades fisicas , no en unidades lattice .  
   -->  
2 <!-- El flujo curre a lo largo del eje X. -->  
3 <configuracion>  
4 <geometry>  
5   <!-- Nombre del archivo STL que contiene la representación del  
   obstaculo. -->  
6   <filename>esfera_0.2.stl</filename>  
7   <!-- Posición del centro del obstaculo en el dominio fluido. -->  
8   <center> <x>0.45</x> <y>0.455</y> <z>0.455</z> </center>  
9   <!-- Si es False , la superficie del obstaculo no tiene deslizamiento ,  
   en cualquier otro caso la superficie tendra deslizamiento. -->  
10  <freeSlipWall>False</freeSlipWall>  
11  <!-- Si es False , los laterales del tunel tendran unas condiciones de  
   contorno libres en las paredes laterales y superior , y condicion de no  
   deslizamiento en la inferior. En otro caso serán todas libres. -->  
12  <lateralFreeSlip>True</lateralFreeSlip>  
13  <!-- Tamaño del dominio fluido. -->  
14  <domain> <x>2.95</x> <y>0.9</y> <z>0.9</z> </domain>  
15  <!-- Giros iniciales a realizar sobre el sólido. -->  
16  <Giros>  
17  <phi> 0.0 </phi> <!-- Giros en eje X. -->  
18  <theta> 0.0 </theta> <!-- Giros en eje Y. -->  
19  <psi> 0.0 </psi> <!-- Giros en eje Z. -->  
20  </Giros>  
21 </geometry>  
22 <numerics> <!-- Todo en unidades fisicas , o dimensionales si se necesita  
   un sistema intermedio , nada en unidades lattice. -->  
23   <!-- Densidad -->  
24   <rho> 1.00</rho>  
25   <!-- Viscosidad Cinemática. -->  
26   <nu>0.02109</nu>  
27   <!-- Velocidad de entrada en la dirección X. Velocidad real. -->  
28   <inletVelocity>2.0</inletVelocity>  
29   <!-- Número de iteraciones a ejecutar , incrementando en cada una de  
   ellas el valor en los angulos de giro indicados posteriormente. -->  
30   <iter> 1 </iter>  
31   <!-- Giros acumulativos a realizar sobre el sólido en cada iteración. -->  
32   <deltaphi> 2.0 </deltaphi> <!-- Giros en eje X. -->  
33   <deltatheta> 2.0 </deltatheta> <!-- Giros en eje Y. -->  
34   <deltapsi> 2.0 </deltapsi> <!-- Giros en eje Z. -->  
35   <!-- Resolución, indicada en número de particiones a realizar sobre el
```

```

dominio fluido en el eje Y. —>
36 <resolution>85</resolution>
37 <!-- Valor de la unidad básica de tiempo, incremento de tiempo discreto
en cada iteración. —>
38 <dt> 0.0001</dt>
39 <!-- Modelo a utilizar, disponibles BGK -> modelo de
—BhatnagarGrossKrook, Smagorinsky -> modelo de Smagorinsky, Entropic ->
Modelo entrópico y Regularized -> Modelo BGK regularizado. —>
40 <modelo>BGK</modelo>
41 <!-- Parametro para el modelo Large Eddy Simulation de Smagorinsky. —>
42 <cSmago> 0.14 </cSmago>
43 <!-- usar particulas virtuales o no. En el caso de usarlas tener en
cuenta que solo tienen un proposito visual, utilizadas para calcular las
lineas de corriente. —>
44 <useParticles>False</useParticles>
45 <!-- Frecuencia de actualización del campo de particulas virtuales. Un
valor de 2 actualiza el campo cada dos iteraciones del método. —>
46 <particleTimeFactor> 2 </particleTimeFactor>
47 <!-- Probabilidad de inyección de una particula virtual nueva en cada
celda para cada iteración. —>
48 <particleProbabilityPerCell> 1.0e-3 </particleProbabilityPerCell>
49 <!-- Criterio para eliminar particulas de muy baja velocidad.
Cuando el cuadrado de la velocidad sea inferior a este valor, la
particula sera eliminada de la simulación. —>
50 <cutOffSpeedSqr> 1.e-8 </cutOffSpeedSqr>
51 <!-- Número máximo de particulas a escribir en el fichero VTK. —>
52 <maxNumParticlesToWrite> 200000 </maxNumParticlesToWrite>
53 <!-- Espesor de la Sponge Zone en la salida. Un valor de 0.0 indica que
no se quiere utilizar Sponge Zone. —>
54 <outletSpongeZoneWidth>0</outletSpongeZoneWidth>
55 <!-- Tipo de modelo a usar en la Sponge Zone ("Viscosity" o "
Smagorinsky"). —>
56 <outletSpongeZoneType>Viscosity</outletSpongeZoneType>
57 <!-- Parametro para el modelo de Smagorinsky en la Sponge Zone en caso
de que se vaya a utilizar.
Este parametro solo es relevante si se ha elegido una Sponge Zone
de tipo Smagorinsky. —>
58 <targetSpongeCSmago> 0.6 </targetSpongeCSmago>
59 <!-- Tiempo hasta el cual la velocidad de entrada se va incrementando
gradualmente hasta su valor final. —>
60 <initialIterT>1.0</initialIterT>
61 <!-- Maximum simulation time. —>
62 <maxT>7.5</maxT>
63
64

```

```

65 </numerics>
66 <output>
67   <!-- Frecuencia de volcado de las fuerzas en pantalla y en el archivo
        de fuerzas. -->
68   <statT> 0.01</statT>
69   <!-- Salida en archivo VTK, True/False -->
70   <vtkFile>False</vtkFile>
71   <!-- Frecuencia con la cual los ficheros VTK son generados. -->
72   <vtkT> 0.2 </vtkT>
73 </output>
74
75 <!-- Parametros a pasarle al lanzador MPI. -->
76 <MPI>-np 4 --prefix /home/user/local</MPI>
77 <!-- Sistema de aviso por Email. -->
78 <email>
79   <enviar>False</enviar> <!-- Utilizar aviso por email. True/False. -->
80   <emailFuente>608525@unizar.es</emailFuente> <!-- Direccion desde la que
        enviar el email. -->
81   <emailDestino>608525@unizar.es</emailDestino> <!-- Direccion en la que
        recibir el email. -->
82   <msg>Simulación terminada</msg> <!-- Texto a poner en el email. -->
83 </email>
84 <!-- Sistema de aviso por Telegram. -->
85 <telegram>
86   <enviar>True</enviar> <!-- Utilizar aviso por telegram. True/False. -->
87   <TOKEN>123456789:ABCDEFGHIJKLMNOPQRSTUVWXYZ123456789</TOKEN> <!-- TOKEN
        Bot para poder acceder a él. -->
88   <chat_id>1234567</chat_id> <!-- ID que identifica a cual de las
        conversaciones que tiene activas el Bot hay que enviar el mensaje. -->
89   <msg>Simulación terminada</msg> <!-- Texto a poner en el mensaje. -->
90 </telegram>
91 </configuracion>

```

B.3 Sistema de avisos

En esta sección se muestra el código encargado de lanzar los avisos por email y Telegram.

```

1  ' ' '
2  This file is part of the U-Virtual Wind Tunnel.
3
4  Copyright (C) 2017
5

```

```
6 The U-Virtual Wind Tunnel is free software: you can redistribute it and/or
7 modify it under the terms of the GNU Affero General Public License as
8 published by the Free Software Foundation, either version 3 of the
9 License, or (at your option) any later version.
10
11 The U-Virtual Wind Tunnel is distributed in the hope that it will be useful
12 ,
13 but WITHOUT ANY WARRANTY; without even the implied warranty of
14 MERCHANTABILITY or FITNESS FOR A PARTICULAR PURPOSE. See the
15 GNU Affero General Public License for more details.
16
17 You should have received a copy of the GNU Affero General Public License
18 along with this program. If not, see <http://www.gnu.org/licenses/>.
19 '''
20 import sys
21 from lxml import etree
22 from io import StringIO
23 import telebot
24 import smtplib
25
26 f = open("externalFlowAroundObstacle.xml") # Abrir el archivo de
27     configuración.
28 xml = f.read() # Lectura de archivo de configuración.
29 f.close() # Una vez leído, se cierra el fichero.
30
31 tree = etree.parse(StringIO(xml)) # Se parsea el archivo de configuración,
32     es un fichero XML. Se crea el objeto etree que contiene los datos del
33     documento XML. Mediante la función StringIO ajustamos el tipo de formato
34     que necesita el método parse como entrada, ya que el tipo de dato en
35     que se encontraba la variable xml no era el indicado.
36
37 email = tree.xpath('/configuracion/email/enviar')[0].text # Mediante XPath,
38     un lenguaje de consulta sobre XML, se busca el nodo que indica si hay
39     que enviar un email o no. El método XPath devuelve una tupla, por si hay
40     más de una coincidencia, como sólo hay un nodo que coincida con la
41     búsqueda retomamos el elemento número 0. Por último se llama al atributo
42     text, que contiene el texto de la etiqueta buscada.
43
44 telegram = tree.xpath('/configuracion/telegram/enviar')[0].text #
45     Realizamos la misma tarea que el caso anterior, pero esta vez para saber
46     si hay que enviar un mensaje por Telegram.
```

```
35 if len(sys.argv)==2: # Se verifica que se ha pasado un parámetro. En caso
    de que lo tenga, es la contraseña del correo.
36 password=sys.argv[1] # Primer argumento, contraseña del correo.
37
38 if email=='True': # En caso de que se desee enviar una notificación por
    email
39 emailFuente = tree.xpath('/configuracion/email/emailFuente')[0].text #
    Lectura de la dirección de origen del correo.
40 emailDestino = tree.xpath('/configuracion/email/emailDestino')[0].text #
    Lectura de la dirección de destino.
41 msg = tree.xpath('/configuracion/email/msg')[0].text # Lectura del
    mensaje a enviar.
42 posicionArroba = emailFuente.find('@',0,len(emailFuente)) # Se usa el mé
    todo find para buscar la arroba. Primer parámetro letra a buscar,
    segundo parámetro posición en la que se empieza a buscar, tercer pará
    metro posición en la que se acaba de buscar. Se utiliza la funcion len
    que devuelve la longitud de la cadena, en este caso de la dirección
    email para buscar en toda ella.
43 dominioEmail = emailFuente[posicionArroba+1:] # Desde la posición de la
    arroba hasta el final de la cadena se guarda el texto, el cual
    corresponde con el dominio del correo.
44 if dominioEmail == 'unizar.es': # En caso de que sea una cuenta unizar
45     server = smtplib.SMTP('smtp.unizar.es', 587) # Nos conectamos al
    servidor SMTP de unizar desde el que enviar el correo. Creamos el objeto
    server desde el cual se gestiona la conexión con el servidor.
46 # server.ehlo() # Se envía un mensaje de saludo, necesario por el
    protocolo.
47     server.starttls() # Se utiliza en protocolo TLS para proteger la conexi
    ón.
48     server.ehlo() # Se envía un mensaje de saludo, necesario por el
    protocolo.
49     server.login(emailFuente, password) # Nos identificamos con el email y
    la contraseña indicadas por el usuario.
50     server.sendmail(emailFuente, emailDestino, msg) # Se envia el correo
    mediante el método sendmail. Primer parámetro el email de origen,
    segundo el email de destino y tercero el mensaje a enviar.
51     server.quit() # Desconexión del servidor.
52 else: # en caso de que no sea unizar.es se muestra un mensaje de error.
53     print('Se necesita una cuenta unizar para que funcione') # Mensaje de
    error
54
55 if telegram=='True': # En caso de que se desee enviar una notificación por
    Telegram
```



```

56 TOKEN = tree.xpath('/configuracion/telegram/TOKEN')[0].text # Se obtiene
    el Token del bot al que conectarse.
57 chat_id = int(tree.xpath('/configuracion/telegram/chat_id')[0].text) # Se
    obtiene el id del chat al que se desea enviar el mensaje.
58 mi_bot = telebot.TeleBot(TOKEN) # Se inicia la sesion con el bot,
    pasandole como parámetro el Token. Se crea el objeto mi_bot con el que
    actuar sobre el bot.
59 mi_bot.send_message(chat_id, tree.xpath('/configuracion/telegram/msg')[0].
    text) # Mediante el método send_message del objeto mi_bot se envía un
    mensaje al char indicado. Primer parámetro id de la conversación a la
    que enviar el mensaje, segundo parámetro el mensaje a enviar. En una
    sola linea se lee el mensaje a enviar del objeto tree y se envía.

```

B.4 Programa de análisis de datos

Se incluye como ejemplo el programa utilizado para analizar el error en el coeficiente de arrastre frente al parámetro δ_t usado en la sección 3.1.3.

Para adaptarlo al resto de casos, sólo hay que cambiar la búsqueda *XPath* de la variable *resolucionString* por el parámetro del cual se esta estudiando su influencia.

```

1 #!/usr/bin/env python
2 import pandas as pd
3 import numpy as np
4 import matplotlib.pyplot as plt
5 from lxml import etree
6 from io import StringIO
7 import glob
8 import os
9 from scipy import interpolate
10 from math import *
11 '''Unico valor que no se lee del archivo XML'''
12 D=np.float64(0.2) # Diámetro de la esfera.
13 '''Nombres ficheros utiles'''
14 nombreArchivoFueras = 'ForcesFile_0.csv' # Fichero que contiene las fuerzas
15 nombreArchivoConfiguracion = 'externalFlowAroundObstacle.xml' # Fichero de
    configuración
16 nombreArchivoFuerzasReferencia = 'Referencia.csv' # Fichero con los
    coeficientes de arrastre de referencia
17 '''Variables usadas'''
18 area=np.float64(np.pi*(D/2)*(D/2)) #Área frontal de la esfera

```

```
19 numerosReynolds=[] # Número de Reynolds de cada simulación, se van
    almacenando en forma de tupla
20 coeficienteArrastre=[] # Coeficientes de arrastre de cada simulación, se
    van almacenando en forma de tupla
21 resoluciones=[] # Conjunto de valores dt, se van almacenando en forma de
    tupla
22 for carpeta in glob.glob('tmp*'): # Para cada carpeta que empiece por tmp-.
    Cada uno de estos ficheros contiene el resultado de una de las
    simulaciones realizadas.
23     '''Ir a la carpeta, leer los ficheros necesarios y volver'''
24     os.chdir(carpeta) # Ir a esa carpeta
25     f = open(nombreArchivoConfiguracion) # Abrir el fichero de configuración
26     xml = f.read() # Leer el fichero de configuración y se guarda su
        contenido en la variable xml
27     f.close() # Cerrar el fichero de configuración.
28     tree = etree.parse(StringIO(xml)) # Parsear el contenido del archivo de
        configuración con el parser XML
29     velocidadString = tree.xpath('//inletVelocity')[0].text # Buscar la
        entrada que indica la velocidad del fluido
30     velocidad = np.float64(velocidadString) # Se para la velocidad del fluido
        a una variable numérica
31     visc_dString = tree.xpath('//nu')[0].text # Buscar la entrada que indica
        la viscosidad del fluido
32     visc_d=np.float64(visc_dString) # Se para la viscosidad del fluido a una
        variable numérica
33     rho_dString = tree.xpath('//ro')[0].text # Buscar la entrada que indica
        la densidad del fluido
34     rho_d=np.float64(rho_dString) # Se para la viscosidad del densidad a una
        variable numérica
35     resolucionString=tree.xpath('//dt')[0].text # Se busca la entrada del par
        ámetro dt
36     resolucion=np.float64(resolucionString) # Se pasa el parámetro dt a una
        variable numérica
37     file = pd.read_csv(nombreArchivoFueras, sep=';', names=['time', 'fx', 'fy', '
        fz']) # Procesado del fichero que tiene las fuerzas. Es un fichero CSV
        con cuatro columnas, instante de tiempo y fuerza en cada uno de los tres
        ejes, separados por el caracter ';'.
38     os.chdir('..') # Salir de la carpeta
39     '''Calculo de la fuerza final'''
40     fxMean=(file[file.time > 5.0]['fx'].mean()) # Para calcular la fuerza
        resultante, se calcula la media a partir de un valor lo suficientemente
        alto como para que se haya estabilizado el flujo.
41     '''Agregar los valores que se quieren almacenar en las listas'''
```

```

42  coeficienteArrastre.append(2*fxMean/(rho_d*(velocidad**2)*area)) # Se
    calcula el coeficiente de arrastre para la simulación dada y se almacena
    en la tupla.
43  numerosReynolds.append(velocidad*D/visc_d) # Se calcula el número de
    Reynolds para la simulación dada y se almacena en la tupla.
44  resoluciones.append(resolucion) # Se van almacenando los valores de dt
    probados en una tupla.
45  resoluciones=np.array(resoluciones) # Se cambia el conjunto de valores de
    dt probados a un array.
46  '''Crear los fucheros Cd_dt.dat y Force_vs_dt.dat'''
47  coeficienteArrastreResolucion=pd.Series(coeficienteArrastre, index=
    resoluciones) # Se crea una serie con el índice el valor de dt y el
    coeficiente de arrastre asociado
48  coeficienteArrastreResolucion.to_csv('Cd_dt.csv',sep=';') # Se vuelca la
    serie anterior a un fichero csv, utilizando como separador en parámetro
    ';'.
49  '''Calculo del error'''
50  csvReferenciaFuerza=pd.read_csv(nombreArchivoFuerzasReferencia, sep=';',
    names=['Re', 'Cd']) # Se toman los valores de Cd frente a Re de
    referencia extraídos.
51  interpolador = interpolate.interp1d(csvReferenciaFuerza['Re'],
    csvReferenciaFuerza['Cd'], kind='quadratic', bounds_error=True) # Se
    crea un interpolador cuadrático que interpola entre los valores cargados
    anteriormente.
52  error = (interpolador(numerosReynolds)-coeficienteArrastre)/interpolador(
    numerosReynolds) # Se calcula el error relativo. Para ello se resta el
    valor teórico, obtenido interpolando el número de Reynolds de la
    simulación con el interpolador creado anteriormente, con el coeficiente
    de arrastre obtenido, y dividiendo por el valor teórico.
53  '''Dibujar Error / dt'''
54  plt.figure('Error frente a dt') # Nombre de la figura, solo tiene interes a
    nivel interno del programa
55  plt.scatter(resoluciones*1000,error*100) # Se indican las coordenadas de
    los puntos en el eje X y en el eje Y
56  plt.title(u'Error frente a  $\Delta t$ ') # Titulo de la figura
57  plt.ylim(min(error*100)*1.1,max(error*100)*0.9) # Se establecen los limites
    de los valores a mostrar en el eje Y
58  plt.xlim(min(resoluciones*1000)*0.9,max(resoluciones*1000)*1.1) # Se
    establecen los limites de los valores a mostrar en el eje X
59  plt.grid(True) # Se mostrara una malla de fondo
60  plt.minorticks_on() # Se muestran más marcas en los ejes
61  plt.xlabel(u' $\Delta t \cdot (1000)$ ') # Nombre del eje X
62  plt.ylabel(u'Error (%)') # Nombre del eje Y

```

```
63 plt.savefig('Error_vs_dt.png', dpi=400, bbox_inches='tight') # Se guarda la
    gráfica en un fichero png
64 plt.close # Se cierra la figura
65 '''Crear fichero Error / dt'''
66 df=pd.DataFrame(data=error , index=resoluciones , columns=['error (t/1)']) #
    Se crea un dataframe que contiene el error obtenido para cada dt.
67 df.to_csv('Error_vs_dt.csv', sep=';') # Se vuelca el dataframe anterior a
    un fichero csv, utilizando como separador en parámetro ';'.
```